

PREFACIO

Probablemente este es el último trabajo sobre la naturaleza y la geometría del mundo evideónico que he propuesto como descriptor de la Realidad Virtual.

En este escrito pongo en evidencia que las constantes universales como Pi Griego, la sección Áurea, el número de Neper están íntimamente relacionadas entre sí y con los números que representan las frecuencias con las que vibra el universo evideónico.

Estas vibraciones no solo parecen ligadas numéricamente a las principales constantes físicas como la constante de Planck o la temperatura del cero absoluto, sino que están relacionadas con las frecuencias musicales de la escala temperada a 432 Hz o relacionadas con la frecuencia de Schuman.

Estas frecuencias relacionan todos los aspectos del universo y explican que el universo es fractálico, holográfico, donde también en el mito encontramos los datos para comprender más profundamente los aspectos que probablemente la humanidad actual, descuidadamente, ha olvidado alguna otra vez. Así, esas correlaciones numéricas, pueden poner en evidencia, a partir de problemas clásicos, como el problema de la partícula en la caja, los números adimensionales de la realidad Evideónica, relacionándolos con simples ángulos que son los únicos descriptores reales de todo el holograma.

Tales ángulos, pueden ser vinculados a los valores numéricos de las frecuencias de todas las notas de la escala temperada a 432 Hz y todo el universo evideónico parece responder en armonía con esa frecuencia que no nace de una idea vacía de la *new age* sobre la música sino del análisis de la complejidad del fractal evideónico.

Todo eso servirá para idear un dispositivo que produce un *Zero Point Energy* (ZPE) capaz de explicar algunas fenomenologías todavía poco conocidas que van desde el movimiento de los ovnis a la traslación en el espacio-tiempo de la información, del uso de las frecuencias biaurales, hasta los fenómenos erróneamente definidos como paranormales, que, en cambio, parecen muy normales.

Más adecuadamente, el funcionamiento de ese dispositivo no puede ser puesto en discusión porque se basa en principios bien conocidos de física, incluso si no han sido completamente clarificados de manera definitiva. En cambio, se podrá discutir sobre la mejor manera de construir esta propuesta de dispositivo, pero no tiene sentido poner en duda el funcionamiento y el principio del mismo.

Estoy limitado a juntar las observaciones hechas por otros que no se dieron cuenta de que ya tenían en sus manos la resolución del problema.

Digo esto porque todavía no he tenido el placer de encontrar a alguien que haya tenido la bondad de indicarme errores o incongruencias con respecto a los trabajos anteriores, sino que algunos simplemente se han limitado a decir que se trataba de cosas absolutamente incorrectas, conteniéndose al indicarme con aportes científicos lo que estaba incorrecto.

Por lo tanto, para aquellos que van a leer este trabajo, deseo destacar que ha sido escrito para que lo comprenda la gente común y no aceptaré críticas sobre el formato que he utilizado o sobre el hecho de que he mezclado física cuántica, mito, matemática, geometría y filosofía porque pienso que la ciencia real no tiene compartimentos preferenciales y pienso que la división y la creación de tales compartimentos solo ha reducido al hombre a especializarse y no a adquirir conciencia de sí, según los cánones dictados por el segundo principio de la termodinámica.

Soy bien consciente de que no basta con leer sino que se necesita entender y también sé que si no existe toma de conciencia no se puede entender, por lo tanto, concluyo sosteniendo que para los lectores que manifiestan dudas sobre el contenido real de las cosas que expongo, busquen dentro de sí las respuestas que faltan realizando en sí mismos un Triade Color Test Dinámico Flash, que los llevará a adquirir la conciencia necesaria para preguntarse a sí mismos dónde está la Virtualidad, y no buscar las respuestas precocidas en los libros de escuela porque, a menudo, nos hacemos daños solos tomando grandes equivocaciones que, en todo caso, luego son corregidas, casi siempre con dolor.

El Evideon se escucha sintonizado a 432 Hz.

*"Cada vibración en este universo tiene color y sonido.
Toda idea particular y, por lo tanto, toda idea tiene un sonido vibracional".
Shrii P.R. Sarkar*

Introducción.

En mis artículos anteriores que describen el mundo evidéonico, el modelo del Universo Holográfico, Fractálico, Adimensional, hemos visto el modo de verificar que existen fuertes relaciones entre las cifras que componen los números que describen el Evideon, y algunos números que encontramos en la tradición mitológica de este planeta. En el mito, es necesario recordarlo, existe la imagen atemporal del Universo mismo e inconscientemente, el hombre que es el creador inconsciente del universo mismo, mediante la descripción del mito, de algún modo, dice cómo lo ha creado.

Por ende, en los números del mito tendríamos los números en los que se basan la matemática universal, la física y la geometría. En otras palabras, si este enfoque a la realidad fuese correcto, podemos pedirle ayuda a la interpretación correcta del mito para comprender lo que la física moderna no es capaz de describir actualmente.

Anteriormente hemos mostrado que en las tradiciones mitológicas de la Creación universal se expresaban, en diversas culturas, algunos conceptos de los que la física moderna se ha apoderado hoy, haciéndonos creer, que esos conceptos, han sido sacados de pasos matemáticos bastante difíciles, extraídos del profundo estudio de la materia. Creo sustancialmente que el profundo estudio solo sirve para obtener los prerrequisitos generales que ayudarán a nuestra mente a comprender y a recordar lo que ya hemos creado inconscientemente, por lo tanto, sacando a la luz de nuestra toma de conciencia el recuerdo de lo que en realidad siempre hemos sido: los creadores de todo el universo.

Entonces podemos tratar de descubrir los números "mágicos" que ya están dentro del mito, pero que también aparecen en las formulas de la física moderna.

El problema de la partícula en la caja.

Uno de los principales problemas de física cuántica que puede ser tomado en consideración para nuestros fines es el así llamado Particle In Box (PIB) o el comportamiento de una partícula elemental encerrada en una caja de la que no puede salir.

Tal problema preveía comportamientos complejos para poder ser resuelto, aunque la banalidad y la simplicidad del modelo usado fuera desconcertante.

Se trataba de verificar si se podía comprender qué energía tenía una partícula en una caja, por ejemplo, un electrón o un fotón, con potencial infinito, es decir, con las paredes tan altas que, de todas maneras, habría impedido la posibilidad de que la partícula pudiera saltar fuera de la caja misma.

El problema era importante porque una caja podía ser un orbital molecular o atómico, pero también todo el universo y tener a disposición un modelo que nos permitiera prever los valores de las energías puestas en juego a nivel de cuántica habría resultado extremadamente útil.

El problema matemático era tan complicado que al inicio se decidió describir solo una hipotética caja mono-dimensional de longitud L que contenía una partícula de masa m cuyos valores de energía E eran dados por la resolución de un Hamiltoniano cuyos autovalores respondían a una formula general del tipo:

$$E = n^2 h^2 / 8mL^2$$

donde los valores de n son los valores enteros positivos, incluido el cero, que puede asumir el número cuántico principal n .

De la observación consciente de esta fórmula se evidencia de inmediato que esa fórmula no tiene mucho sentido porque no es posible confinar una masa m en una sola dimensión, porque el concepto de masa dice que esa debe ocupar un espacio-tiempo tridimensional. El hecho de que la solución del problema de la partícula en la caja dé resultados atendibles, a pe-

sar de ser aproximaciones de la realidad, nos hace entender que el problema de la masa confinada no es importante y todo eso nos lleva nuevamente a una sola conclusión. La masa, incluso si aparece en las fórmulas no sirve porque esa no existe en la realidad universal. Además, se debe observar que el universo eideónico es adimensional.

Sustancialmente, podíamos realizar algunas sustituciones triviales en esta primera fórmula y volverla todavía más genérica, donde no aparecerían masas de ningún tipo y todo fuese rigurosamente adimensional.

$$\begin{aligned} E &= n^2 h^2 / 8mL^2 \\ E &= mc^2 \\ E^2 &= n^2 h^2 c^2 / 8L^2 \\ E &= hc/\lambda; \quad E^2 = h^2 c^2 / \lambda^2 \\ E^2 &= n^2 E^2 \lambda^2 / 8L^2 \end{aligned}$$

$$1 = n^2 \lambda^2 / 8L^2 \text{ (factor de conversión adimensional)}$$

Esta expresión puede ser tomada como definición de la unidad del fractal holográfico eideónico expresada en términos de números puros (ángulos). A 13.5, unidades eideónicas cuantizadas (ver Evideon, del mismo autor) correspondería una expresión del tipo

$$13.5 \times 8 = 108 = n^2 \lambda^2 / L^2$$

No debe parece una coincidencia que en el problema de la partícula en la caja aparezca el número 108. De hecho, en la tradición mitológica ese posee muchos significados. El 108 es considerado "número sagrado" en muchísimas religiones como el Hinduismo, el Budismo, el Sijismo, el Jainismo, etc... En muchas regiones de la India está ligado a las practicas del yoga y del Dharma.

- *Es el número de granos del Mala, el rosario indio y el Akṣamālā budista.*
- *Las deidades hindúes tienen 108 nombres. Recitar estos nombres, a menudo contando los 108 granos del Mala, se considera sagrado y se repite con frecuencia durante las ceremonias religiosas.*
- *En el Srimad Bhagavatam, Krishna es descrito mientras baila con 108 gopis (pastoras de vacas) en la ciudad de Vrindavan, para luego casarse con 16.108 esposas en la ciudad de Dwaraka.*
- *En el Shivaísmo, Shiva Nataraja es representado durante la realización de su danza cósmica en 108 karana (posturas).*
- *Es el número de pecados en el budismo tibetano.*
- *Es el número de las estrellas consideradas sagradas en la astrología china.*
- *En Japón, a fin de año, una campana suena 108 veces para saludar el nuevo año. Cada golpe representa una de las 108 tentaciones materiales que una persona debe resistir para alcanzar el Nirvana.*
- *Este es el número de Al-Kawthar, la más corta entre la Sura del Corán.*
- *Hay 108 líneas de energía, o nadis, que convergen para formar el chakra del corazón.*
- *108 es un número "Harshad", lo que significa que es un número divisible por sus figuras. Harshad significa "gran alegría" en sánscrito.*
- *El diámetro del Sol es 108 veces el diámetro de la Tierra.*
- *La distancia entre el Sol y la Tierra es 108 veces el diámetro del Sol.*
- *La distancia media de la Luna desde la Tierra es 108 veces el diámetro de la Luna.*
- *En astrología, se dice que la plata metálica representa la luna. El peso atómico de la plata es 108.*
- *El número 108 simboliza la unión de Shiva y Sakti: la Creación del Mundo.*
- *Son 108 los granos de un mala (rosario usado para contar las repeticiones de los mantras).*

A primera vista todo eso podría ser interpretado como un sinsentido matemático, o una casualidad. No obstante, es bastante extraño que poniendo n con un valor de 7 (recordemos que según la idea del universo fractálico ese tiene 7 niveles principales energéticamente definibles) la relación λ/L vale 1.484615 unidades y que, si admito que el valor de L es igual a 243 unidades iguales a la longitud del eje evideónico de la energía, λ se vuelve igual a 360.76 (sería exactamente 360 si la relación λ/L fuese igual a 1.48).

Se debe recordar que todos los valores evideónicos son la representación de lo único que existe en esta representación: es decir, ángulos.

Una caja mono-dimensional de lados iguales al eje de la energía describe también un ángulo redondo. También es interesante notar que si se representa el universo como un esferoide, ese, desde un punto de vista evideónico, tendría un radio medio de $(1.618033 \times 2 + 1,215)/3 = 1.484$ unidades evideónicas.

La primera impresión que se tenía de esta simple declaración era que los números del problema de la partícula en la caja estaban ligados a ángulos precisos.

De hecho, la siguiente tabla muestra este tipo de correlación férrea.

Teniendo constante el valor de 360 como valor angular para un ángulo redondo, cambiando el valor del número cuántico principal n de 1 a 12 se nota que el valor L representa la longitud de la hipotética caja mono-dimensional relativa a ese nivel de valor n cuántico (energía correlacionada).

Pero este valor L en realidad estaría ligado a 3 contribuciones a lo largo de los ejes x, y, z del espacio-tiempo. El modelo planar tendría una contraparte en la realidad virtual donde los 3 componentes, en los 3 ejes espacio-temporales, serían idénticos. En ese contexto, en la última columna de la tabla, se muestra que el número cuántico n está relacionado, angular y precisamente, a múltiplos de 60 grados.

Por lo tanto, la relación final para un valor de $E = 13.5$ mantenido constantemente sería:

$$I = 60n$$

El plano espacio-temporal del universo evideónico se podría describir como una caja cúbica cuyos lados serían valores angulares cuya amplitud sería proporcional cuánticamente al número cuántico principal n.

Tabla de valores de la partícula en la caja evideónica relativos a ángulos en el espacio-tiempo.

n	L^2	$(\lambda/L)^2$	$I_{st} = (3L^2)^{1/2}$
1	1200	108	60
2	4800	27	120
3	10800	12	180
4	19200	10.77	240
5	30000	4.32	300
6	43200	3.00	360
7	58800	2.2041	420
8	76800	1.6875	480
9	97200	1.(33)	540
10	120000	1.03923	600
11	145200	0.9447	660
12	172800	0.8660	720

- El análisis de los números y de las cifras que componen estos números nos da la oportunidad de hacer diversas especulaciones:
- Todos los números son divisibles por 3 (números evideónicos).
- Todos los ángulos son múltiplos de sesenta.
- Los valores vinculados a la energía son cuantizados pero expresables bajo forma de ángulos.
- Los valores de la tercera columna desde la izquierda son significativos del mundo evideónico y ponen en evidencia nuevamente el número 108 pero también el 4.32 que, como veremos en un momento, se convierte en el número base de la complejidad fractálica del universo.
- El número 3 es exactamente el valor de la $[\text{tg}(60)]^2$.
- El valor de 1.6875, veremos en un instante, que está ligado a la relación entre los ejes del espacio-tiempo y de la energía de Evideon siendo que $432/256 = 1,6875$, $[2^1, 6875 = 0,75488]$, donde 432 son los Hz del quinto La y 256 son los Hz teóricos del quinto Do, en la escala musical, basada en el fatídico 432. Todo eso nos hace pensar que la escala musical es una expresión de la realidad virtual y, si existe una polémica tras la frecuencia que se utiliza como estándar musical internacional, este aspecto no es desatendido porque, detrás de este problema, existe otro que trataremos en un momento.
- También se debe notar que el número 1.(33) muestra un inverso que es 0.75 preciso. Este número como exponente de la base 2 proporciona el valor de $2^{0.75} = 2^{(243/324)} = 1.681792830$ que es la relación actualmente utilizada entre el La y el Do de referencia teniendo en cuenta que existen doce semi-tonos entre una octava musical y la siguiente. Por lo tanto, si la relación real entre el 432 y el 256 establece que la escala musical está caracterizada por el número 0,75488, así el universo evideónico se podría caracterizar fractálidamente por un número igual a 0,75000.
- Esos números representan el valor de una escala musical bien temperada y así se podría descubrir que este temperamento no es tan correcto respecto a los valores que el fractal evideónico nos recomienda utilizar para obtener una música "en fase" con las frecuencias de nuestros lóbulos cerebrales, incluso si están ligados evidentemente a las dimensiones del Universo evideónico mismo.

El problema de la indeterminación del espín.

En el problema de la partícula en la caja aparece la constante de Planck que, además, como valor numérico aparece en prácticamente todas las fórmulas de física cuántica más importantes. Tal valor, tiene diferentes significados y uno de estos es aquel que representa un modo para medir el espín de las partículas elementales como, por ejemplo, los electrones y los fotones. Se trata fundamentalmente de una unidad de medida de helicidad del fotón.

El espín es un vector que sustancialmente representaría la rotación en el espacio de la partícula subatómica alrededor de un eje suyo. Ese vector tendría una inclinación en el eje de la energía puesta verticalmente, respecto al eje del espacio puesto horizontalmente. El componente vectorial de este vector a lo largo del eje del espacio constituiría la helicidad de la partícula que también nos da una idea de la dirección del movimiento de esta última.

<https://www.physicsforums.com/threads/photon-helicity.247570/>.

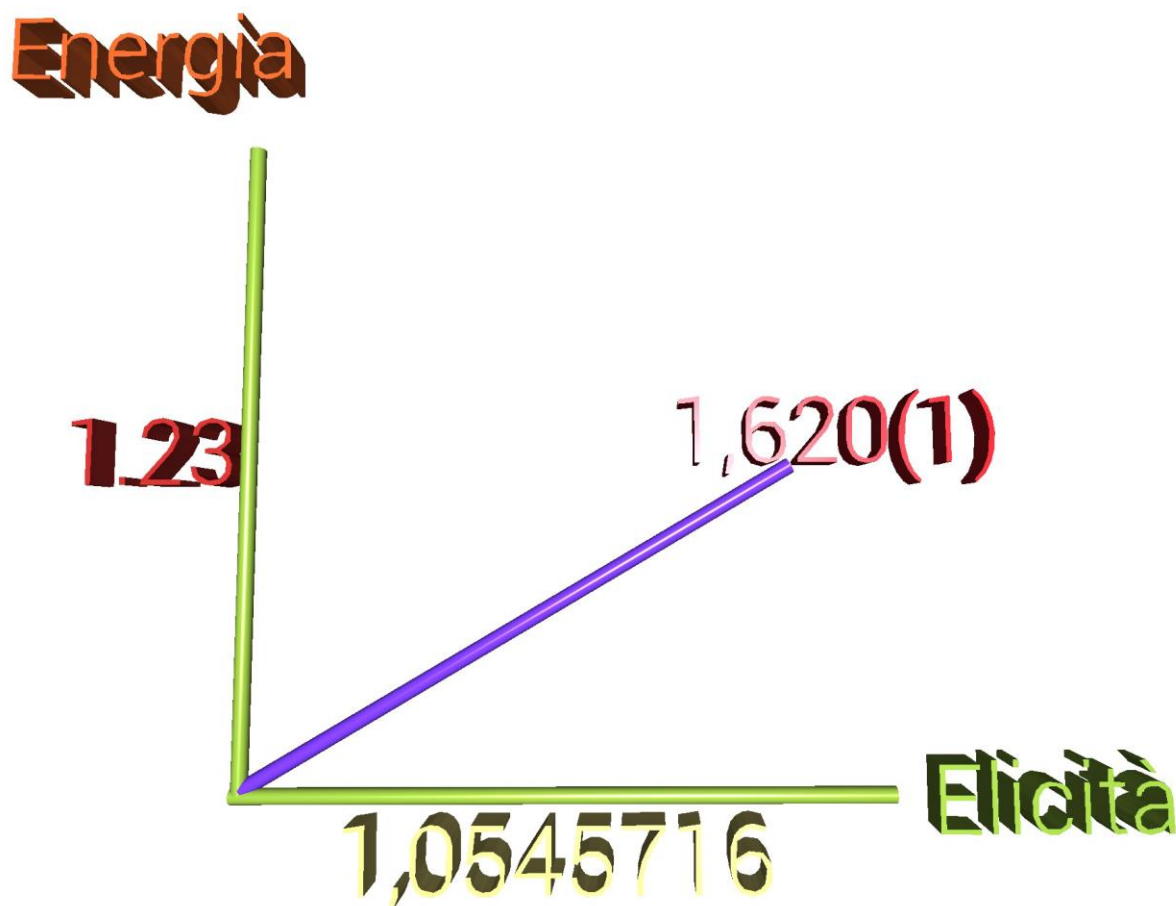
“El vector del espín siempre está en un ángulo hacia el vector de propagación, de modo que su componente en la dirección de propagación sea $\pm\hbar$ y su magnitud sea $\hbar[\sqrt{s(s+1)}] = \hbar\sqrt{2}$.”

La paradoja EPR prevé que no se puede tener información sobre el valor del espín al mismo tiempo en dos ejes perpendiculares entre sí de dos partículas entrelazadas a causa del principio de indeterminación de Heisenberg.

La desigualdad de Bell (http://xoomer.virgilio.it/paacom/Teorema_Bell.htm), demuestra claramente que, el hecho de que exista una indeterminación de este tipo prevé, como única solución, que el Universo se pueda describir por una física cuántica prevista para que esa describa un universo rigurosamente no local, donde el espacio y el tiempo son formalmente holográficos.

El universo evideónico toma en cuenta este hecho. De hecho, podemos recalcular con los números del Evideon, la constante de Planck de dos modos distintos.

El primer modo para calcular el valor de la constante de Planck es poner sobre el eje de la energía su valor igual a 1,23 unidades evideónicas (la mitad exacta de la mínima longitud posible del eje de la energía), teniendo presente que en el eje del espacio tendremos un valor que en realidad es la proyección de un vector colocado en el espacio-tiempo. Aunque si el valor del vector puesto a 45 grados, entre los dos ejes de energía y espacio, fuese exactamente la sección áurea, igual a 1.62 unidades evideónicas, para el teorema de Pitágoras, ordenada como proyección de ese valor, asumiría el valor de $h/2\pi$ igual a 1.05457, a menos que, como de costumbre, sea un factor igual a 10^{-34} ligado al valor de las unidades de medida impuestas por nuestra percepción, pero que en realidad son totalmente inexistentes.



Una segunda modalidad para calcular el numero de la constante de Planck, es entregada por la ecuación de Heisenberg donde:

$$\Delta t \Delta E = h$$

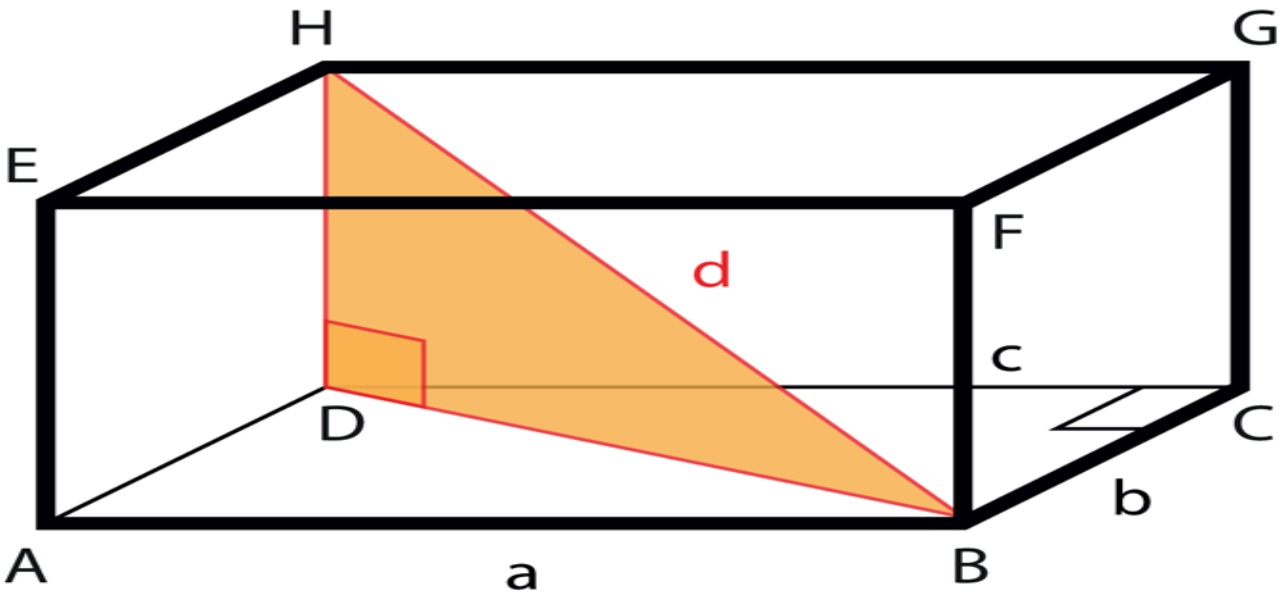
donde, introduciendo los valores provenientes del modelo evideónico, es decir, $(29)^{1/2}$ para el tiempo y 1,2304 para la energía, descubrimos que el valor de h se vuelve igual a 6.6206 multiplicado por la constante dimensional habitual. Recordemos aquí que la raíz cuadrada de 29 deriva de la suma de los vectores 3, 4 y 2, donde el vector suma es dado por la raíz de 29 e imita el valor del tiempo de Planck. Además, se debe notar que el valor de la energía adoptado (1,23) corresponde a un eje de la energía igual a 246 unidades evideónicas y no a 243 como en el mundo evideónico base.

La observación resultante de eso nos hace notar que la relación entre la amplitud de la relación entre espacio-tiempo y energía, en este caso, sería dada por la relación $324/246 = (3)^{1/4}$ con una precisión del 99.7%.

El valor de la raíz cuadrada de 3 está ligado al valor de tangente del ángulo de 60 grados, donde $[(\text{tg}(60))^2 = 3]$ y tal valor parece ser fundamental en el cálculo de los distintos niveles energéticos en el problema de la partícula en la caja.

Por otra parte, si es claro en este punto que la perfecta igualdad de los números calculados por la física está en acuerdo con los números dictados por el modelo evideónico, no se nos puede escapar que los dos cálculos son totalmente independientes entre sí.

Por lo tanto, en el universo evideónico el espín sería un vector en el espacio-tiempo y existiría en este dominio como proyección de un vector con un componente también en el eje de la energía. El vector tendría un componente en el eje del espacio y este componente debería dividirse en 3 direcciones espaciales ubicadas por convención a 90 grados entre sí. Es como si se tuviera un paralelepípedo y se debieran calcular los valores de los tres ejes conociendo la diagonal.



Está claro que, al conocer 2 direcciones, el valor de la proyección en el tercer eje permanece indeterminado, pero esto no significa que el principio de indeterminación exista. Todo eso pone en relación el hecho de que se necesita considerar el vector h , con componentes espacio-temporales y energéticos mientras que actualmente solo se quiere ver en el dominio espacial. En acuerdo con esta visión de las cosas, aparece la última investigación publicada en Nature. El autor principal se expresa así:

"El principio de indeterminación de Heisenberg vincula dos cantidades para describir completamente un sistema físico.

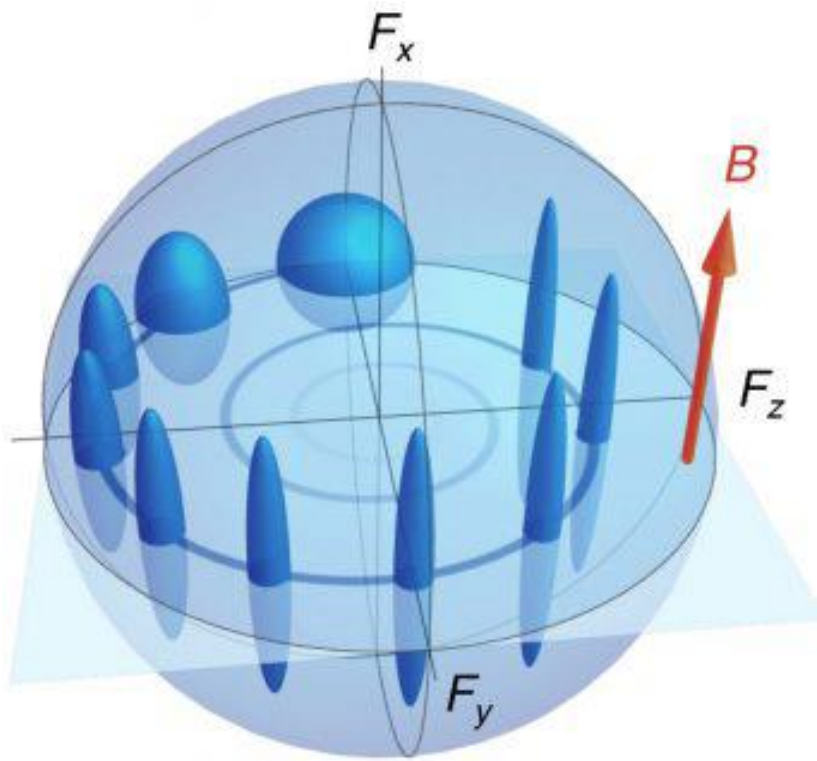
Esto vale para la posición y la velocidad de un átomo, pero también para la amplitud y la fase de una señal.

Al conocer precisamente una de estas 2, la otra se vuelve indeterminada, por lo que es imposible describir completamente nuestro sistema. Sin embargo, otros sistemas físicos, como, por ejemplo, el espín de un átomo, no son descritos por dos, sino más bien por tres cantidades, como, por ejemplo, las tres direcciones espaciales sobre las que se puede orientar el espín. Estos son descritos por una relación de indeterminación un poco más general que vincula las tres cantidades del espín: la relación de indeterminación de Robertson-Schrödinger.

También en este caso resulta imposible conocer exactamente todo el sistema, es decir, las tres orientaciones del espín, aunque se pueden conocer casi precisamente dos de esas.

Y esas dos son suficientes para conocer la amplitud y la fase de una señal detectada por los átomos con extrema precisión, que es aquello en lo que estamos efectivamente interesados.

En pocas palabras, si el espín tiene tres componentes direccionales, pero si solo se pueden verificar dos de ellos, entonces se estrecha la esfera que prevé la existencia de tres direcciones y se trata de transformarla en un plano existencial donde solo dos direcciones existirán mientras se sabe que la tercera será cero (o casi cero)".



A la izquierda está la representación esquemática de la evolución (la espiral azul) de un espín y de su incerteza mientras orbita en un campo magnético. La incerteza, inicialmente igual en todas las direcciones, es aplastada y confinada solo en el componente exterior de la planta, volviendo extremadamente fiables los dos componentes en la planta.

<http://www.media.inaf.it/2017/03/22/icfoindeterminazione-heisenberg/>.

El concepto de este trabajo sustancialmente incorpora la idea de que la realidad virtual basada en tres componentes puede ser totalmente determinada encargándose de tomar conciencia de esa.

Recordemos en este instante que a nivel de nuevos descubrimientos en física ya hemos puesto atención en el hecho de que los científicos modernos proveen y realizan experimentos en los que se va más allá de la indeterminación de Heisenberg (ver Eviden 3 del mismo autor y la literatura citada allí).

<http://www.nature.com/nature/journal/v543/n7646/full/nature21434.html>

Algunas interesantes relaciones numéricas.

En el universo evidéonico los números y las cifras que componen estos números están casi mágicamente ligados entre sí por relaciones imprevisibles. Algunas de esas son resumidas a continuación:

$$(108)^{1/13,5} = (2)^{1/2} \text{ aproximación del 99.95\%}$$

$$108/1.62 = 66,6(6)$$

$$(108)^{1/\Phi} = 18 \text{ con } \Phi = 1.62 \text{ aproximación al 99.98\%}$$

$$18 = \Phi^6 \text{ con } \Phi = 1.62 \text{ aproximación al 99,60\%}$$

$$2^2 \times 1.62 \times 1.08 = 7 \text{ con una aproximación del 99.98\%}$$

$$432 \times 90/360 = 108$$

Además, es interesante notar que, en la penúltima igualdad, los números importantes que determinan la construcción del fractal universal, es decir, el 7, el 2 y la Sección Áurea, están relacionados entre sí. En cambio, en la última igualdad se tiene la idea de que el universo evidéonico es descrito solo por números que representan ángulos, que pueden ser puestos en relación con valores de frecuencia, como veremos en breve.

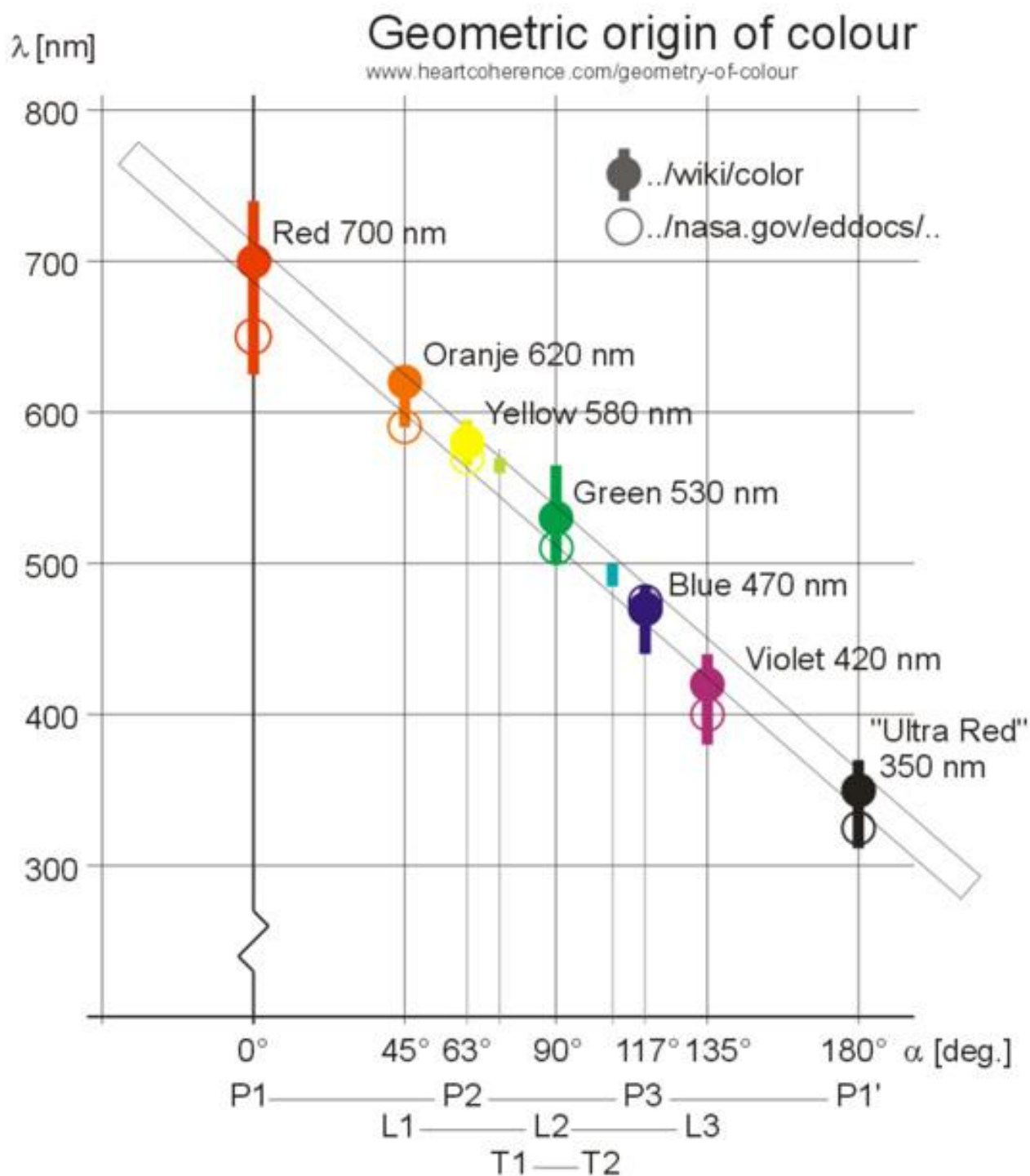
El mundo evideónico está hecho solo de ángulos.

El mundo evideónico está relacionado con la descripción de vectores geométricos que se expresan con números, cuyas cifras, a veces representan vectores en secuencia fractálica. Estos números son interpretados de modo dual, como frecuencias en el plano espacio-temporal, o como ángulos. El concepto de frecuencia está vinculado con la idea de la vibración y todo eso que existe se puede describir con una fórmula que expresa una oscilación. De esta oscilación depende la forma que nuestro cerebro le da a las cosas que lo rodean, es decir, como es interpretada la realidad virtual, no local, por medio de los lóbulos derecho e izquierdo del cerebro.

En cambio, el concepto de ángulo es más sofisticado en el mundo evideónico. Se debe tener presente que en el pasado alguien se dio cuenta que existía alguna relación entre ángulos y frecuencias que podrían estar correlacionadas entre sí a través de una recta genérica.

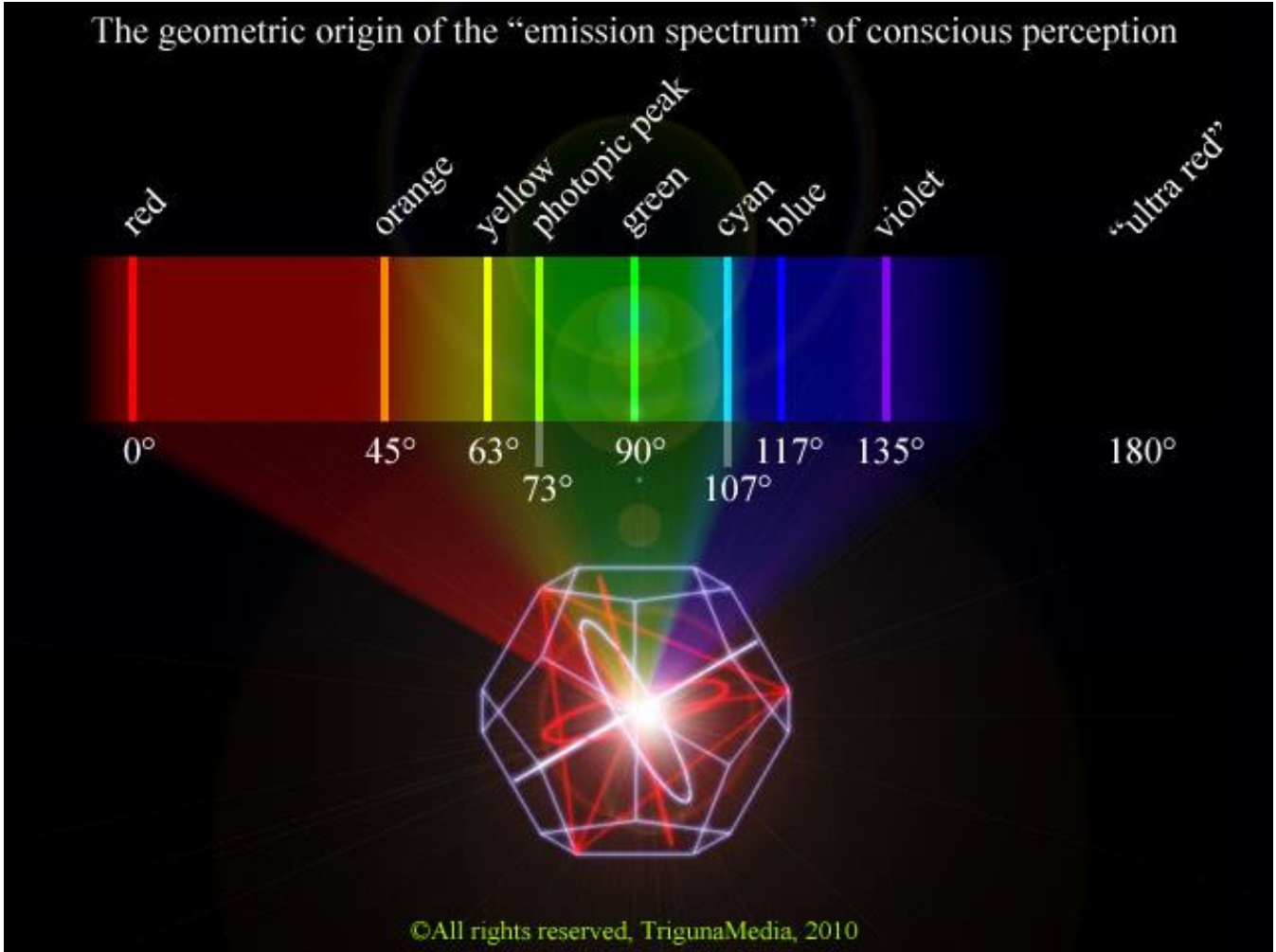
<http://www.trigunamedia.com/science/geocolor/>.

Por ejemplo, la NASA ha estudiado el problema y ha descubierto una relación lineal entre colores y frecuencias.

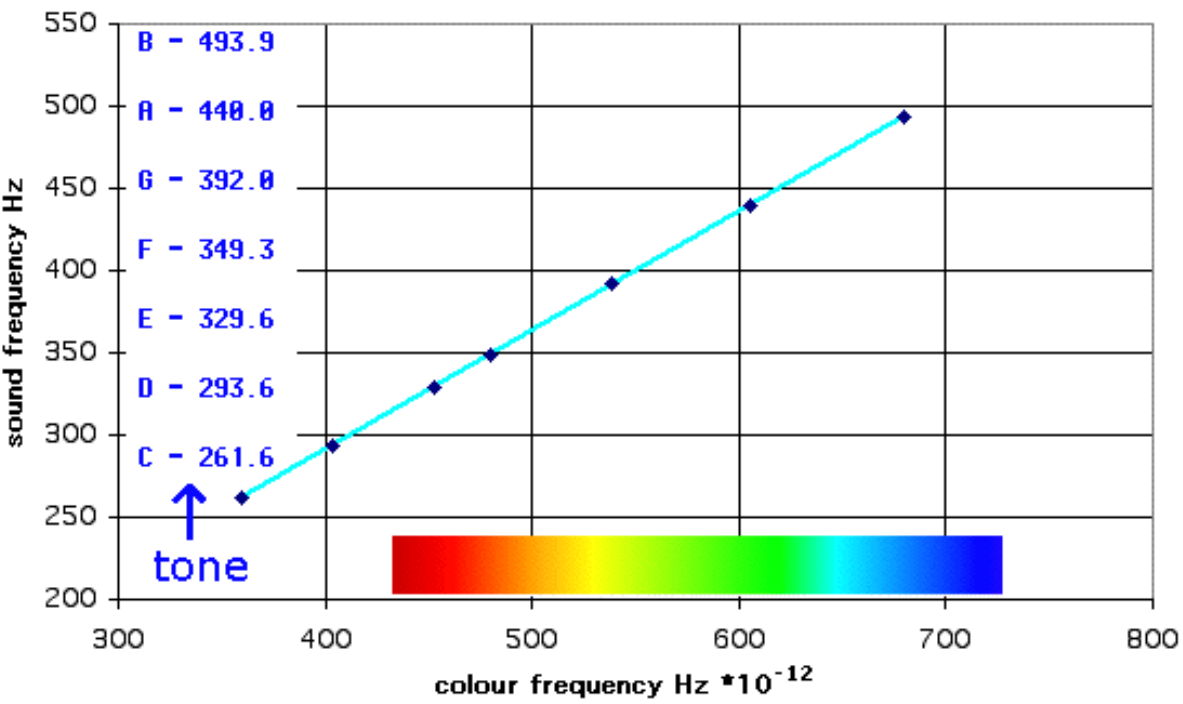


Esta relación, si por un lado confirma la hipótesis efectuada por nosotros en nuestros trabajos anteriores, no entrega datos sobre la naturaleza de porqué existe una relación así.

Se supone que existe una relación entre percepción del color y Conciencia que permite describir los colores, como percepciones en el espacio, como operadores geométricos.



Además de los colores visibles, también las frecuencias sonoras audibles están relacionadas entre sí y unidas a valores angulares a través de una ecuación lineal.



Es cada vez más evidente que los números eideónicos, bajo forma de vectores, representan, de algún modo, frecuencias y ángulos.
Con respecto a las frecuencias sonoras, era de esperárselo ya que las notas musicales están relacionadas entre sí de varios modos, por ejemplo, usando la Sección Áurea, como está mostrado en el siguiente gráfico:

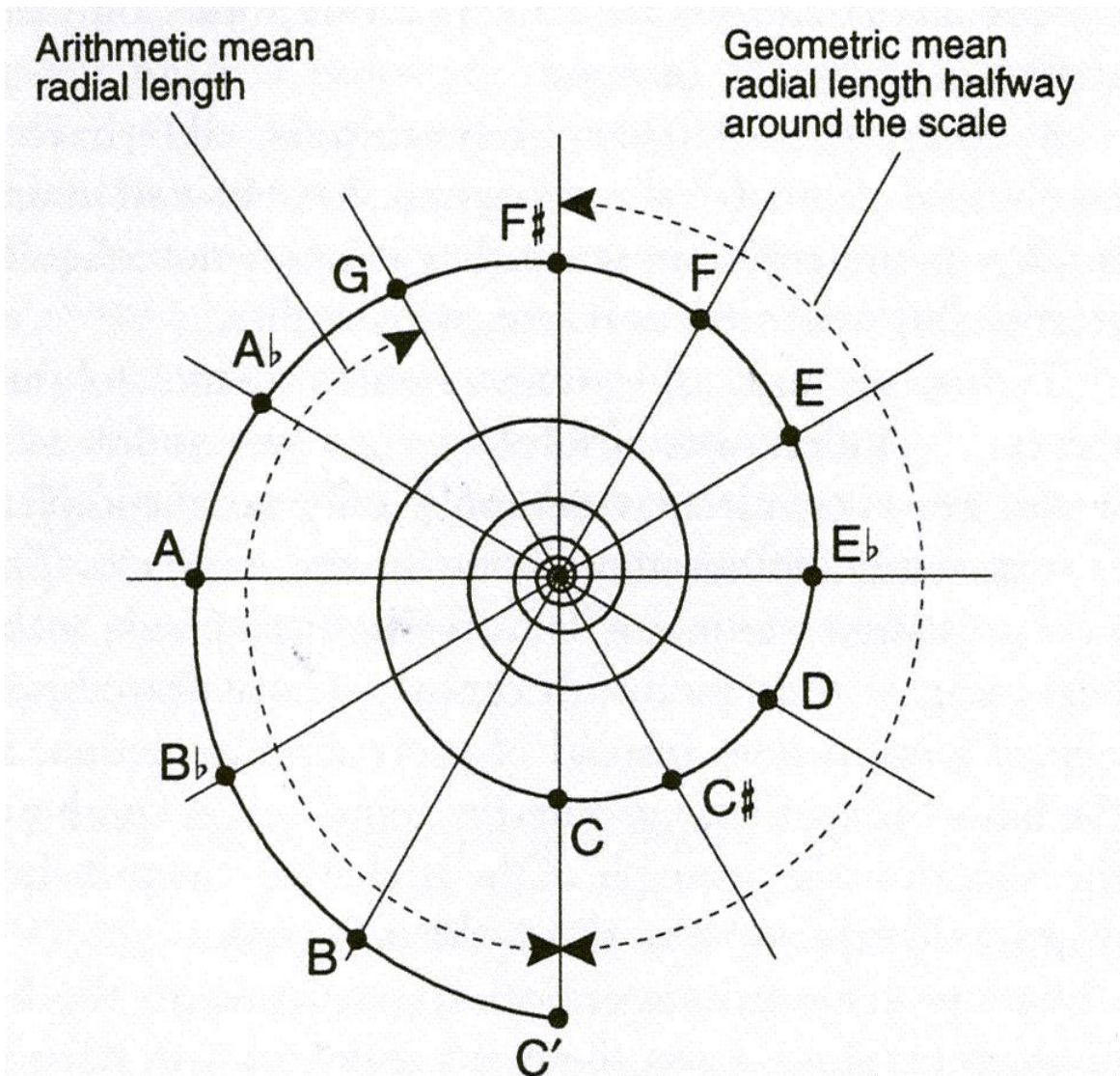


FIGURE 9. *The self-similar conical spiral projected onto a plane, showing the intervals of the equal-tempered scale.*

http://www.schillerinstitute.org/fid_91-96/fid_911_jbt_tune.html?redirect=false

Sin embargo, lo que le falta a este modelo es una verdadera ecuación matemática.

Por este motivo hemos vinculado los números ligados a los vectores de los ejes de Eviden con ángulos y hemos encontrado las siguientes relaciones fuertes:

Los números del universo evidéonico han sido correlacionados con ángulos y el resultado es asombroso.

DataAnalysis - Scientific Data Analysis for the iPad

File Name: colorgraph | Current Function: Linear

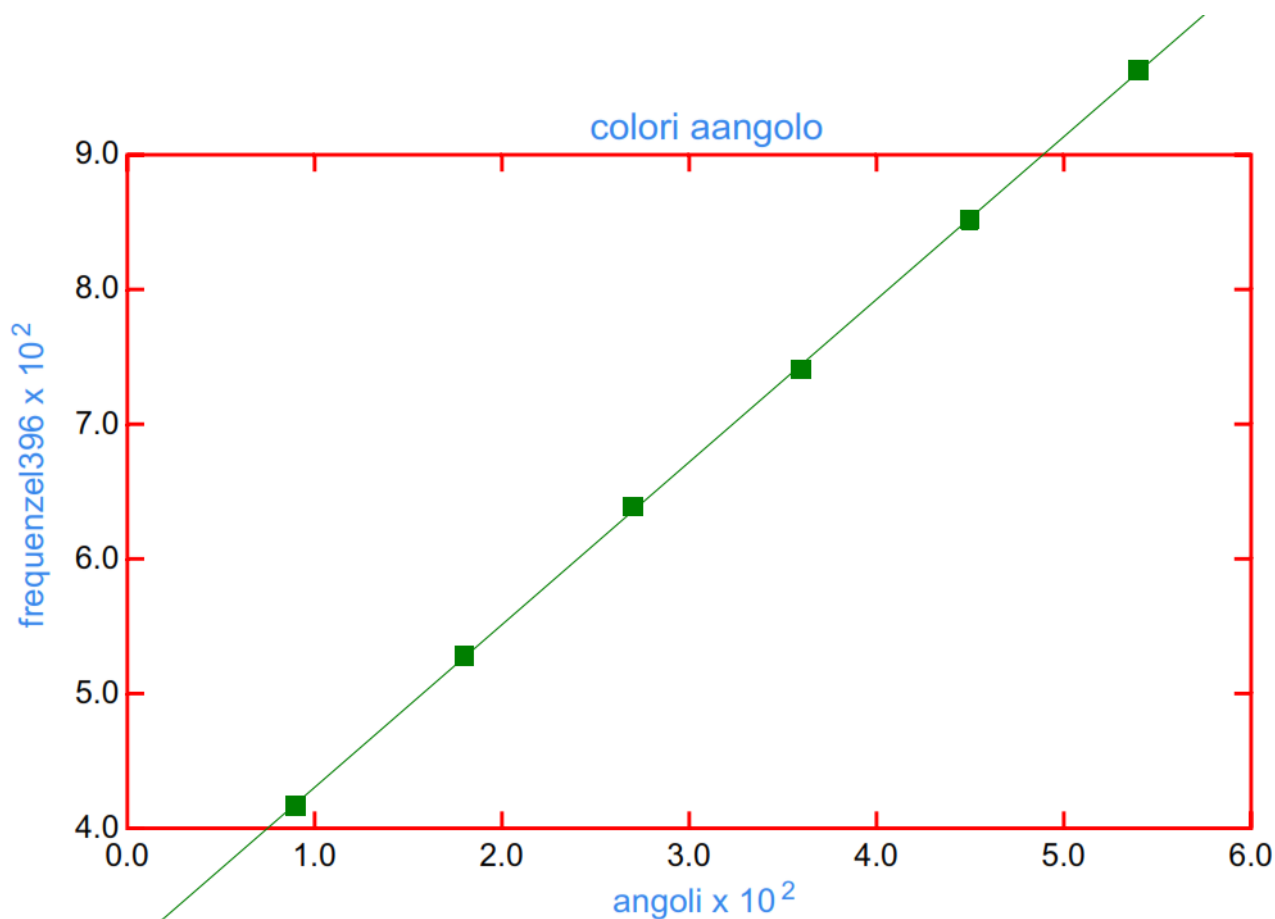
***** Final Parameter Values *****

	m	b		
	1.2076	309.6000		
SD	6.999E-03	2.453		
Pt.	X-obs.	Y-obs.	Y-calc.	Per.dev.
1	90.0000	417.0000	418.2857	0.307
2	180.0000	528.0000	526.9714	-0.195
3	270.0000	639.0000	635.6571	-0.526
4	360.0000	741.0000	744.3429	0.449
5	450.0000	852.0000	853.0286	0.121
6	540.0000	963.0000	961.7143	-0.134

sum of squares = 27.771

variance = 6.943

Coefficient of determination (R^2) = 1.000



La correlación entre ángulos y números evidéonicos resulta perfecta si no consideramos el primer número ligado al eje de la energía y correspondiente al color magenta (valor 396). Considerando este número dentro de la secuencia de números se produce una leve reducción del índice de correlación que se aleja del valor unitario R^2 . Tal discrepancia, como es mostrada por los siguientes datos:

DataAnalysis - Scientific Data Analysis for the iPad
 File Name: colorgraph | Current Function: Linear
 ***** Final Parameter Values *****

	m	b			
	1.1048	349.7146			
SD	0.060	19.337			
Pt.	X-obs.	Y-obs.	Y-calc.	Per.dev.	
1	0.0000	396.0000	349.7146	-13.235	
2	90.0000	417.0000	449.1431	7.157	
3	180.0000	528.0000	548.5715	3.750	
4	270.0000	639.0000	648.0000	1.389	
5	360.0000	741.0000	747.4285	0.860	
6	450.0000	852.0000	846.8569	-0.607	
7	540.0000	963.0000	946.2854	-1.766	

sum of squares = 4026.857
 variance = 805.371
 Coefficient of determination (R^2) = 0.986

parece recalcar una distorsión del modelo evidéónico sobre todo ligada a las dimensiones del eje de la energía, como fue evidenciada anteriormente durante el cálculo del valor numérico de la constante de Planck. Además, se debe notar que la ecuación de la recta de *best fitting*, igual a:

$$Y = 1.2076X + 309.6$$

equivale a escribir una recta del tipo:

$$0.828Y = x + 256$$

poque:

$$256 \times 1.2076 = 309.15$$

donde 256 representa la frecuencia en Hz, del quinto Do de la escala musical pitagórica, que corresponde a un quinto La, igual 432 Hz. Mientras que la tangente de 309.15 es igual a -1.22830 que corresponde a un valor de intercepción que imita el valor del eje de la energía 1.23 (con el valor de -1.22830, el valor de la sección áurea sería calculado como 1.61890, en vez de 1.62).

En la recta que vincula los números evidéonicos con los ángulos formales de 90 grados sugeridos en nuestro modelo, es clara la fuerte relación entre posición en el espacio evidéonico, entre ángulos y vectores. Podemos concluir que existe una relación entre colores, frecuencias y posiciones espaciales en el universo evidéonico y teniendo presente que tal universo es la representación de una cinta de Moebius, para un giro total que vale 720 grados, para regresar al punto de partida, podemos comprender que la NASA efectivamente haya resaltado esa correlación, aunque sin tener a su disposición los datos relativos a la geometría evidéonica (cada semi-tono esta distanciado a 60 grados del siguiente).



#79569966

Por lo tanto, la música no sería más que el enésimo aspecto de un holograma fractálico donde las frecuencias musicales no serían más que el espejo de la estructura evidéonica.

Orden de complejidad del universo fractálico.

Debemos preguntarnos porqué la realidad está totalmente conectada en todos sus aspectos más diversos haciendo posible las relaciones geométricas musicales con los niveles energéticos subatómicos. Si el universo es un fractal estará constituido de bloques, todos iguales, que seguirán las mismas reglas. El fractal que derivará estará caracterizado por un orden de complejidad llamado D. Ese orden de complejidad será la clave de lectura base de todos los fenómenos que ocurren dentro del universo evidéonico.

Establecer cuál es el orden de complejidad del universo en el que vivimos no es fácil. La NASA, a través de imágenes del Hubble, habría establecido que el orden de complejidad del universo tiene un valor de aproximadamente 1,2...

http://www.scienzaeconoscenza.it/blog/scienza_e_fisica_quantistica/universo-frattale.

Basta pensar que, si consideramos un volumen esférico de radio R centrado en una galaxia elegida al azar, la masa contenida allí, para una distribución homogénea de materia, o sea caracterizada por una densidad constante, crece con el cubo de la dimensión lineal:

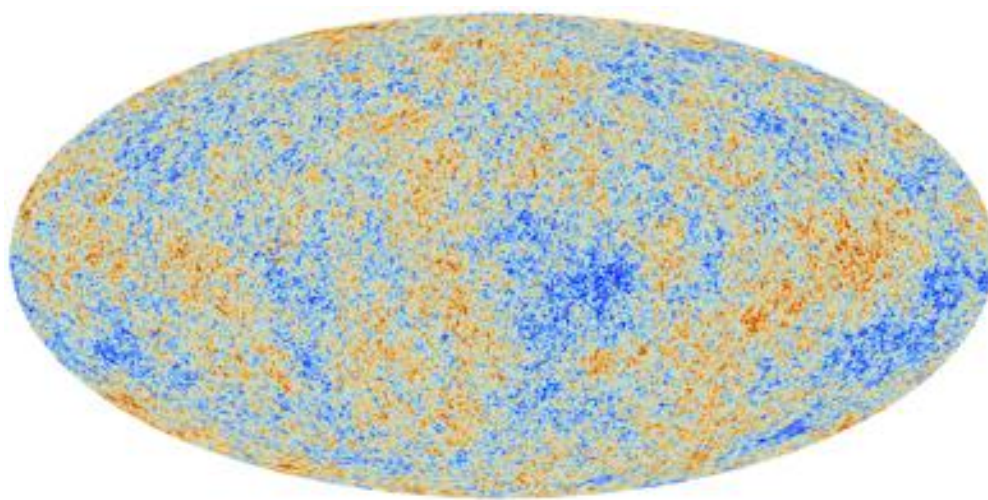
$$M \propto R^3$$

En cambio, para los fractales, dado que se encuentran muchos vacíos en el volumen que los contiene, la masa se vuelve proporcional a cierta potencia D del radio R, llamada precisamente "dimensión fractal"

$$M \propto R^D$$

por lo cual, en general, resulta $D < 3$.

Sorprendentemente, los resultados de las observaciones en la distribución de las galaxias (con $R < 20$ Mpc) y en los cúmulos de galaxias (con $R < 100$ Mpc), indican una misma dimensión fractal $D \cong 1,2$.



Modelo fractal del Universo y Energía Oscura, Tedesco L., Cagnetta F. M., Univ. Estudios de Bari – A.A. 2011–2012; La Estructura Fractal del Universo, P.H. Coleman, L. Pietron

Desde este punto de vista se destaca que el número D aproximadamente igual a 1,2 también podría ser adoptado por el universo evidéonico porque muchos de los números evidéónicos, si son elevados a valor medio D, asumen valores enteros significativos:

$$\pi^{1.2110} = 4$$

$$S^{1.2116} = 40 \text{ con } S \text{ (entropía)} = 21 \text{ (ver Evidé-On y la virtualidad aparece, del mismo autor)}$$

$$\Phi^{1.218} = 1.8$$

$$108^{1.218} = 300$$

$$18^{1.21} = 33$$

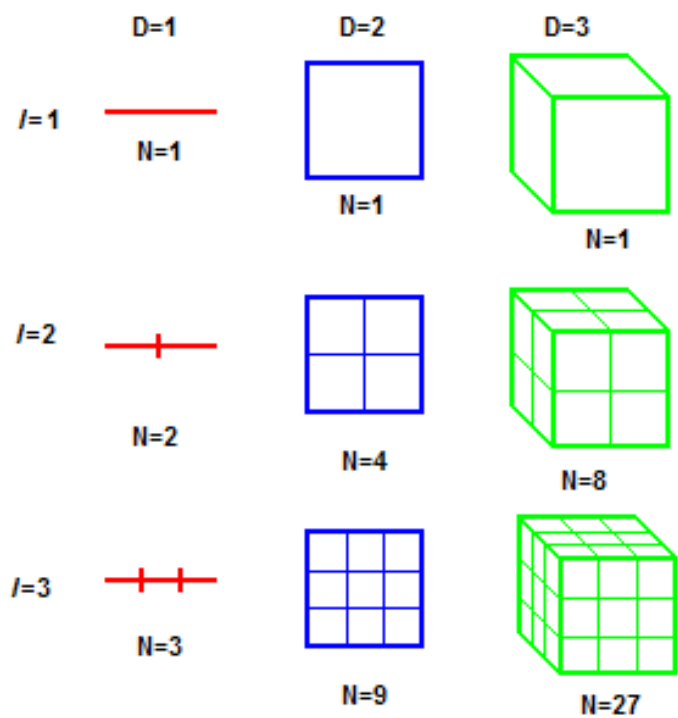
Pero en realidad todo eso podría significar cualquier cosa, excepto que números tan precisos aparezcan solo por accidente.

Además, la física moderna, sólo desde un punto de vista teórico, prevé que el valor D debe ser igual a 2.

(<https://luth.obspm.fr/~luthier/nottale/arA&A327.pdf>)
(<https://link.springer.com/article/10.1023/B:GERG.0000006692.38179.84>).

No obstante, se destaca que, si por una parte la teoría permanece hasta que se encuentre su validez en campo, por el otro, la NASA muestra un resultado totalmente diferente. Incluso el resultado de la NASA está sustancialmente vinculado con la fotografía del universo como es ahora, pero no como el fractal se ha desarrollado en el tiempo. En este contexto, el grado de complejidad del fractal estaría ligado solamente a la complejidad espacio-temporal, sin dar indicaciones sobre el aspecto energético de nuestro universo.

En sentido más general, un orden fractálico D se calcula dividiendo el logaritmo del número de las celdas que conforman una unidad fractálica, para el logaritmo de la longitud de una celda.
(<http://zibalsc.blogspot.it/2015/02/178-castel-del-monte-e-frattali.html>).



En el caso del universo evideónico tenemos 8 octantes, cada una con longitud de 1.62 unidades evideónicas por lo cual

$$D = \lg 8 / \lg 1.618033 = 4.32$$

Usando los logaritmos en base dual comenzamos a comprender el motivo por el cual el número 432 entra en la matemática evideónica (ver publicaciones precedentes de la serie Evideon, del mismo autor). Pero también se comprende un aspecto fundamental de la música moderna. De hecho, existe una gran polémica sobre la afinación del quinto La del piano, que suena a 440Hz pero que una vez, originalmente, era fijado a 432 Hz.

La música tocada con la afinación a 432 Hz parece ser una música más agradable de escuchar y, también si de 440 a 432 Hz hay solo 8Hz de diferencia, prácticamente no audible para el oído humano, la sensación, para quien toca y quien escucha, es aparentemente muy diferente.

Se debe tener presente que nuestro cerebro parece coincidir frecuencialmente con las frecuencias a las que está sometido,

(<http://www.marcostefanelli.com/subliminale/mantrasuono.htm>) construyendo una especie de resonancia cerebral. Si el universo está fractálicamente construido sobre un valor D igual a 432 también nuestro cerebro tendrá como frecuencia base un número correlacionado fractálicamente con 4.32 y resonará en armonía con una música "armónicamente en fase" con el universo mismo.

http://www.schillerinstitute.org/fid_91-96/fid_911_jbt_tune.html?redirect=false. (based on a speech given by the author, Director of the European Fusion Energy Foundation, at an April

1988 Schiller Institute conference on scientific tuning held in Milan, Italy. It appears also in the Institute's "Manual on the Rudiments of Tuning and Registration).

También ahora se descubre porqué las notas musicales deben depender fundamentalmente de la matemática de Pi griego y de la Sección áurea, que son los números fundamentales sobre los que se basa la geometría evideónica.

Por lo tanto, no nos debería extrañar porque:

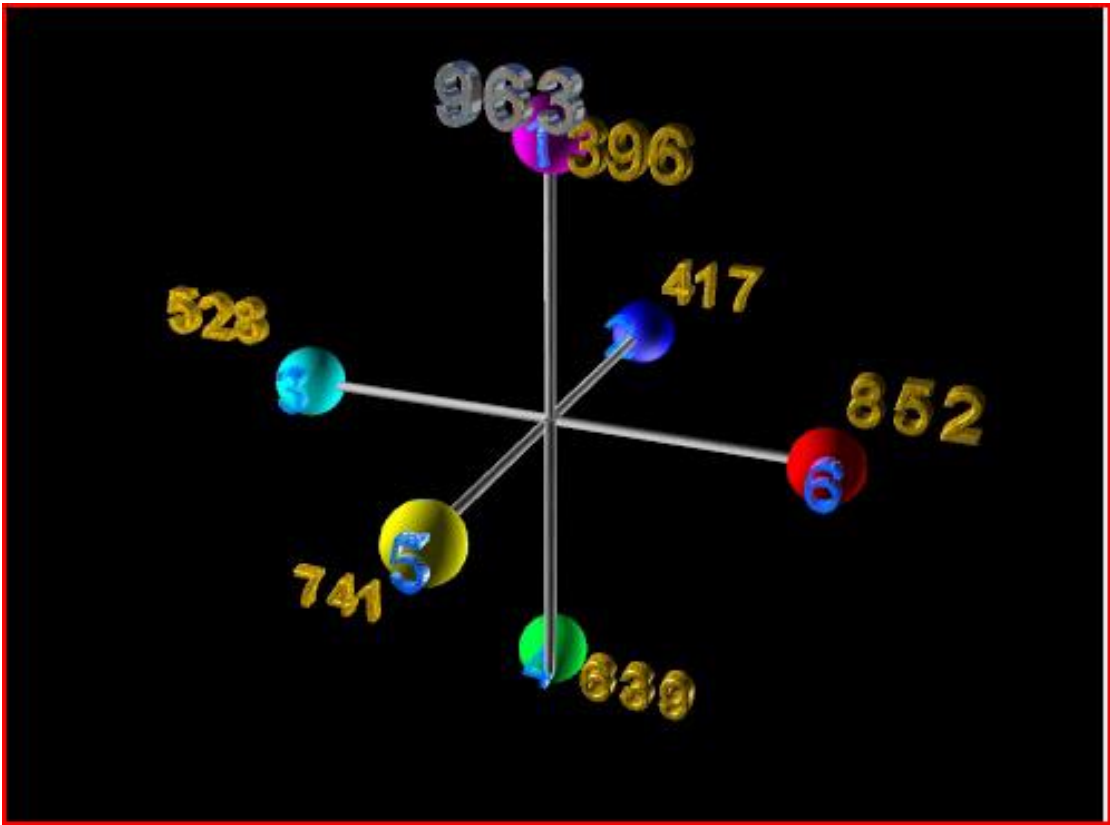
$$\Phi^{4.32} = 2^3$$

Pero, mientras que antes de este artículo nadie había formalizado matemáticamente esas evidencias, ahora tenemos una clave de lectura universal constituida por la geometría del Evideon, que describe todo eso que se sabía, pero que no podía ser demostrado a causa de la falta de un modelo global fractálico, de geometría y simetría conocido.

Relaciones entre frecuencias musicales y el mundo de Evideon.

La idea de estudiar el problema de las afinaciones de las escalas musicales y ponerlas en relación con nuestro universo ha sido el paso sucesivo de nuestra investigación. No hace falta decir que si el universo es un fractal y si ese está relacionado con el número 4.32, entonces se debe dar una mirada a los problemas surgidos con las escalas musicales y tratar de entender lo que está tras la diatriba que, actualmente, forzada y aparentemente sin causa, obliga a la gente que toca a 432 Hz, a acordar los instrumentos a 440 Hz. Además, el análisis de las frecuencias de las notas, siendo que el universo es fractálico, podía darnos información más interesante sobre todo nuestro hábitat virtual.

Como ya he podido dilucidar en uno de mis artículos anteriores (El espacio de los sonidos), las notas, originalmente 6 y no 7 (el Si es introducido posteriormente), parten de una escala musical, llamada "solfeggio" y que ya no se usa, porque no existen pruebas que confirmen esta hipótesis, que se basaría en el Do a 396 Hz. Los posteriores tonos habrían sido, casualmente, los números que caracterizan los ejes del Evideon.



Posteriormente, Pitágoras construyó una escala musical basada en las potencias de 2 que veía el quinto Do a 256, (2⁸) Hz.

Cuando se estableció que los semi-tonos debían ser 12 en total, se comprendió que, si el quinto La estuviera a 432 Hz, las cosas encajarían bien y se temperó posteriormente la escala

musical, tratando de evitar que se creen asonancias no agradables en los acordes complejos.
<http://www.paolobenda.it/bancadelsuono/note.html>.

En ese contexto, la escala es temperada y mejorada distanciando los distintos semi-tonos de cantidades siempre iguales en frecuencias, relacionando todo con algunas fórmulas.

<http://www.amadeux.net/sublimen/dossier/musica-intonazione-432-hz.html>.

En la escala temperada, los intervalos entre dos notas sucesivas son siempre iguales. El intervalo de octava es dividido en 12 intervalos de un algún semi-tono. La octava es subdividida en doce semi-tonos iguales, por lo que el intervalo de un semi-tono es igual a:

$$f_{N+1} + f_N = \sqrt[12]{2} \text{ (1,05946)}.$$

A continuación, adjuntamos la tabla de las frecuencias y de las notas de la escala temperada actual.

TONI	OTTAVA	OTTAVA	OTTAVA	OTTAVA	OTTAVA	OTTAVA	OTTAVA	OTTAVA	OTTAVA	OTTAVA	OTTAVA
	-5	-4	-3	-2	-1	0	1	2	3	4	5
C	8,0261	16,0521	32,1043	64,2085	128,4171	256,8341	513,6682	1027,3365	2054,6729	4109,3459	8218,6917
rapporto	0,018581	0,037163	0,074325	0,148651	0,297302	0,594604	1,189207	2,378414	4,756828	9,513657	19,027314
C#	8,5033	17,0066	34,0133	68,0266	136,0531	272,1063	544,2125	1088,4251	2176,8501	4353,7003	8707,4006
rapporto	0,019686	0,039373	0,078745	0,157490	0,314980	0,629961	1,259921	2,519842	5,039684	10,079368	20,158737
D	9,0090	18,0179	36,0358	72,0716	144,1433	288,2865	576,5731	1153,1462	2306,2924	4612,5848	9225,1696
rapporto	0,020857	0,041714	0,083427	0,166855	0,333710	0,667420	1,334840	2,669680	5,339359	10,678719	21,357438
D#	9,5447	19,0893	38,1786	76,3572	152,7145	305,4290	610,8579	1221,7158	2443,4317	4886,8633	9773,7267
rapporto	0,022097	0,044194	0,088388	0,176777	0,353553	0,707107	1,414214	2,828427	5,656854	11,313708	22,627417
E	10,1122	20,2244	40,4488	80,8977	161,7954	323,5907	647,1814	1294,3628	2588,7257	5177,4517	10354,9027
rapporto	0,023411	0,046822	0,093644	0,187288	0,374577	0,749154	1,498307	2,996614	5,993228	11,9864	23,972913
F	10,7135	21,4270	42,8541	85,7081	171,4162	342,8324	685,6648	1371,3297	2742,6593	5485,3186	10970,6373
rapporto	0,024803	0,049606	0,099213	0,198425	0,396850	0,793701	1,587401	3,174802	6,349604	12,699208	25,398417
F#	11,3506	22,7011	45,4023	90,8046	181,6091	363,2183	726,4366	1452,8732	2905,7463	5811,4927	11622,9853
rapporto	0,026278	0,052556	0,105112	0,210224	0,420448	0,840896	1,681793	3,363586	6,727171	13,454343	26,908685
G	12,0255	24,0510	48,1020	96,2041	192,4082	384,8164	769,6327	1539,3655	3078,5310	6157,0620	12314,1240
rapporto	0,027841	0,055681	0,111362	0,222725	0,445449	0,890899	1,781797	3,563595	7,127190	14,254379	28,508759
G#	12,7406	25,4812	50,9623	101,9247	203,8494	407,6987	815,3975	1630,7950	3261,5900	6523,1800	...
rapporto	0,029496	0,058992	0,117984	0,235969	0,471937	0,890899	1,887749	3,775497	7,550995	15,101989	...
A	13,4982	26,9964	53,9927	107,9854	215,9709	431,9418	863,8836	1727,7671	3455,5342	6911,0684	...
rapporto	0,031250	0,062500	0,125000	0,250000	0,500000	1,000000	2,000000	4,000000	8,000000	16,000000	...
A#	14,3008	28,6016	57,2033	114,4066	228,8132	457,6264	915,2527	1830,5055	3661,0110	7322,0219	...
rapporto	0,033108	0,066216	0,132433	0,264866	0,529732	1,059463	2,118926	4,237852	8,475705	16,951410	...
B	15,1512	30,3024	60,6048	121,2096	242,4191	484,8383	969,6765	1939,3530	3878,7060	7757,4120	...
rapporto	0,035077	0,074325	0,140308	0,280616	0,561231	1,122462	2,244924	4,489848	8,979696	17,959393	...

Scala TEMPERAMENTO EQUABILE basata su un DO = 256 Hz / LA = 432 Hz
Rapporto di frequenza: 431.9418 Hz

De un análisis de estas frecuencias numéricas podemos efectuar inmediatamente algunas ob-servaciones importantes que enlistamos ahora:

- En la tabla encontramos todos los números del Evideon, por ejemplo, los distintos La de las diferentes octavas inician con el La a 13.5 Hz.
- La relación entre 432/256 = 1.6875 es el mismo número que aparece en la tabla de los valores del problema de la partícula en la caja para n = 8.
- Los semi-tonos son doce y el valor de 2^{1/12} = 2^{0.08(3)} vale exactamente 1.059463.
- Los números de la tabla no son perfectos porque derivan de oportunas aproximaciones que hacen que la tabla sea "equitativa".

Analogías entre las frecuencias musicales y el mundo Evidéonico.

Al final, la relación entre el número 432 y el 256 establece la relación frecuencial dentro de una octava y 2 elevado a un duodécimo establece la relación frecuencial entre un semi-tono y el siguiente.
Por lo tanto:

$$2^{1/12} = 1.0594630$$

$$432/256 = 1.6875$$

Pero en este punto nos damos cuenta de que estos números también son obtenidos por la geometría evideónica. De hecho, el número 1.6875 cuyo logaritmo de base dos vale 0.7548875 es definitivamente similar al número 1.68179 cuyo logaritmo vale exactamente 0.75.

El valor 075 se obtiene elevando 2 a la potencia de $3/4$, que representa la relación entre las amplitudes de los ejes del espacio-tiempo y de la energía.

$$2^{0.75} = 2^{243/324} = 2^{3/4} = 1.681792839$$

Por lo tanto, el universo evideónico estaría sustancialmente afinado con la misma escala musical excepto por pequeñas diferencias totalmente insignificantes e inaudibles para la música moderna. De hecho, trabajando a 432 Hz en el segundo caso, tendremos un quinto Do con una frecuencia igual a 256.8687 comparado con el teórico pitagórico a 256Hz y con el ecualizado a 256.8341.

Se comprende perfectamente que utilizando las relaciones que derivan de la geometría evideónica no tendríamos cambios apreciables a nivel audible. Por ende, es altamente probable que los verdaderos valores que se deben adoptar serían aquellos ligados a la geometría evideónica y no a aquellos obtenidos antes por Pitágoras y luego finalmente ecualizados.

¿Por qué hay siete notas?

La pregunta no es retórica. En la evolución musical, el modelo con 7 notas hoy ha sido felizmente adoptado por todos y nos debemos preguntar por qué no ha sido adoptado un modelo alternativo, por ejemplo, con 8 notas. El ser humano, incluso inconscientemente, es el creador de su universo, que siempre ha sido creado inconscientemente en base evideónica. En ese contexto, el modelo musical se adapta cada vez más a las exigencias de simetría de nuestro cerebro que, estando basado en números evideónicos y en el valor de la complejidad fractálica $D = 4.32$, ha creado inconscientemente algo que lo recalcará, creando un modelo que le permita al cerebro resonar armónicamente con ese. Así que terminamos manipulando un teclado de piano que tenía 7 notas, pero tenía que tener otras 5 teclas. En realidad, las notas serían 12, por lo tanto, como está hecho un teclado, pero es importante que existan 12 espacios entre una octava y otra, porque los semi-ejes del Evideon son 6 y las notas tocables no habrían podido ser más que un múltiplo de 6.

Además, inconscientemente se elegía sistematizar los semi-tonos, todos distanciados, de tal modo que los 12 semi-tonos crearan geométricamente valores angulares correspondientes a las frecuencias evideónicas bien precisas (60 grados en la cinta de Moebius).

Trabajando con los números evideónicos nos damos cuenta de inmediato que las frecuencias ligadas al eje de la energía, del espacio y del tiempo se podían relacionar con las frecuencias musicales y con los valores de Pi griego y Sección Áurea.

$$\pi^{8.1240/9.64365} = \phi^2 = 1.6230^2$$

$$\pi^{432/1024} = \phi^2 = 1.6208^2$$

$$\pi^{431.8588/1027.1392} = \phi^2 = 1.618176^2$$

Donde los valores 9.64365 y 8.1240 representan los valores de las raíces cuadradas de 93 y 66 que respectivamente corresponden a los valores vectoriales de las frecuencias espaciales (espirituales) y temporales (ánimicas).

$$(1^2+4^2+7^2)^{1/2} = (66)^{1/2} = 8.1240 \text{ frecuencia anímica/temporal}$$

$$(5^2+2^2+8^2)^{1/2} = (93)^{1/2} = 9.64365 \text{ frecuencia espiritual/espacial}$$

Junto a esta observación notábamos que existía otra igualdad que ponía en relación la Sección áurea y Pi griego con la frecuencia mental calculada con los vectores del eje vertical del Evideon (eje de la energía):

$$[F_m]^2 = [\phi]2^{2\pi}$$

$$\Pi^{Fa/Fs} = \phi^2$$

Con F_m que vale (3²+9² +6²)^{1/2} = (126)^{1/2} = 11.22497.
Además, nos dimos cuenta de otra interesante relación numérica que relacionaba la frecuencia mental (eje de la energía) con el número 432:

$$2^{\pi}F_m = [4.31831]^{\pi}$$

que habría podido ser generalizada también para los demás valores vectoriales de los ejes evidéonicos, pudiendo así escribir la relación de un modo genérico:

$$2^{\pi}F_v = [f_{Hz}]^{\pi}$$

Donde F_v representa las frecuencias calculadas en el universo evidéónico como sumas vectoriales de las cifras que corresponden a los extremos de los semi-ejes mientras f_{Hz1}, son las correspondientes frecuencias que percibimos como manifestación de la virtualidad evidéonica hecha de espacio, tiempo y energía en términos vectoriales pero proyectada solo en el plano espacio-temporal. En palabras simples, mientras el número 396 que caracteriza el color magenta en el ápice del eje de la energía, representa un grupo de 3 vectores, cuya "frecuencia" es un número en realidad adimensional, ese se manifiesta con su proyección en el plano espacio-temporal y, tal proyección, que somos capaces de percibir como una frecuencia en Hz, puede ser calculada con este último algoritmo.

De hecho, se destaca que los números del universo evidéónico deben ser proyectados en el plano espacio-temporal para poder entregar un aspecto de ese universo que podemos medir. Entonces se encontraba un sistema para transformar los números de los vectores evidéónicos en frecuencias que tuvieran un significado tangible para el cerebro humano, que es capaz de darle la tridimensionalidad a la virtualidad.

Además, sabíamos de trabajos anteriores (Evide-on: y la virtualidad aparece, del mismo autor) que existía una probable relación numérica que regulaba la variación de π con Φ, durante la evolución del universo evidéónico, que no era estático, sino que partía de una forma esférica para convertirse en toroide y volver, al final, a ser una esfera.

$$(\phi)^{1/2}\pi = 4$$

Si, por un lado, ya teníamos una correlación entre F_v y ángulos, todavía faltaba una relación entre f_{Hz} y ángulos, para así poder verificar la consistencia de la geometría evidéonica, transformando todas las frecuencias del plano espacio-temporal en ángulos, así como hicimos con el problema de la partícula en la caja. Una correlación angular de este tipo habría, por un lado,

confirmado la existencia de esa relación, pero nos habría permitido hacer cualquier cálculo, transformando los parámetros actuales (longitud, tiempo y energía) únicamente en ángulos adimensionales.
El algoritmo propuesto es el siguiente:

$$[f_{Hz}]^{\pi} = \alpha \pi^2$$

y para demostrar la existencia de este algoritmo le hemos aplicado esa fórmula a los valores de los 7 de la escala musical (a partir de la quinta octava con el La a 432 Hz). Los resultados de esta operación son resumidos en la siguiente tabla.

f (La)	α	$\lg[\alpha/360] = A$	A/π	$\alpha/360$
431.8588	19269507.30	15.70796	5	53526.41
215.9294	2183519.06	12.56637	4	6065.33
107.9647	247224.88	9.7248	3	687.29
53.98235	28036.58	6.2831	2	77.88
26.991175	3176.99	3.14159	1	8.82498
13.49558	360.00	0	0	1
6.74779	40.79	-3.14159	-1	0.11331

A continuación, se muestra una tabla análoga calculada en los correspondientes valores de los Do:

f (Do)	α	$\lg[\alpha/360] = A$	A/π	$\alpha/360$
256.7848	376344.41	13.3518	4.25	10454.01
128.3924	426453.70	10.2102	3.25	1184.59
64.1962	48323.49	7.0686	2.25	134.23
32.0981	5475.76	3.9270	1.25	15.21
16.04905	620.48	0.5853	0.25	1.7235
8.024525	70.31	-2.3562	-0.75	0.1953
4.0122625	7.97-	-5.4977	-1.75	0.022131

La estrecha relación entre los valores de Pi griego en la cuarta columna (exacto hasta las cifras que podemos controlar) le dan una validez irrefutable a nuestra relación angular. Por lo tanto, existe una estrecha relación entre frecuencias musicales (y todas las demás frecuencias existentes) y valores angulares precisamente definibles en términos de múltiplos de Pi griego. La relación utilizada para estos datos entre el La y el Do de la misma octava ha sido elegida igual a 1.68179 que es el valor previsto para la geometría evideónica.
El valor de referencia ha sido el número 13.4955, que, si por un lado imita el valor de 13.4982 de la tabla de las frecuencias, anteriormente mostrada, por el otro lado está en perfecta sintonía con el número 13.5 que representa la unidad energética cuantizada adimensional del eje de la energía. Recapitulando, ahora tenemos a disposición algunos algoritmos que permitan, por un lado, describir el mundo evideónico en función de Pi griego; Sección áurea, frecuencia de Ánima, Mente y Espíritu, pero también tenemos una tabla de conversión de números evideónicos en ángulos, dentro del mundo evideónico o sólo sobre el plano espacio-temporal.

$$\pi^{f_{108}} = \Phi^2$$

$$[f_m]^2 = \Phi 2^{2\pi}$$

$$\pi \Phi^{1/2} = 4$$

$$2^{\pi} f_v = [f_{12}]^{\pi}$$

$$[f_{12}]^{\pi} = \alpha \pi^2$$

$$0.828 f_v = \alpha + 256$$

Además, se destaca que las fuertes correlaciones entre números y ángulos a menudo se hacen notar de manera no ambigua, sobre todo con los valores de la tangente del ángulo α . Por ejemplo, el valor de la tangente de 45 grados expresada en radianes es igual a Φ , la tangente al cuadrado de 108 es idéntica al cuadrado del valor de la tangente para un ángulo igual a 432 y la tangente al cuadrado de un ángulo de 60 grados es exactamente igual a 3 mientras la relación entre la tangente de 108 dividido por la tangente de 36 es igual a la Sección áurea (ver después).

Relaciones entre frecuencias sonoras y frecuencias de espacio, tiempo y energía.

Como recalcamos anteriormente, en el universo evidéonico no existen números dimensionados, sino que todo es geometría angular. Sin embargo, definimos "inadecuadamente" los vectores de espacio, tiempo y energía como frecuencias porque esos, según nosotros, proyectados en el espacio-tiempo se comportan como tales. De hecho, se destaca que, si no fuera así no existirían vínculos numéricos entre las frecuencias de la música a 432 Hz y esos números evidéonicos. Por ejemplo:

$$126/1.618033 = 2^{2\pi} \text{ con } 126 = 3^2+9^2+6^2$$

$$256/432 = (9.63/8.12)/2$$

$$360/256 = [8.12 \times 11.22 / (13.46 \times 9.63)]^2$$

$$360/432 = 11.22/13.46$$

Por lo tanto, las frecuencias derivadas de los vectores puestos en los ejes espaciales, temporales y energéticos están en relación entre sí con las frecuencias sonoras ligadas a los 432 Hz y al valor del ángulo igual a 360 grados, pero no solo eso. La relación f_a/f_s con $f_a = 8.1240$ y $f_s = 9.63(5)$ vale 0.842424 que duplicado, proporciona el número 1.6848470 que, comparado con el valor de la relación La/Do de la escala adoptada por nosotros, es definitivamente sobreponible a la escala temperada a 432 Hz, que entrega un valor de $431.8588/256.7848 = 1.68179$. En otras palabras, los vectores ánima y espíritu, si fueran notas musicales, lo serían en una relación casi idéntica a dos notas distanciadas entre sí de 6 semitonos (espacios en el teclado). (Observar la semejanza entre 1.6876, dada en la tabla del

cálculo de la energía de la partícula en la caja monodimensional, cuando n=8 y 1.6848 se obtienen aquí. Eso hace pensar realmente que el universo se manifiesta como un verdadero fractal).
 Como prueba adicional de que las ecuaciones escritas tienen un alto contenido de realidad, podemos utilizarlas al contrario para calcular, en base a los números evideónicos, los valores de constantes como Pi griego. De hecho, sabiendo que:

$$(\phi)^{1/2}\pi = 4$$

$$\Pi^{Fa/Fs} = \phi^2$$

De estas dos fórmulas con oportunas medidas triviales se evidencia que:

$$\Pi^{(4+Fa/Fs)} = 256$$

Es decir:

$$4.84375lg\pi = 8$$

con Fa = 8.13 e Fs = 9.63(5), el valor de Pi griego se vuelve igual a 3.14184694878247 con una exactitud del 99.992% respecto al valor original, comúnmente aceptado para esa constante.

Un ejemplo de cómo servirse de esta fórmula.

Intentemos transformar los valores de las "pseudo frecuencias" de ánima, mente y espíritu en valores de frecuencias reales registrables en el plano espacio-temporal y entonces relacionables con verdaderos valores en Hz.
 Con la formula $2^{\pi}F_v = [f_{Hz}]^{\pi}$ obtenemos que:

$$\text{con } F_v = 11.22497 \text{ fm} = 4.31831$$

$$\text{con } F_v = 9.64365 \text{ fs} = 4.11456$$

$$\text{con } F_v = 8.12403 \text{ fa} = 3.89600$$

con las relaciones

$$f_m/f_s = 1.049519$$

$$f_s/f_a = 1.056098$$

que utilizan la formula $[f_{Hz}]^{\pi} = \alpha\pi^2$

proporcionan los siguientes valores de α :

$$\alpha_m = 10.04$$

$$\alpha_s = 8.62$$

$$\alpha_a = 7.26$$

donde "quizás para un caso"

$$10.04x8,62x7.26/100=2x3.14157624=2\pi$$

con una aproximación igual al 99.9995%.

Para transformar directamente frecuencias evideónicas en ángulos se usa la siguiente expresión, sacada de triviales sustituciones de los algoritmos ya citados anteriormente:

$$F_v = \alpha[\pi^2/2^\pi]$$

Observando que el producto entre los tres ángulos relativos a las frecuencias vectoriales de espacio, tiempo y energía entregaba un número interesante, pensamos en verificar si también los productos de las frecuencias F_v podían dar algún número significativamente importante. El resultado fue el siguiente:

$$F_a \times F_m \times F_s = 3.891 \times 4.318 \times 4.114 = 69.11503837$$

pero lo interesante es que:

$$69.11503837 = e^{\Phi^3} = \pi 22 = \pi[396/18]$$

Los valores de Pi griego y Sección áurea son extremadamente precisos y su precisión es desconcertante, teniendo presente que las diferencias que se pueden encontrar en las aproximaciones se deben al tipo de calculador utilizado, pero no depende intrínsecamente de la naturaleza del algoritmo evidenciado.

Se deben decir dos cosas para comprender el significado del número 22 que aparece en estos algoritmos.

Desde un punto de vista simbólico, el 22 es un número arquetípico histórica y esotéricamente importante (recuerdo que la fórmula de los arquetipos es $3n + 1$, donde en este caso $n = 7$; ver el artículo titulado Arquetipos, del mismo autor) pero desde un punto de vista evideónico el 22 nace de una relación entre otros dos números significativos que son el 396, número que representa el color magenta y el vector de la energía ($3^2 + 9^2 + 6^2$), mientras que 18 son las subdivisiones cuantizadas del eje de la energía ($13.5 \times 18 = 243$; N.d.A.). Si esta fórmula fuera una descripción del universo evideónico, esa aclararía cómo las frecuencias de espacio, tiempo y energía variarían al variar Pi griego que a su vez varia con la Sección áurea y con el valor de los vectores que caracterizan el semi-eje magenta que, en nuestro universo, en este instante, valen 3, 6 y 9 pero que estarían sujetos a cambios a medida que el toroide universal se aplana (vea Torus: aspectos toroidales del universo evideónico, del mismo autor). En este contexto, la fórmula final del Universo se expresaría así:

$$e^{\Phi^3} = \pi[XYZ/18]$$

donde X, Y, y Z son las cifras que componen el vector magenta cuya suma siempre debe valer 9 (por ejemplo, cuando π vale 3.30 y Φ tiende al valor 1.44 XYZ se vuelve 108; N.d.A.).

Algunas observaciones fundamentales.

Del análisis de las observaciones de los valores numéricos hasta aquí expuestos, brotaban algunas consideraciones que presentamos por puntos a continuación:

- Nos damos cuenta de que el término que multiplica el ángulo alfa $[\pi^2/2^\pi]$ depende del valor de Pi griego, que, a su vez, depende del instante en el que estamos examinando el Universo evideónico.
- Ese valor en este instante vale 1.11837158 pero su raíz cuadrada asume el valor de 1.05753 cuyo logaritmo de base dos vale 0.0806998.
- Partiendo de esta simple observación parecía que existía una relación entre el término $[\pi^2/2^\pi]^{1/2}$ que tiende al valor $2^{1/12}$ igual a $2^{13.5/162}$.

- El término $[\pi^2/2^\pi]$ parecía tener un valor casi igual al término $(5)^{1/2}/2$ (que vale 1.118034) y que encontramos en una fórmula matemática que aproxima el valor de la sección áurea de forma $(1+[5]^{1/2})/2$, con $\Phi = 1.618033$.
- El valor de Pi griego, que varía según la forma del universo en su evolución, de esfera a, esferoide, a toroide, y de nuevo a esfera, varia con la sección aurea y en consecuencia con los valores de las frecuencias vectoriales de ánima, mente y espíritu que permanecen iguales por todo el recorrido espacio-temporal evidéonico pero que serán calculadas en el plano espacio-temporal de modo diferente porque los valores de Pi griego cambian.

Todo eso nos llevaba a suponer que existía una relación del tipo:

$$2^{\phi/10} \cong [\pi^2/2^\pi]$$

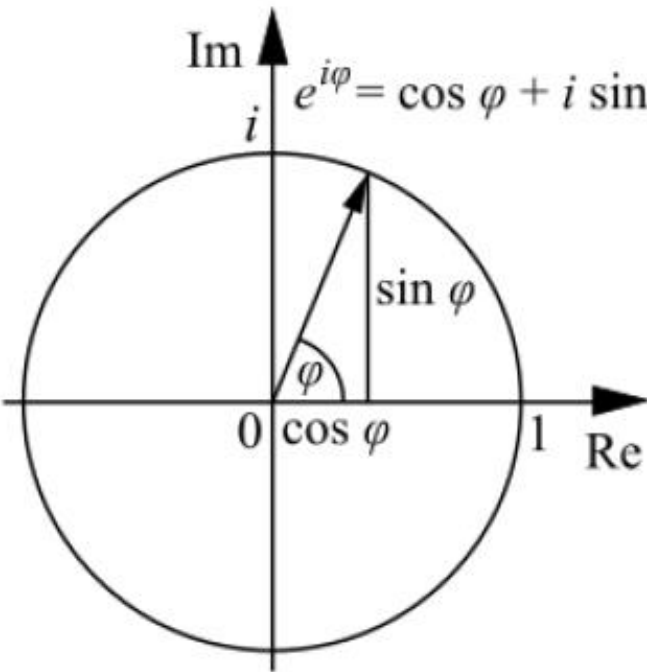
Bueno, esa ecuación resulta suficientemente aproximada, imponiéndole a los valores de la Sección áurea y Pi griego que respeten la ecuación ya identificada del tipo $(\phi)^{1/2}\pi = 4$, para los valores de las dos variables incluidas en el rango previsto para la existencia de este Universo. Por ejemplo, imponiéndole a Pi griego su valor actual obtenemos para el término izquierdo el valor de 1.1186 contra el término derecho que vale 1.1184. Al inicio del universo evidéonico cuando Pi griego valía 3, la sección aurea tendía al valor de 1.7 y al final cuando la sección áurea vale 1.44, Pi griego tiende a 3.33.

Relación entre π y el número de Neper.

Neper fue un matemático del 1600 al que se le asocia un número que lleva su nombre y que es la base de los logaritmos naturales. Ese número irracional fue relacionado por otro matemático, Euler, unos cien años después, con la definición de Pi griego a través de una relación de este tipo:

$$e^{i\pi}+1 = 0$$

que representa la definición más acertada de Pi griego actualmente. Por lo tanto, relacionar estos dos importantes números entre sí, dentro de la geometría evidéonica era importante.



Debe decirse que existe una relación que vincula a Pi griego con el mundo evidéonico, con la medida de la entropía y con el número de Neper. De hecho, imponiéndole a una esfera puesta en el espacio correspondiente a una cinta de Moebius de área igual a 84 unidades evidéónicas, que imita el universo evidéonico (Torus aspectos toroidales del universo evidéonico, del mismo autor), y admitiendo que su volumen es 84 podremos escribir que:

$$4/3\pi r^3 = 84$$

podremos calcular el radio de la esfera que representa el espacio como lo conocemos comúnmente. Bueno, el radio calculado asume el valor de 2.716836848 que representa justamente el numero e (2.718281828) con una precisión del 99.95% (el error de 0.05% es, según nosotros, atribuible al valor de la fracción 4/3 que representa el valor de la relación en-

tre los ejes de la energía y del espacio-tiempo 324/243 donde es siempre el eje de la energía que hace oscilar su valor 243. N.d.A).

Además, se recuerda que la fórmula de Euler pone en relevancia la presencia de números imaginarios ($i = -1^{1/2}$) que podían, por un tiempo, ser utilizados para describir la energía negativa del anti-fotón pero que hoy son mejor expresados por la matemática isodual de Santilli (ver bibliografía).

El Universo Evidéonico y la frecuencia de Schumann.

El fenómeno de la resonancia está ligado a una frecuencia que interactúa con el ambiente en la que se encuentra, y en particular, es una condición física que se verifica cuando un sistema oscilante forzado es sometido a frecuencias frecuentes iguales a la oscilación del sistema mismo. [https://it.wikipedia.org/wiki/Risonanza_\(fisica\)](https://it.wikipedia.org/wiki/Risonanza_(fisica)).

En particular, por ejemplo, la resonancia de Schumann es un fenómeno que tiene como resultado la verificación de la medida de una frecuencia en la atmósfera de nuestro planeta alrededor de 8Hz determinada, como dicen las fuentes oficiales, por descargas de rayos en la atmósfera. La ionósfera representaría una especie de cavidad esférica donde los rayos provocarían esta resonancia.

La fórmula para calcular la resonancia en una cavidad esférica es dada por:

$$f_n = \frac{c}{2\pi a} \sqrt{n(n+1)}$$

donde f representa una frecuencia, c es la velocidad de la luz y a es el radio de la esfera hueca en donde se produce la resonancia y n es el enésimo tono de la vibración respecto a esa base. https://es.wikipedia.org/wiki/Resonancia_Schumann.

Pero si analizamos la fórmula general del Evideon que pone en relación la frecuencia base con los parámetros de las principales constantes universales, nos damos cuenta de la fuerte analogía entre esta descripción y la fórmula de esfera resonante.

$$13.5 = \alpha^{-1}/(2\phi\pi)$$

esa fórmula también puede ser escrita así:

$$13.5 = 111/(\pi\phi^2)$$

(para los valores de la constante de estructura fina igual a 137.037 y la Sección áurea igual a 1.6180), nos dice que nuestro universo evidéonico puede ser comparado con una esfera de frecuencia resonante en unidades evidéónicas iguales a 13.5. Pero las sorpresas todavía no terminan.

De hecho, afirmar que el universo evidéonico es una esfera resonante también significa decir que:

$$\alpha^{-1} = c [n(n+1)]^{1/2}$$

y esto es válido solo si $[n(n+1)]^{1/2}$ asume cuando c es 300, el valor 0.456789 cuyo cuadrado vale 0.2086562 que es verificado solo cuando n^2 asume los valores precisos de la raíz cuadrada de $\pi/100$ y $-\pi$ (la ecuación es verificada por $n = 0.11724$ y -1.1724)

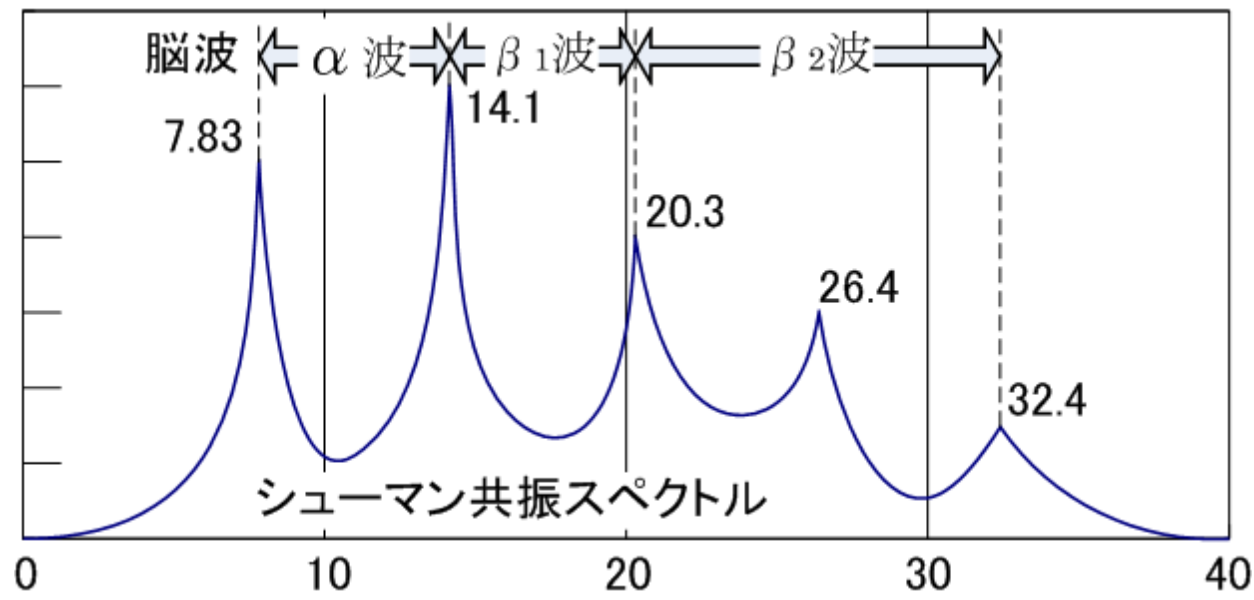
$$[n(n+1)] = \pi/100 + \pi^{1/2}/10$$

estableciendo una clara y unívoca relación entre la constante de estructura fina del universo, que representa la velocidad de la luz en unidades de masa atómica y la misma velocidad en el sistema c.g.s.

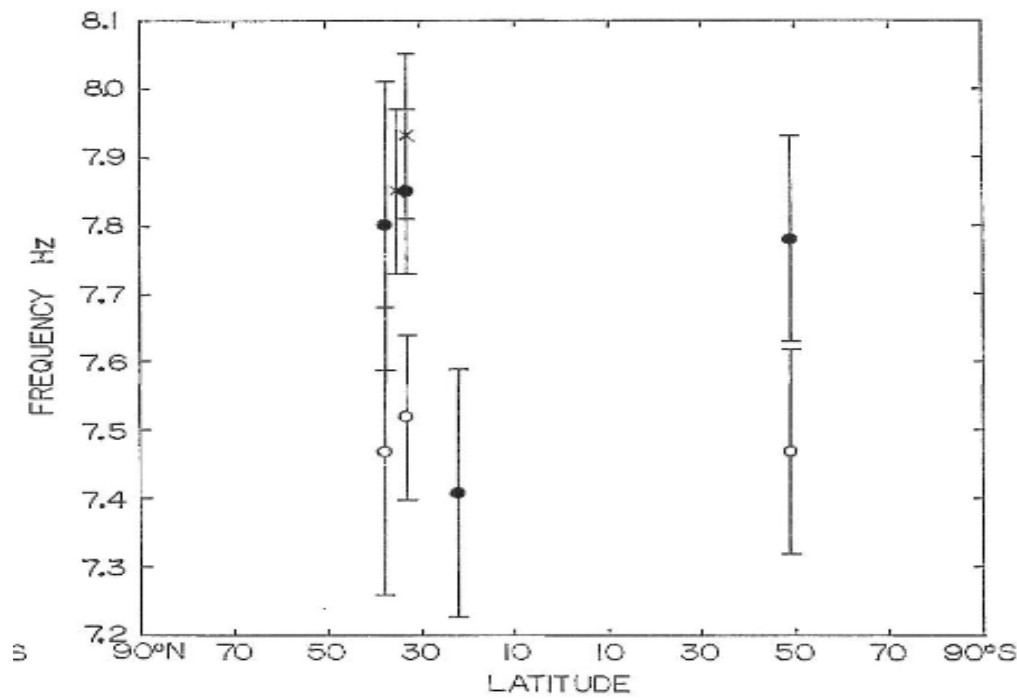
Ese resultado pone en evidencia que una vez más se comprende que el universo evidéonico representa una cavidad resonante cuya frecuencia fundamental puede ser expresada por el número puro 13.5 (que se expresa en Hz cuando la sección áurea es una distancia y c una velocidad) y cuyos sobretonos están ligados al valor de π . Por otra parte, multiplicando los distintos F_x de espacio, tiempo y energía no se hace más que confirmar lo expuesto arriba.

Rarezas de la frecuencia de Schumann e interferencia con las frecuencias evidéonicas.
Si el universo es un fractal entonces todo el Evideon se comporta como una esfera hueca y la atmósfera terrestre no es una excepción manifestando valores de frecuencia de Schumann de cierto tipo.

Los datos confiables de esta frecuencia son reportados en este artículo científico https://www.jstage.jst.go.jp/pub/pdfpreview/jgg1949/19/4_19_4_377.jpg, esta frecuencia presenta picos cuyos valores medios son representados por la siguiente figura:



En realidad, estos valores varían en base al hecho de que diversas zonas de la Tierra no son homogéneamente definibles (no vivimos en una cavidad perfectamente esférica) y, por otra parte, estos valores son sometidos a oscilaciones estadísticas ligadas a la reproducibilidad del fenómeno que produce la resonancia (los rayos).
Así tenemos valores no bien definidos, excepto en un rango medido precisamente por los autores del artículo.



Se puede notar que el sobretono más alto mide 32.4 Hz y se distancia 6 Hz del segundo sobretono que a su vez se distancia siempre 6 Hz del siguiente hasta llegar al valor de 14.1 Hz. En cambio, después de mostrar un valor de unos 8 Hz, mostrado por algunos autores (8.13 Hz y superiores <http://onlinelibrary.wiley.com/doi/10.1029/2002JA009305/full>), obtenemos valores medios más bajos. Los números medidos son todos números evidéonicos excepto el último que además parece ser el más elevado energéticamente.

El problema del porqué nos interesamos en este valor es porque ese está en el rango de interferencia con las frecuencias que calculamos para ánima, mente y espíritu y este tipo de frecuencia podría influir significativamente en el pensamiento humano como un fuerte portador que destruye las señales sobre los 8 Hz alterando la percepción del universo como nuestro cerebro lo percibe holográficamente. Una interesante relación numérica muestra que tal frecuencia es proporcional con la Sección áurea y nos permite escribir la siguiente igualdad:

$$f_{sc} [n (n + 1)] = \phi$$

y si esto correspondiera a la verdad, entonces podríamos escribir esto:

$$13.5 \times 2\pi [\phi]^{1/2} [f_{sc}]^{1/2} = c = 108 [f_{sc}]^{1/2}$$

Y resurgiendo el número 108 que une la velocidad de la luz (300) con la raíz cuadrada de la frecuencia de Schumann que asumiría el valor de 7.7160Hz.

De manera similar, usando la fórmula de la partícula en la caja vista anteriormente podríamos escribir la siguiente relación:

$$108 = (n\lambda)^2 L^2 = c / (f_{sc})^{1/2}$$

que con una relación (λ/L) igual a 1.484615, para $n = 7$, como se encontró antes, todavía da un valor de 7.716 Hz.

Si el universo evidéonico es fractálico, por lo tanto, la frecuencia de Schumann poseería todas las características para tener este último valor preciso.

Pero en este punto surgen serios problemas que tienen relación con el funcionamiento del cerebro humano o con la validez de algunos experimentos realizados "al aire" si así se puede decir, sin bloquear la interferencia de los 7 Hz de la frecuencia de Schumann que contaminaría ciertos experimentos.

Analicemos en orden los diferentes puntos.

Luc Montagnier, premio Nobel de medicina, publica tres trabajos sobre la memoria del agua (ver Torus: aspectos toroidales del universo evidéonico, del mismo autor). Los experimentos efectuados por Montagnier prevén transferir información de un lugar a otro, traspasando al lugar de llegada de la información, una "impresión" electromagnética de la información de partida, utilizando un campo a 7Hz, sin ninguna protección para la interferencia de Schumann.

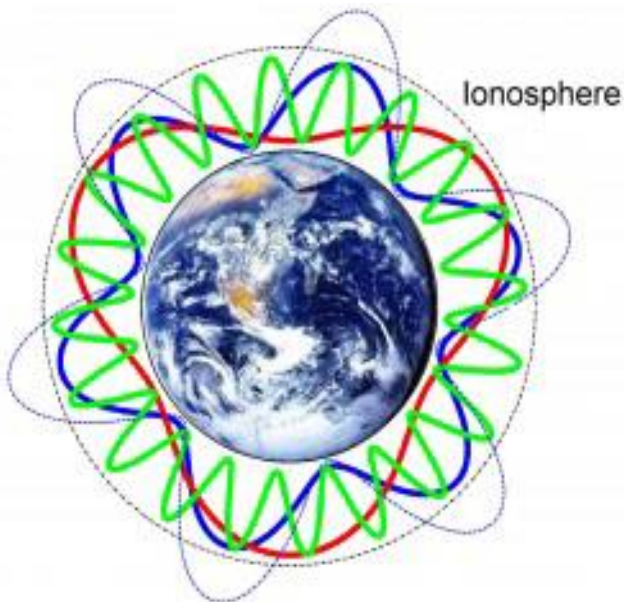
Montagnier obtiene resultados igualmente y, ya que no debemos dudar científicamente de eso, esto quiere decir dos cosas fundamentales: o la información pasa a través de un canal oculto que no puede ser interferido, o el campo a 7 Hz no es lo que transmite la información sino que es una variable oculta (<https://oggiscienza.it/2011/07/27/luc-colpisce-ancora/>).

Por un lado, si existe la necesidad de dudar fuertemente de la científicidad de los trabajos de Montagnier, por otra parte, existe la evidencia de una experimentación, que todavía no se puede repetir, que además demuestra que la transferencia de información existe y es factible.

Por otro lado, está el hecho de que la explicación de la frecuencia de Schumann ha sido atribuida a la presencia de unos dos mil rayos por segundo que cubren la atmósfera terrestre haciendo resonar la ionosfera.

Debe decirse que esta explicación tiene poco de científico porque se necesitaría saber lo que ocurre si no hubiera rayos y verificar si existe algún otro motivo que induce la resonancia de

Schumann, de lo contrario, no veo que pueda ser posible atribuirle con seguridad una causa a un efecto de este tipo.



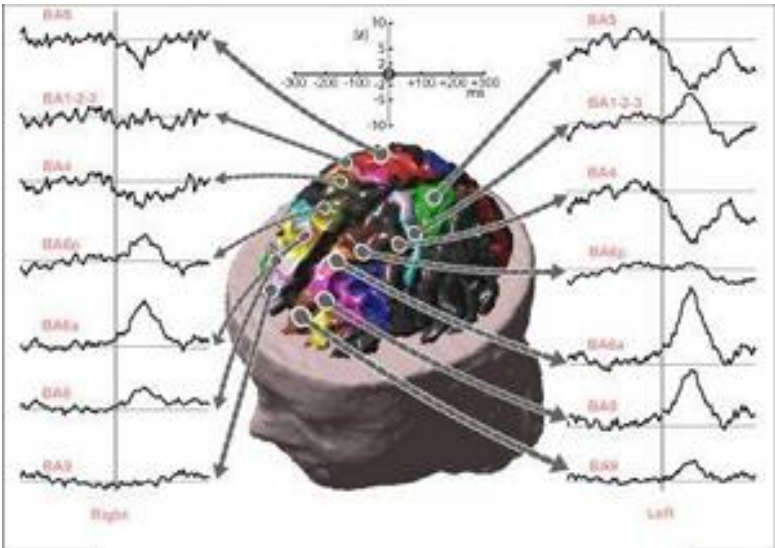
Obviamente no se puede esperar este tipo de prueba, pero se pueden hacer otras consideraciones. Por ejemplo, se descubre un detalle inquietante leyendo algunos reportes de la NASA: <http://www.meteoweb.eu/2011/12/rilevata-larisonanza-di-schuman-dallo-spazio/101414/>.

De hecho, la frecuencia de Schumann habría sido registrada fuera de la ionosfera en una misión de la NASA. Una verdadera sorpresa, desde el momento en que los actuales modelos de resonancia de Schumann esperan que estas ondas deban ser atrapadas

a altitudes más bajas, entre el suelo y un extracto de atmosfera terrestre llamado ionosfera. *"Los investigadores no esperaban observar estas resonancias en el espacio"*, afirma Fernando Simoes, un científico del NASA Goddard Space Flight Center de Greenbelt, en Maryland *"pero si se descubre que la energía está fugada, abre muchas otras posibilidades, hasta el estudio de nuestro planeta de arriba"*.

Para profundizar <http://www.meteoweb.eu/2011/12/rilevata-la-risonanza-di-schuman-dallospazio/101414/#f3oud152lb43R5e6.99>.

Por lo tanto, si una cavidad resonante libera la onda que resuena en su interior, esa no resuena más. ¿Por qué, en cambio, la frecuencia de Schumann persiste? Una explicación que podría resultar banal es que la frecuencia de Schumann no es provocada por cosas dentro de la ionosfera como los rayos, sino que viene de afuera, lo que obviamente permitiría que los aparatos de la NASA registraran su existencia fuera de la ionosfera.



El problema fundamental es comprender cómo influyen estas ondas en el pensamiento, la vida y la conciencia humana, visto que las frecuencias entre 0 y 12 Hz son fundamentales para el cerebro humano por lo que respecta a las ondas alfa, beta y, sobre todo, theta.

<http://sedonanomalies.weebly.com/sc-humannresonance.html>.

El cerebro humano tiende a resonar a frecuencias a las que es solicitado y estando inmerso en una capa de Schumann los 7 Hz invaden nuestro

cerebro. Parece así, a partir de los estudios Ankermuller que publicó un artículo en Technische Physik Journal, después de haberlo consultado con el mismo Schumann. <http://www.schumannresonator.com/>.

La new age también se ha apoderado del concepto de la frecuencia de Schumann que sería una medida de la conciencia humana. No se sabe cómo esta frecuencia debería cambiar dando una indicación de que nuestra conciencia aumenta, es decir, siempre en términos de la new age, asciende (? : N.d.A) y todo esto sería condimentado con la idea de que los polos de nuestro planeta invertirán su posición.

Pero la realidad parece más bien otra. La conciencia es una constante y no puede ascender, la adquisición de conciencia aumenta descendiendo a los niveles cuánticos más bajos de

nuestro universo y ya que la entropía siempre aumenta ni siquiera es posible subir a la conciencia primordial que mientras tanto, en cambio, adquiere conciencia de sí.

Además, las variaciones en la frecuencia de Schumann dependen de múltiples factores y son fluctuantes.

¿Y si la frecuencia de Schumann fuera provocada por causas externas?

Si esto fuera cierto debería haber algún objeto que irradia nuestro planeta con esta frecuencia de manera continua.

En efecto, el único lugar bastante cercano a nuestro planeta que podría ser adaptado para contener una antena o algo similar para obtener este resultado sería la Luna.

- De hecho, la luna no pertenece al sistema solar, como confirmarían los análisis isotópicos efectuados en el material obtenido de las expediciones lunares.
- Según los antiguos calendarios Maya, y las antiguas leyendas, la Luna antes no existía. (<http://www.progettoatlanticus.net/2014/02/quando-la-luna-non-cera.html>), Además, parece que distintos astronautas que han puesto pie sobre la Luna han muerto a causa de las radiaciones del suelo lunar, tanto así que la NASA está estudiando para el futuro, nuevos tipos de calzado para evitar este problema: (<http://www.mondouomo.net/astronauti-lunari-morti-per-problemi-cardiaciradiazioni-letali/>).
- La Luna siempre muestra la misma cara hacia la Tierra.
- La luna irradia neutrones, al menos así dice la NASA: (https://science.nasa.gov/science-news/science-at-nasa/2005/08sep_radioactivemoon/).
- La luna gira hacia nosotros siempre la misma cara ya que no es homogénea en su interior y mostraría el lado más "pesado" hacia la Tierra por problemas de gravedad.
- En términos probabilísticos, el hecho de que exista un satélite natural que establemente muestre siempre el mismo lado hacia su planeta madre es igual a una millonésima de millones.

Obviamente todo puede ocurrir y también lo casi totalmente improbable tiene una probabilidad de existir, pequeña para complacer y más grande que cero.

En breve veremos que esta disertación aparentemente fuera de tema tomará forma y servirá para entender cosas que hasta ahora no se habían considerado. Desde un punto de vista consciencial, ahora tenemos la certeza de que la frecuencia de Schumann no es aquella que debiera ser teóricamente, es decir, 7.716 Hz según nosotros. Es fácil verificar que esta frecuencia contiene información de la Sección áurea.

De hecho, basta buscar los sobretonos ligados a esta frecuencia base multiplicándola siempre por 2 como ocurre con las notas de un piano al que se le quiere calcular la próxima octava:

$$7.716 \times 2 = 15.432 \text{ cuyo inverso vale } 0.0648 = \phi/25$$

$$15.432 \times 2 = 30.864 \text{ cuyo inverso vale } 0.0324 = \phi/50$$

$$30.864 \times 2 = 61.728 \text{ cuyo inverso vale } 0.016200 = \phi/100$$

$$61.728 \times 2 = 123.456 \text{ cuyo inverso vale } 0.008100 = \phi/200$$

Por lo tanto, la frecuencia de Schumann, de acuerdo a este tipo de impostación, sería aumentada respecto a los cánones esperados para un universo perfectamente evidéonico, de 0,1 Hz, cantidad seguramente pequeña pero importante a nivel de los valores de las frecuencias de ánima, mente y espíritu, lo que no permitiría una perfecta armonía de la adquisición de conciencia de los componentes de la tríada.

Toroides e información.

Todo lo que hemos descrito hasta ahora en términos de cuántica, de sonido, de resonancia es fundamentalmente para comprender cómo es transferida la información en nuestro universo virtual. <http://www.trigunamedia.com/geosound/index.htm>

El medio de transferencia de la información está ligado a la forma de la información. El término información deriva de acción en forma o forma en acción que se vuelven sinónimos de lo que realmente ocurre.

Desde un punto de vista entrópico, la información no es más que el valor de la entropía termodinámica cambiada de signo.

Mejor aún, la información es la forma que se le asigna a la variación de entropía durante la información misma.

Aún más vulgarmente:

Siendo que la entropía depende de la forma de la superficie del lugar de puntos espacio-temporales que contienen la información, podemos deducir que la información dependerá de la forma de la superficie de la onda que constituye la vibración correspondiente a la información misma.

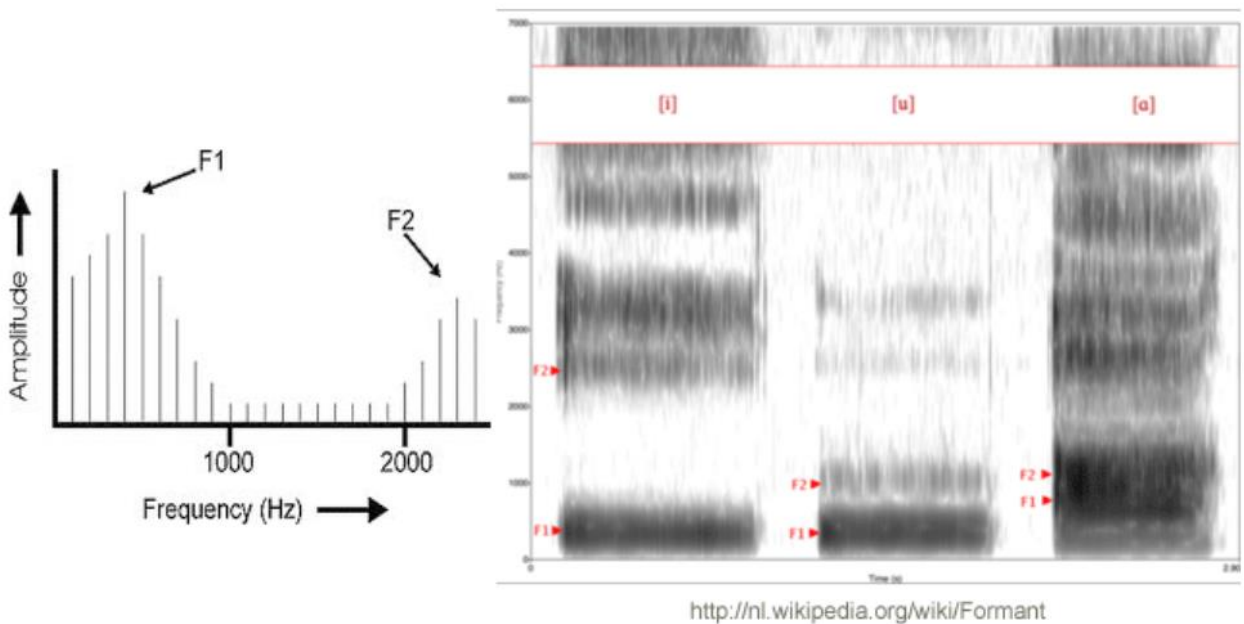
Bueno, si el universo es un fractal toda la información tendrá la misma naturaleza vibratoria y será caracterizado por una onda correspondiente a una superficie de forma toroidal que se construye en el espacio-tiempo, con una energía precisa.

Por ejemplo, analicemos, desde un punto de vista fonético, la información vocal entre dos seres humanos.

El lenguaje humano está constituido por sonidos caracterizados por frecuencias oportunas. Del estudio fonémico del lenguaje y, según las reglas del IPA (International Phonetic Association), si analizamos las diez principales vocalizaciones, en las distintas lenguas del planeta, descubrimos que cada vocal se caracteriza por la emisión de una onda que tiene la forma de un toroide.

Este toroide está a su vez caracterizado por dos picos de frecuencia llamados formantes (F1 y F2), a menudo expresados en Hz.

La relación entre estos formantes produce en el espacio y en el tiempo la construcción de un toroide cuya superficie contiene en realidad la verdadera información.

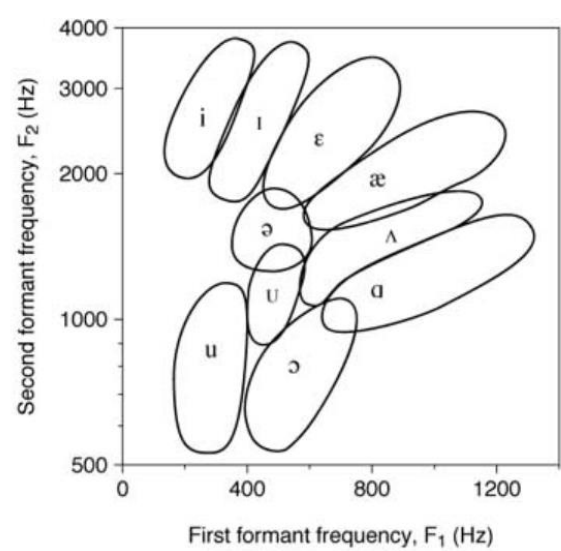


<http://nl.wikipedia.org/wiki/Formant>

El elenco de las diez principales vocales en términos frecuenciales es presentado a continuación.

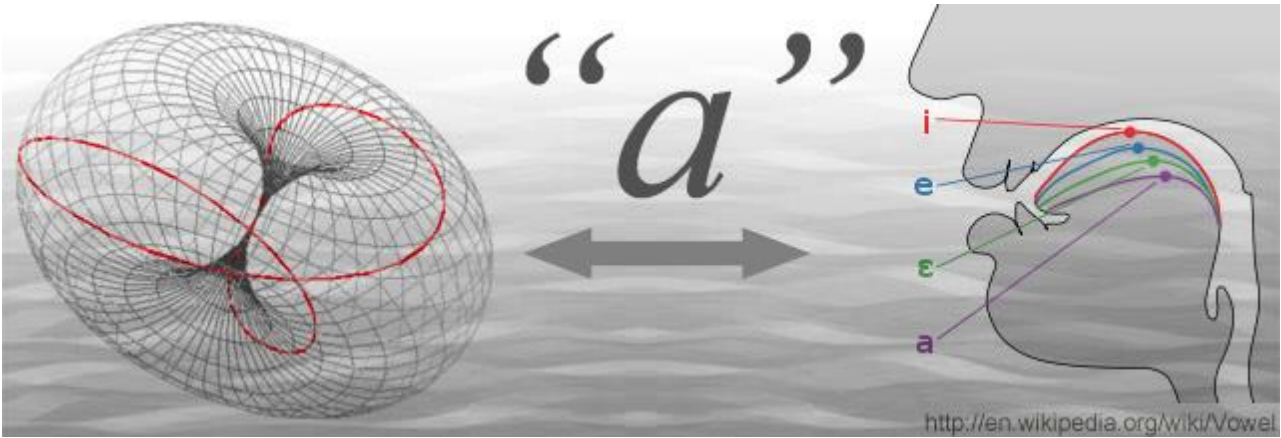
Vowel (IPA)	F1 (apprx.)	F2 (apprx.)	English	German	Dutch
ɑ	860	1216	spa	Tag (day)	bad (bath)
ɔ	630	891	bore	-	-
o	412	824	row	Kohl (cabbage)	kool (cabbage)
u	278	681	boot	Fuß (foot)	voet (foot)
ɛ	765	1874	bed	Bett (bed)	bed (bed)
ə	572	1401	fur	bitte (please)	-
ə	390	1351	bird (Aus.)	-	deuk (dent)
ü	254	1391	euphoria	für (for)	buur (neighbour)
e	400	2191	play (N.Am.)	Seele (soul)	vreemd (strange)
i	285	2704	free	Ziel (goal)	biet (beet)

Los valores de F1 y F2 han sido oportunamente graficados para la obtención de formas toroidales precisas.



<http://www.ncvs.org/ncvs/tutorials/voiceprod/tutorial/filter.html>

Estos toroides tienen un eje de rotación en el espacio y todo el sistema constituye un sistema resonante. <http://science.trigunamedia.com/geosound/>



<http://en.wikipedia.org/wiki/Vowel>

El resultado fundamental de esta investigación que cada uno puede verificar por sí mismo, utilizando oportunos softwares descargables gratuitamente en la red (<http://www.fon.hum.uva.nl/praat/>), lleva a concluir que no es tanto el significado de la palabra en sí que lleva la información sino que está más profundamente relacionado con el tipo de

geometría de superficie toroidal que constituye la onda en resonancia con los dos formantes F1 y F2.

En palabras más simples, la comunicación oral sería concebida y comprendida por el cerebro, lector de la virtualidad, como analizador de la superficie toroidal de la comunicación misma. Desde este punto de vista, no tendría ninguna importancia la lengua que se hable; si se usan sonidos arquetipales, esos serán comprendidos indistintamente por todos, ya sean hombres, alienígenas, animales u otros.

Se puede tratar de transmitir información a un gato, por ejemplo, que comprende el sonido de la voz y no de aquello que se le dice y análogamente eso, viceversa, nos ocurre a nosotros cuando escuchamos a un gato. El toroide es analizado por el cerebro y reconocido transformando la forma de onda toroidal "giratoria" en la información que le corresponde.

Si se logra transmitir la información toroidal al cerebro humano sin necesidad de fonemizarla, se obtendría el mismo resultado con la suma de que, cualquier lengua que se utilice, el sujeto siempre comprendería lo mismo.

La forma de onda que emite nuestra cavidad oral que asume la identidad geométrica de un toroide también se encuentra en el juego que los delfines hacen con las burbujas de aire.



Así como un fumador se divierte al obtener los mismos resultados con una nube de humo de cigarrillo.

Otras observaciones sobre fenómenos ufológicos paranormales y toroides.

Todavía debemos observar algunas interesantes relaciones existentes entre la observación de fenómenos ufológicos, como el análisis de algunos objetos voladores no identificados y la observación de fotos que muestran movimientos de objetos durante experimentos de telekinesis, reportadas en la literatura.

Descubriremos que, al final de este camino, todos los datos acumulados hasta ahora nos permitirán obtener conclusiones absolutamente interesantes sobre el traspaso de la información y sobre el uso que podemos darle a todo eso, empleando sobre todo la adquisición de conciencia humana. Comenzamos analizando algunas fotos sacadas de varios archivos, representando hipotéticos ovnis en el cielo de nuestra atmósfera.

<http://www.treurniet.ca/physics/>. El Dr. Stoyan Sarg de la Universidad de Nueva York, Toronto, ha desarrollado interesantes teorías sobre física moderna y sobre los aspectos de la cuántica. En particular, también ha analizado muchas fotos de objetos voladores no identificados (OVNIS) y ha descubierto que en las cercanías del objeto se forman figuras toroidales.

A continuación, presentamos algunos de los ejemplos que aparecen en los artículos publicados por este científico. (Annual Meeting of the Society for Scientific Exploration, 2007.

<http://www.helical-structures.org/first-motion-exp.htm>).

Mostramos solo algunas de las imágenes analizados por Stoyan Sarg, pero en su sitio se pueden analizar decenas de casos que tienen en común el mismo tipo de efecto.

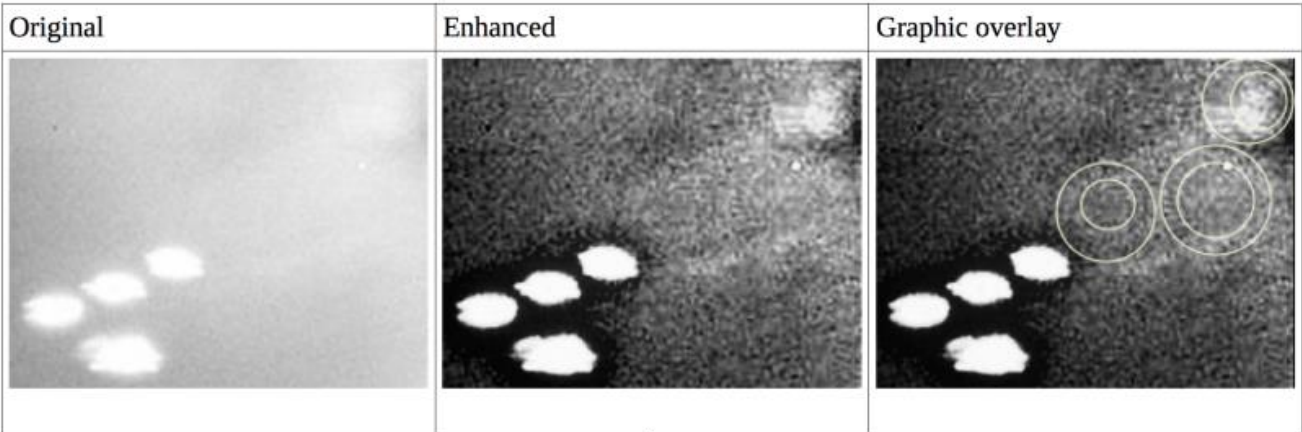


Figure 1. UFOs from Project Blue Book Case No. 1501, [Salem](#), 1952



Figure 9. Light refraction near a UFO over [South Dakota](#), 2010

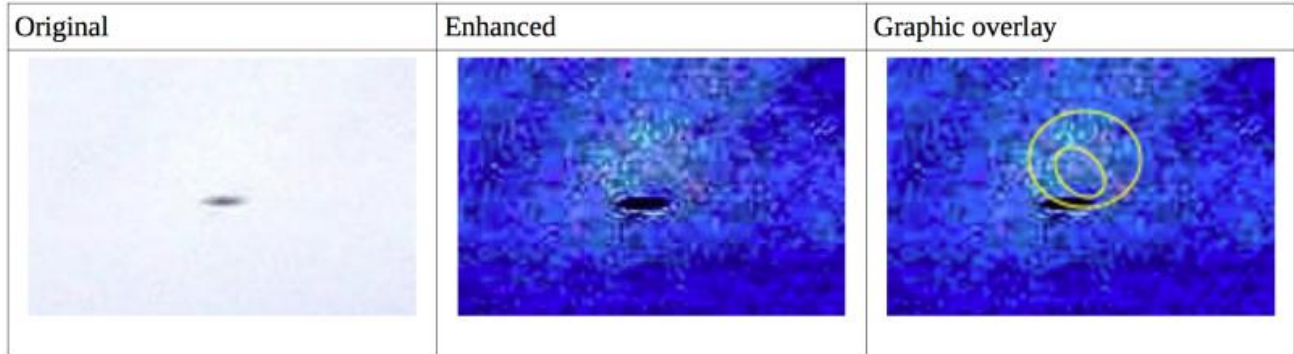


Figure 5. UFO over [Brazil](#), 2011

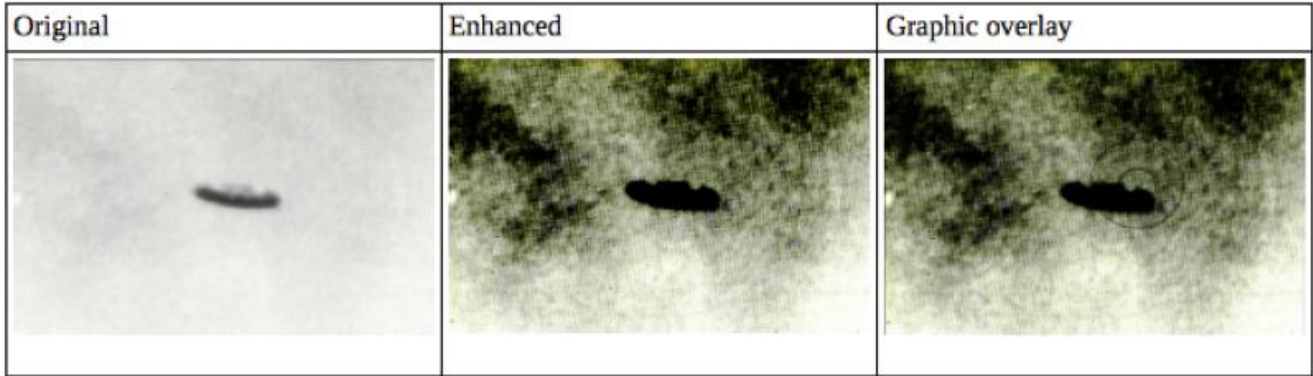


Figure 3. UFO photographed over [Torrance, California](#), 1967

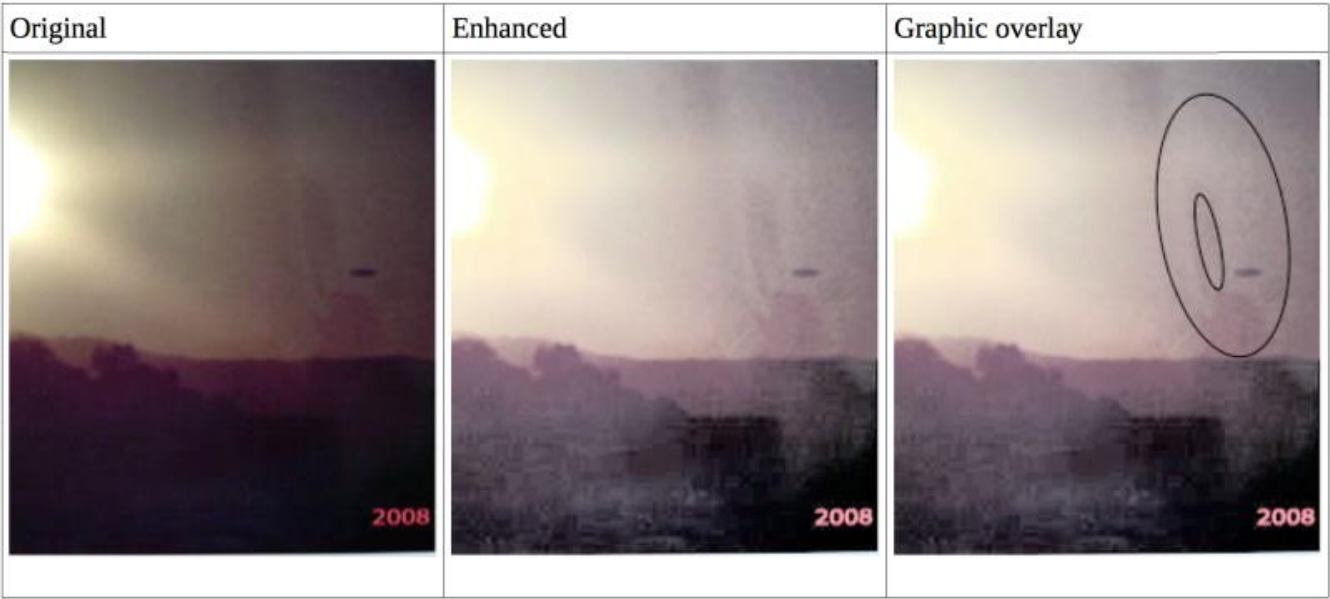
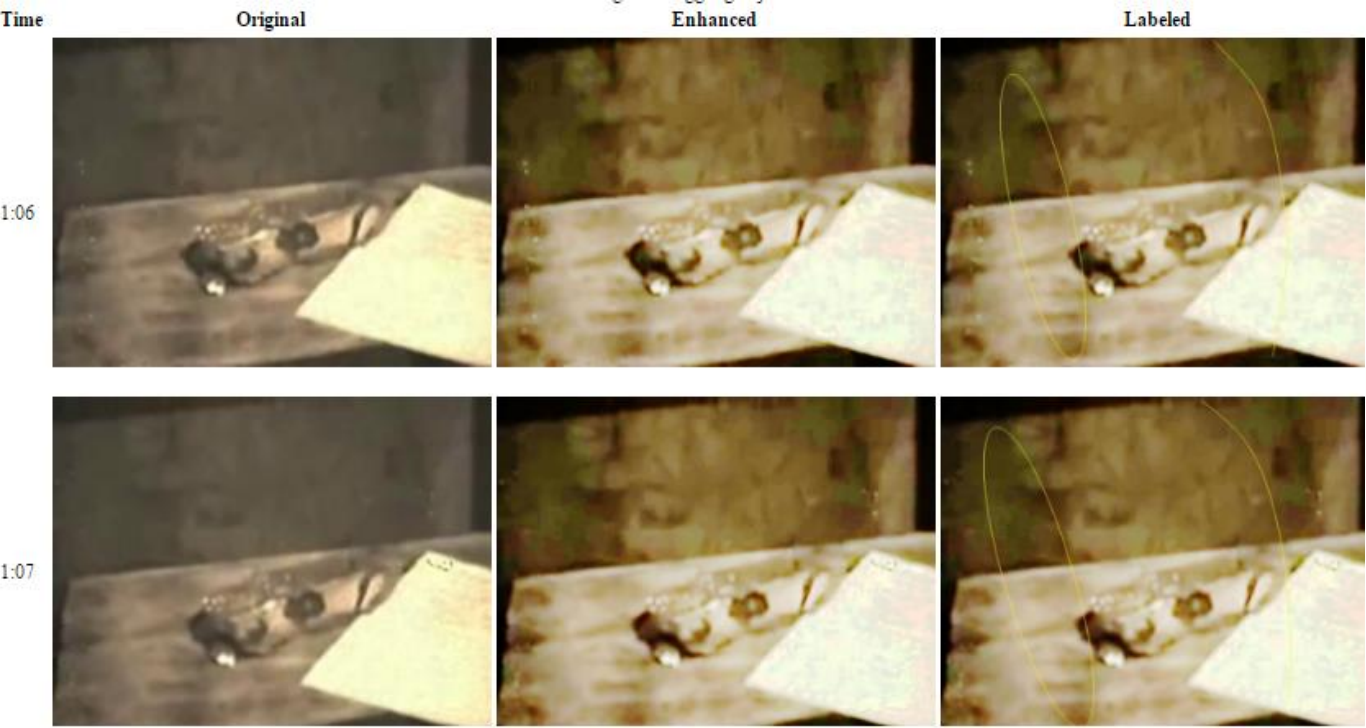
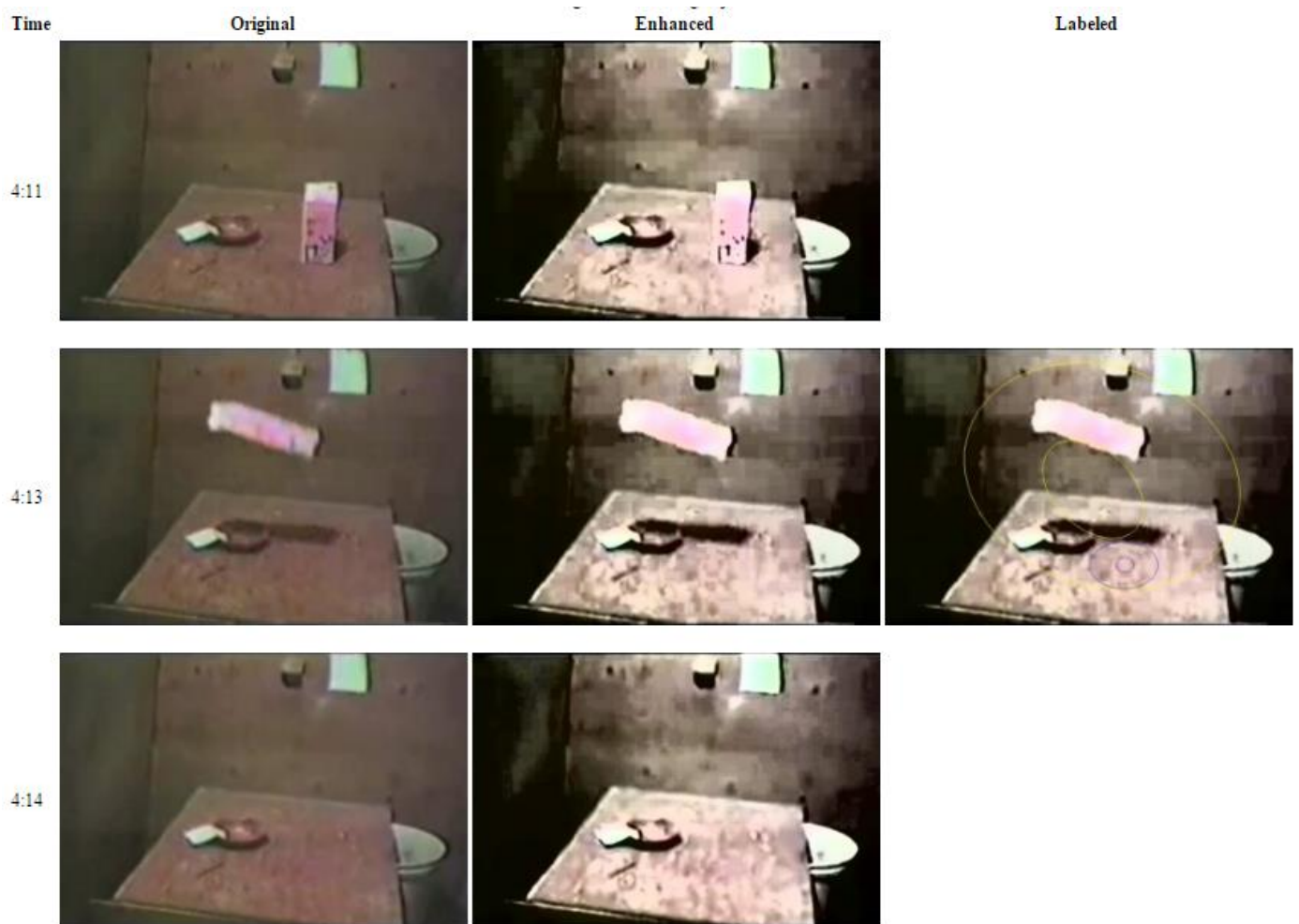


Figure 4. UFO over [North Canterbury](#), NZ, 2008

Pero no sólo eso.
Junto a este intrigante fenómeno también debemos asociar las fotos de algunos fenómenos de teletransportación, encontradas en la red, en donde se fotografía un objeto movido con la fuerza de poderosos campos electromagnéticos. <http://www.treurniet.ca/physics/hutch.htm>.



Este señor descubrió una serie de fenómenos (<http://www.treurniet.ca/physics/hutch.htm>) ligados a los campos electromagnéticos de Tesla y descubrió que las ondas electromagnéticas podían hacer levitar objetos. En esas circunstancias, las fotos tomadas durante los experimentos mostraban las mismas formas de toroides que se veían durante los fenómenos ufológicos.



Es importante decir que un objeto que se mueve en la realidad virtual representa una información, un *sprite*, dirían los expertos de informática, que se mueve de una zona de memoria del computador a otra, y este movimiento de información depende de algo que parece ligado a una forma toroidal.

Las fotos son tomadas a pocas décimas de segundo entre sí y muestran un pedazo de metal que, bajo el fuerte campo electromagnético, levita. Se puede notar que, en cierto instante, se hace visible una forma más o menos toroidal, como si estuviese sobreimpuesta en la película fotográfica.

Principio de transmisión de la información en el espacio-tiempo.

Es necesario comprender que la información no es más que algo relacionado con la adquisición de conciencia que impregna el universo. Zonas de universo con adquisición de conciencia baja se contactan con zonas de universo con adquisición de conciencia más alta y esa se expande. El proceso de expansión no es interpretado como un aumento de adquisición de conciencia, o de la entropía conectada con ella porque al final, la entropía no puede aumentar, sino que globalmente permanece constante.

Recordemos que, en nuestro semi-universo, es la toma de conciencia que aumenta y no la conciencia, es decir, la diferencia de entropía entre un instante y otro, porque la entropía siempre es cero.

Por lo tanto, la expansión de la información no corresponde a un aumento de la entropía sino a una propagación de sí misma, que como onda, se propaga en el universo. El todo corresponde a un enfriamiento de la temperatura general del universo porque al cero absoluto tendremos la adquisición de conciencia total.

La relación entre entropía, energía y temperatura es:

$$\Delta E / \Delta S = T_{uni}$$

donde T_{uni} es la temperatura unitaria del proceso para una energía y una entropía mínima posible, que en términos evideónicos valen 1.23 y 21 respectivamente. Multiplicando el primer y el segundo término para la temperatura absoluta igual a 273.17 Kelvin se obtiene:

$$(\Delta E/\Delta S)T_{ass} = T_{uni} \times T_{ass} \text{ es decir } (1.23/21)273.17 = 16$$
$$\Delta E = 16 \Delta S/T_{ass}$$

siendo que la energía es dada por la fórmula de Boltzmann, donde K_b es la homónima constante se tiene que

$$E = 3/2(K_b)T_{uni} = 16 \times 21/T_{ass}$$
$$K_b T_u T_{ass} = PV = 2/3 \times 16 \times 21 = 224$$

y porque T_{uni} es igual a 1 se obtiene que para la ley de Boyle de los gases perfectos $PV = KT$ el valor de 224 que representa los fatídicos 22.4 litros en condiciones estándar, cuyo volumen que ocupa un gas ideal a la presión unitaria, a 25 grados, considerándolo como un solo mol. https://es.wikipedia.org/wiki/Ley_de_Boyle-Mariotte. En este contexto, la T_{ass} representa un factor de conversión que contiene las unidades de medida porque todos los números evideónicos serían adimensionales, (T_{uni} incluida).

Nuevamente, los números evideónicos corresponden a los valores numéricos de las principales constantes de la física y se comprende que la temperatura, influyendo en la energía del sistema también influye en la información termodinámica del sistema mismo.

El Zero Point Energy (ZPE)

La termodinámica y la física impiden creer que se puede extraer energía de la nada. Por lo tanto, todas las máquinas que producirían energía de la nada, en realidad la tomarían de alguna parte.

Muchas máquinas de este tipo, publicitadas en la red, parecen hacer cosas excepcionales, pero cuando se van a construir siempre hay algo que impide su funcionamiento. Sobre todo, falta una teoría completamente necesaria para comprender su funcionamiento y, como bien sabemos, cuando falta una teoría que describa un fenómeno, la ciencia oficial tiende a decir que el fenómeno no existe. Eso ocurre porque la *forma mentis* del científico moderno espera que el fenómeno y la fórmula que lo describen sean la misma cosa, olvidándose de quien produce el efecto que, para nosotros, es la verdadera causa y efecto del fenómeno mismo. No existe ningún fenómeno si no existe una voluntad detrás de ese que lo ha producido. Análogamente, el médico italiano habla con la enfermedad, pero no con el enfermo que, según la medicina italiana prácticamente no existe, mientras que en realidad es la causa y el efecto de la enfermedad: es la enfermedad misma.

La teoría del ZPE, prevé que la nada y el todo son la misma cosa, de hecho, prevé que, si la materia y la antimateria conviven juntas, entonces no existe ningún efecto aparente. En este contexto, como recalcamos en Evidéon 3 (una publicación anterior del mismo autor), razonar en términos de ZPE, quiere decir, por un lado, destruir la existencia del principio de indeterminación de Heisenberg y, por el otro, admitir que el universo es un holograma dual, como admite la teoría evideónica.

Por lo tanto, el universo estaría lleno de partículas virtuales que se crean y se aniquilan en un mar cuántico de Evidéones en formación y en aniquilación.

Sería altamente probable que todo eso esté a la base de la radiación de fondo del universo y no un de un Big Bang que probablemente nunca ha existido, yendo contra todas las reglas de la termodinámica (de acuerdo, pero entonces las leyes de la física todavía no existían y, por lo tanto, también se podían no respetar: así dice la ciencia actual al tratar de explicar el sinsentido de un Big Bang: N.d.A).

Por ende, existen prototipos o, mucho antes, patentes que elogian la *free energy* o energía libre, según las cuales, la energía de costo cero, se originaría de algún agujero espacio-temporal.

Hay que destacar que la energía está ligada a la entropía y a su vez a la información, por lo tanto, no se puede extraer energía de la nada porque la entropía se vería afectada.

La historia de Pelizza, Majorana y la máquina para limpiar el planeta.

Pusimos nuestra atención en algunos de estos proyectos para verificar su factibilidad. El primer proyecto/patente que analizamos está relacionado con una historia fascinante e increíble.

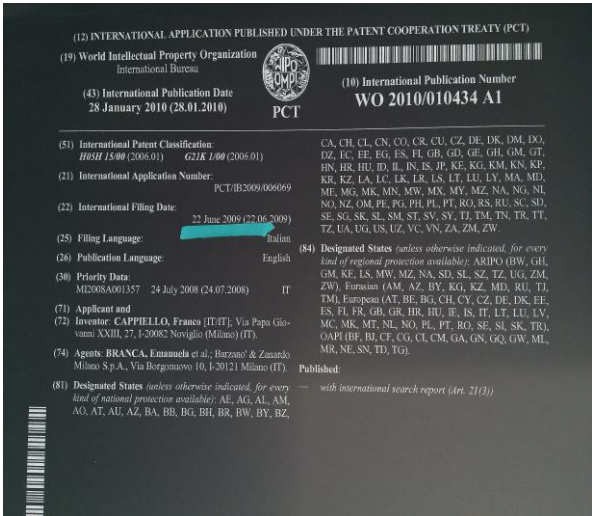
A través de una increíble historia el señor Rolando Pelizza, (<http://www.rinodistefano.com/it/documenti/piani-costruzione-macchina-pelizza.php>), habría conocido, hace muchos años atrás, encerrado en un convento en el sur de Italia a Ettore Majorana, y de él habría obtenido los primeros proyectos para construir una máquina que habría podido, según Pelizza, resolver los problemas del mundo.

<http://www.ilgiornale.it/news/politica/majorana-visse-convento-sud-italia-ecco-prove-1116241.html>

Los planos de esta máquina han sido publicados recientemente. La máquina, en los años anteriores, habría sido probada por expertos del gobierno italiano y americano. De las largas crónicas que se pueden encontrar en internet, de toda esta nebulosa historia, se puede encontrar algún punto firme. La máquina parece funcionar y como apoyo a todo eso existen testimonios de algunos agentes de los Servicios Secretos italianos encargados de analizar el proyecto, junto con los testimonios de algunos exponentes universitarios, sin contar algunos colaboradores de Pelizza que se han expuesto en ese sentido, mediante entrevistas públicas. Hemos podido analizar también a otros personajes de esta historia que jamás han sido expuestos pero que sabemos, han colaborado activamente con Pelizza al tratar de construir algunos prototipos de esta maquinaria. La máquina parecía tener algunos problemas relacionados con el hecho de que se podía usar una sola vez, luego la energía que se emitía de esa destruía la máquina misma, que ya no podía volver a ser utilizada. Después parece que se alcanzó un nivel de perfección, por lo que este problema habría sido resuelto. La máquina debe funcionar en un ambiente aséptico, mejor dicho, colocada en una cueva (información privada), por problemas de "protección".

Pelizza siempre se habría opuesto en trabajar con potencias extranjeras para el desarrollo del proyecto porque tales fuerzas puestas en juego por intereses políticos, militares, económicos y privados no habrían garantizado el deseo de Pelizza y de Majorana de utilizar la maquina sin fines bélicos sino sólo para limpiar el planeta de la basura y la contaminación, que lo está destruyendo.

De toda esta historia mediática se ha ocupado el periodista Rino Di Stefano ya conocido en Italia por haber escrito un libro sobre la historia de Fortunato Zanfretta, un guardia de Génova abducido, salido a la opinión pública, por haber dicho que fue abducido por alienígenas, muchos años atrás en Génova.



En toda esta historia, como veremos en un momento, los alienígenas surgen de todas partes.

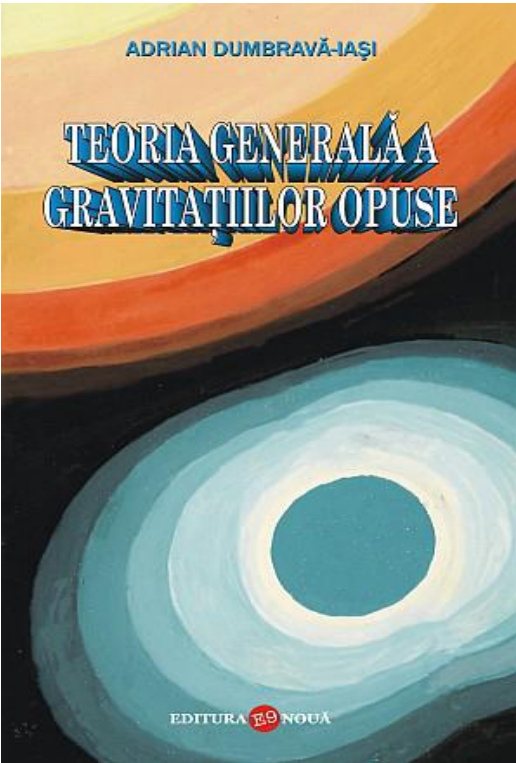
Mientras tanto, Pelizza afirma que al tratar de buscar otros fondos para llevar a término su proyecto, se encuentra con un personaje que le ofrece su colaboración.

Se trata de un cierto Franco Cappiello, que presenta este prototipo en la conferencia de *free energy* de Grottammare: estamos en el 2012.

Pero el 22 de junio del 2009 el mismo Franco Cappiello registra a su nombre la patente de la máquina de Pelizza.

Mas allá de cómo esta patente terminó en manos de Cappiello, problema por el que los remito a las declaraciones de Pelizza mismo, se nota que este Cappiello es un personaje conocido

en la ufología contemporánea por ser el editor de Acacia Edizioni, también es el editor del Centro Ufológico Nacional y pertenece, como miembro destacado, a la Masonería Italiana.
<https://alienabductionsblog.files.wordpress.com/2014/04/lufologia-italiana-alle-soglie-del-2009.pdf>



El estudio de ese proyecto lleva a la conclusión de que esta patente no podía ser patentada porque va contra una regla fundamental de la física moderna. La patente enaltece la idea de crear un ZPE del que se dividiría materia y antimateria, mediante la reorientación de los espines de esta última creando un desentrelazamiento entre materia y antimateria.

Desafortunadamente, bien se sabe que el fenómeno de desentrelazamiento no puede ocurrir (<https://arxiv.org/pdf/quant-ph/0310023>) porque va en contra de algunos principios de termodinámica como el segundo principio porque la entropía en ese hipotético instante disminuiría creando disimetría en las partículas subatómicas.

Pero el 23 de abril del 2009 es publicado otro libro titulado, Teoría general de gravitación opuesta, escrito por un tal Curcan Adrian, rumano, así es nombrado en un blog italiano (<http://www.energeticambiente.it/apparati-immobili/14719578-dispositivo-ad-antimateria.html>), pero que en realidad responde a otro nombre y que describe una máquina totalmente idéntica a la descrita por Pelizza y presentada en la patente de Cappiello. (<http://brandalert.ro/m-2009-03253-teoria-general-a-gravitațiiloropuse/>) ¿No es extraño que Cappiello registre una patente a unos días de distancia del registro de la publicación rumana, siendo que las dos notas hablan absolutamente de lo mismo? En todo caso, todas estas disputas no nos interesan, mientras que nos interesa el funcionamiento o los principios de funcionamiento de esta máquina.

De los testimonios encontrados en la red y del análisis de la patente por lo demás inconsistente, parece que la máquina debería funcionar creando un punto en el que materia y antimateria son separadas. Después, disparando la antimateria sobre la materia, esa se aniquilaría con fugas de grandes cantidades de energía. La máquina también transformaría los elementos con evidentes reacciones atómicas, que, sin embargo, no darían lugar a radiaciones, cosa definitivamente improbable. Otra particularidad de la máquina es seleccionar el material que se quiere aniquilar. Por ejemplo, si en el núcleo de la máquina se introduce un pedazo de plástico y luego se dirige el efecto de la máquina direccionalmente a través de una placa de acero, esa no será tocada, sino que el plástico puesto detrás del acero interferirá y será aniquilado. Esto también es el contenido de algunas grabaciones puestas en la web, que describen esta peculiaridad. El análisis de esta máquina y de la patente nos hace entender algunas cosas. Quien ha redactado la patente no tiene cogniciones de física moderna, sino que se guía por viejos conceptos de física hoy obsoletos, descritos con palabras simples.

Equazioni GEM	Equazioni di Maxwell	Struttura comune delle equazioni di Maxwell e GEM date in unità di planck.
$\nabla \cdot \mathbf{E}_g = -4\pi G\rho$	$\nabla \cdot \mathbf{E} = \frac{\rho_{em}}{\epsilon_0}$	
$\nabla \cdot \mathbf{B}_g = 0$	$\nabla \cdot \mathbf{B} = 0$	
$\nabla \times \mathbf{E}_g = -\frac{\partial \mathbf{B}_g}{\partial t}$	$\nabla \times \mathbf{E} = -\frac{\partial \mathbf{B}}{\partial t}$	
$\nabla \times \mathbf{B}_g = -\frac{4\pi G}{c^2} \mathbf{J} + \frac{1}{c^2} \frac{\partial \mathbf{E}_g}{\partial t}$	$\nabla \times \mathbf{B} = \frac{1}{\epsilon_0 c^2} \mathbf{J}_{em} + \frac{1}{c^2} \frac{\partial \mathbf{E}}{\partial t}$	
		$\nabla \cdot \mathbf{E} = \iota 4\pi \rho$
		$\nabla \cdot \mathbf{B} = 0$
		$\nabla \times \mathbf{E} = -\partial \mathbf{B} / \partial t$
		$\nabla \times \mathbf{B} = \iota 4\pi \mathbf{J} + \partial \mathbf{E} / \partial t$
		$\iota = +1$ (Maxwell) o -1 (GEM).

- **E_g** es el campo gravitacional estático (gravedad convencional, también llamada gravito-eléctrica por analogía);
- **E** es el campo eléctrico;
- **B_g** es el campo gravito-magnético;
- **B** es el campo magnético;
- **ρ** es densidad de masa;
- **ρ_{em}** es la densidad de carga;
- **J** es la densidad de corriente de la masa ($J = \rho \mathbf{v}_p$, donde \mathbf{v}_p es la velocidad del flujo de masa que genera el campo gravito-magnético);
- **J_{em}** es la densidad de corriente eléctrica;
- **G** es la constante gravitacional;
- **ε₀** es la permitividad del vacío;
- **c** es la velocidad de propagación de la gravedad (igual a la velocidad de la luz en la relatividad general).

La máquina pretende evocar la teoría GEM de la materia, una interesante teoría en la cual las originales ecuaciones de Maxwell serían modificadas para tener cuenta de la gravitación.

Para esta teoría, un objeto que gira en torno a un eje crea un campo gravitacional alrededor de ese eje y es por esto por lo que en el proyecto de la máquina de Pelizza, se hacen girar dos esferas llenas de mercurio líquido, en torno a dos ejes puestos a noventa grados entre sí. Las dos masas rotantes deberían entregar la contribución gravitacional y anti-gravitacional que, como vector nulo, se obtendría en un punto particular de la máquina. La patente se reserva al decir que existen otras dos contribuciones vectoriales que son los campos electromagnéticos ligados a los motores que hacen girar las esferas de mercurio y que seguramente producirían, en el mismo punto en el que se produce un campo gravitacional nulo, también un campo electromagnético nulo. Un verdadero ZPE oportunamente oculto por la pésima escritura de la patente que describe una máquina que, así como está hecha, no sólo no puede funcionar, sino que a lo más hará otras cosas.

"Consideraciones gravito-magnéticas también predicen que una masa toroidal fluida o flexible sometida a una rotación (rotación de "anillo de humo") del eje menor tenderá a extraer la materia preferencialmente a través del cuello (un caso de efecto de arrastre rotacional, que actúa a través del cuello). En teoría, esta configuración podría ser usada para acelerar los objetos (mediante el cuello), sin que estos sufran alguna fuerza g."

<https://it.wikipedia.org/wiki/Gravitomagnetismo>. Así se expresa Wikipedia en esta última frase donde hay algunos conceptos que nos servirán de aquí en breve.

Las partículas de Majorana

Aquí no podemos afrontar el problema de la correlación Pelizza-Majorana, porque nos sacaría del tema, pero nos limitaremos a analizar las posibilidades científicas de que el trabajo de Majorana pudiese efectivamente conducir a una útil contribución para la construcción de un ZPE. Majorana estudiaba sobre todo los neutrinos y sostenía que esos, así como los fotones, tenían la particularidad de no tener masa y por esta razón su antipartícula era totalmente idéntica a la partícula.

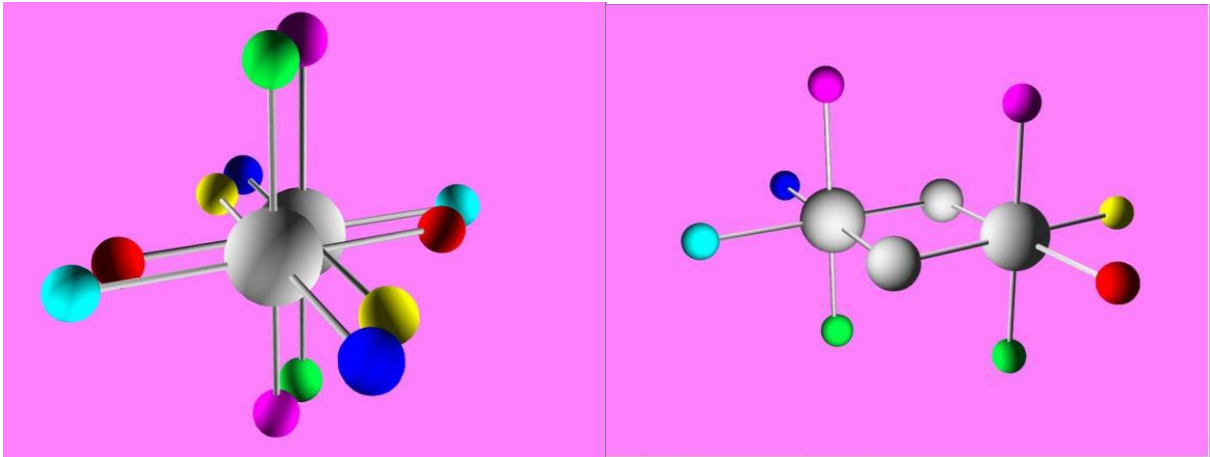
Estos neutrinos llamados justamente partículas de Majorana, porque no tienen antipartícula, divergían contra la teoría de Planck que, en cambio, afirmaba que los neutrinos debiesen tener siquiera una masa mínima.

¿Quién tenía razón? Según la teoría evideónica ambos tenían razón. De hecho, analizamos la naturaleza del neutrino de Majorana como sería descrito por el universo evideónico. El neutrino es un leptón y como tal está construido por un fotón y un antifotón que, según como estén vinculados doblemente, dejan un eje libre (ver Evideon, del mismo autor).

Si el fotón y el antifotón se conectan utilizando los colores y los anticolores del plano espacio-temporal, dejarían inalterados los ejes de la energía.

Este neutrino tendría la característica, teniendo el eje de la energía libre, de interconvertirse en su antipartícula, del mismo modo en que lo haría el fotón, al interconvertirse en su antifotón.

Otros tipos de leptones no pueden tener esta característica porque si el eje de la energía resulta bloqueado al crear los enlaces fotón-antifotón, el otro eje espacial o temporal, que queda libre de la interacción, es fijo porque en el fotón o en el antifotón de este universo, sólo el eje de la energía puede cambiar de longitud.



Por lo tanto, el neutrino tendría un antineutrino, pero la conversión entre estos dos sería muy rápida y sólo a veces el neutrino se manifestaría como una masa débil. El neutrino es aquella partícula que al principio se forma de la transformación de un Evideon por separación y rotación de los dos componentes fotónico y antifotónico.

Si la máquina de Pelizza funcionara, produciría neutrinos y antineutrinos que se interconvertirían entre sí. Probablemente los neutrinos de baja energía regresarían al mar de las partículas virtuales, reformando Evidiones, mientras los neutrinos de alta energía se caracterizarían por una interacción de color negativo y se dividirían, dando origen a un fotón y un antifotón que, entrelazados entre sí, se interconvertirían. Se obtendrían dos flujos especulares de luz y antiluz con interesantes fenómenos temporales (recordemos que los antifotones van hacia atrás en el tiempo, llevando consigo la información vinculada a esos).

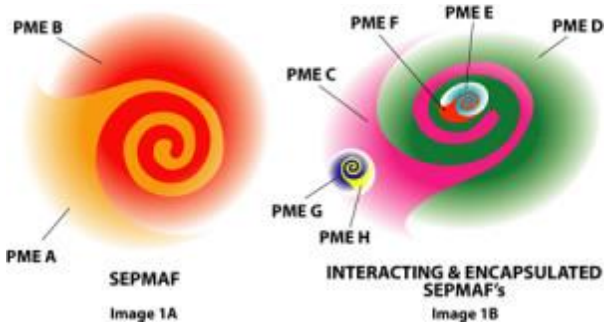
De una máquina de ese tipo parece, en opinión de quien escribe, difícil obtener un rayo fotónico o antifotónico porque todo tiende a permanecer dentro de la máquina (sobre este punto la patente fanfarronea clamorosamente). Para sacar energía manejable del ZPE se necesita "soplar por dentro de algún modo": y veremos que esto es posible con un truco banal.

Pero antes de explicar cómo hacer funcionar un dispositivo que cree un ZPE todavía necesitamos entender algunas cosas.

La máquina de Keshe.

Como la máquina de Pelizza, también aquella de Keshe se basa en los mismos principios, hace las mismas cosas, sirve, dice Keshe, para obtener un mundo más limpio y destruir la basura que el hombre ha creado hasta ahora, con la diferencia de que, en las esferas rotantes, en vez de hacer girar el mercurio se usa un gas noble.

La ingeniera hipotetiza que la interacción de un doble campo magnético es la base de los efectos gravitacionales de las estrellas y planetas, y sobre la Tierra. Esos dobles campos magnéticos también determinan las interacciones dentro de y entre los átomos.



Esta hipótesis se basa en la nueva comprensión de que la creación del universo se crea en las interacciones entre energía plasmática-magnética (PME), que interactúan en campos magnéticos específicos ("entrelazados" plasmáticos o SEPMAF). Estos SEPMAF representan las energías que llamamos partículas fundamentales, y esas pueden unirse para formar complejos de grandes dimensiones como los átomos y las moléculas.
<http://www.dvclub.info/keshe-la-nuovaenergia-pulita/>.

La fundación Keshe comparte gratis el contenido de las patentes de las máquinas, pero también Pelizza está constituyendo una fundación con el mismo objetivo. Pero lo más inquietante que une a Keshe y a Pelizza y probablemente también a Adrian Curcan (en realidad no sabemos nada de este último) es que esos **son sujetos que sufren interferencias alienígenas**. De hecho, fuentes confidenciales nos han informado de que estos sujetos tienen una o más entidades "alienígenas" que les sugieren cómo llevar adelante el proyecto.

Y nuevamente aparecen los alienígenas detrás del ZPE.

Edgar Mitchell, gran amigo de John Podesta, a su vez consejero, primero de Obama y luego de Clinton, en un email, dirigido a su amigo, interceptado por un hacker, declaraba:

<http://www.ilnavigatorecurioso.it/2017/01/11/alieni-buoni-energia-di-punto-zeroe-vaticano-nelle-mail-del-braccio-destro-di-hillary-clinton/>.

*«Querido John, sé que estás por dejar la administración de Obama. Debemos fijar con urgencia una reunión para discutir la apertura de los archivos y la Energía de Punto Cero. También estará una colega católica, **Terri Mansfield**, para actualizarnos de lo que saben en el Vaticano con respecto a los extraterrestres».*

Pero unos meses antes escribía:

«Querido John, desde el momento en que la carrera armamentista espacial se está colocando cada vez más caliente, he sentido el deber de informarte sobre algunas cosas. Recuerda, nuestros extraterrestres no violentos del universo vecino nos están ayudando para traer la Energía de Punto Cero a la Tierra. Esos no toleran ninguna forma de violencia militar, en la Tierra o en el espacio»

Así se expresaba el ex astronauta mencionando a alienígenas amigos de los americanos y otros no amigos. También se menciona una raza que es de otro universo, ¿casualmente el universo de la antimateria? (N.d.A).

Por lo tanto, estas máquinas bajo la apariencia de servir a la humanidad, en realidad le servirían al alienígena del antiuniverso para desembarcar definitivamente en este, mediante un proceso que mute su estructura molecular y subatómica, es decir, que sustancialmente haga su imagen especular. La agenda de estos alienígenas pretendería poner a trabajar a diferentes abducidos inconscientes, en diversas partes del mundo confiándoles pequeñas variaciones de un único proyecto, para tener mayor probabilidad de que alguno logre manipular la materia del modo correcto y obtener el resultado final esperado. Obviamente esta tipología alienígena no puede trabajar por sí misma sobre la materia directamente y necesita de alguien, de esta parte del universo, que lo haga. Este alguien no puede ser otro tipo de alienígena, que no tendría ningún interés en compartir una tecnología que ya posee en cuanto no tendría ninguna intención de posteriormente dividir la "torta" representada por los seres humanos, como probamos con esa vieja y ahora obsoleta investigación que, haciendo uso de técnicas hipnóticas, planeaba comprender los objetivos que los alienígenas tenían en este planeta.

Volver a hablar brevemente de este problema nos sirve sólo y exclusivamente para comprender que, detrás de estas investigaciones, hay algo que no cuadra. Sin embargo, utilizaremos estos puntos para construir un verdadero ZPE: como el que probablemente usan, ya desde hace tiempo, los alienígenas de este semiuniverso, como demostraremos entre algunas páginas. Pero como de costumbre, se debe notar que cuando se habla de alienígenas, estamos obligados a poner las manos en problemáticas de abducción, de masonería, de poderes fuer-

tes, de Iglesias varias, de servicios secretos coludidos con la masonería y con ufólogos de Estado.

El cerebro es el ZPE.

Nuestra observación parte del siguiente punto:

si el universo es no local, es decir, no existe el espacio ni el tiempo ni la energía sino todo, en realidad está en un solo punto, como generador de toda la realidad virtual a lo más tan grande como el tiempo y el espacio de Planck, eso significa que el universo no local está constituido por un solo punto.

Nuestro cerebro, como lector de hologramas, en cambio, le da a este punto las dimensiones de un universo. Nosotros, dentro de este universo del todo virtual y construido por nuestra mente, no nos damos cuenta de que dos puntos tomados por casualidad en el universo deberían ser en realidad proyecciones holográficas de un único punto existente que llamaremos el punto de Planck o punto cero (PZ). Sin embargo, si todo eso es cierto, y la física cuántica moderna, en acuerdo con la desigualdad de Bell, la teoría de Bohm, Pribam, Kosslyn y Aspect, lo confirman, podemos adquirir conciencia de este hecho y tratar de comprender la manera de ver en los dos puntos tomados por casualidad, el mismo punto.

Todo esto puede ser fácilmente realizado si se tiene en cuenta el carácter holográfico del universo. Los tres parámetros de la holografía en este caso específico están constituidos de espacio, tiempo y energía. Estas tres coordenadas evideónicas asumen, en la virtualidad, valores ficticios e imaginarios. Por lo tanto, si se crearan dos puntos en esta virtualidad caracterizados por las mismas coordenadas holográficas espacio-temporales-energéticas, estos dos puntos serían el mismo único punto.

Concepto de igualdad, identidad y sobreposición.

¿Qué diferencia existe entre el concepto de igualdad y el concepto de identidad? La pregunta puede parecer trivial, pero en realidad no lo es.

En matemática se dice que dos ecuaciones tienen un resultado igual cuando el número que representa el resultado en el primero y en el segundo caso es el mismo. Pero las dos ecuaciones que han dado el mismo número pueden ser completamente diferentes. Si las dos ecuaciones son idénticas entonces esas tienen una función matemática sobreponible, que para cada punto dará el mismo resultado en los dos casos. En ese contexto, las dos funciones matemáticas son sobreponibles. En geometría, si tengo un cubo con todas las caras de distintos colores y tengo otro construido exactamente del mismo modo, poseo 2 cubos iguales. Los cubos son dos, pero son iguales. Esos no pueden sobreponerse porque estando hechos de materia no pueden compenetrarse y, por lo tanto, son iguales, nos aparecen como tales, pero ocupan una coordenada espacio-temporal diferente.

Si los dos cubos pudieron compenetrarse y ocupar, uno sobrepuesto con el otro, el mismo espacio-tiempo, entonces su sobreposición produciría que estos dos objetos iguales se vuelvan idénticos. Es decir, indistinguibles. Si dos cosas no pueden ser distintas entonces son la misma cosa. Ya no existirían dos cubos sino uno solo.

<https://www.google.it/urlsa=t&rct=j&q=&esrc=s&source=web&cd=1&cad=rja&uact=8&ved=0ahUKEwizmOjsnbXTAhVGWWhoKHSgJCdCQFggqMAA&url=http%3A%2F%2Fwww.oxfordscholarship.com%2FviewByDoi%2F10.1093%2F0199278245.001.0001&usq=AFQjCNHyfW1atOKZNIziVanzHcwQh0HAvaA&sig2=p-Qucq2sR4647bleLbRgxA>

Sustancialmente, la diferencia entre dos objetos iguales y dos objetos idénticos es que en el primer caso esos son numéricamente 2, y en el segundo caso existe un solo objeto que funde en la identidad, los dos objetos generadores.

Esto nos hace pensar que, si lograra manipular dos aparentes puntos de nuestro universo virtual y volverlos idénticos, esos serían el mismo punto.

Todo lo que ocurre en uno de los dos puntos también ocurriría en el otro por el principio de sobreposición de las ecuaciones de onda que pueden describir estos dos lugares espacio-temporales energéticamente idénticos.

Ya que nuestro universo está hecho de un solo punto, existe un solo modo para crear fácilmente dos puntos idénticos. Crear dos puntos que sean dos, es decir, el mismo ZPE. ¿Cuántos ZPE existen en el universo? Viéndolos desde el exterior, infinitos, pero teniendo toma de

conciencia del universo se entiende que todos estos infinitos puntos son exactamente el mismo punto, el único punto que constituye el universo.

Nosotros percibimos, de infinitos modos diferentes, el mismo punto, que nos parece como puntos infinitos.

Por lo tanto, si construyo un dispositivo que sea capaz de producir, en un punto del universo, la anulación de campo eléctrico, magnético y gravitacional, obtengo el ZPE. Si tengo dos dispositivos idénticos que producen dos ZPE entonces estos dos puntos son el mismo punto. En ese contexto, si emito una información en el primer ZPE, esa coexistirá en los dos ZPE distribuyendo su función de onda en los dos ZPE, justo como lo hace un fotón cuando pasa al mismo tiempo en dos fisuras para proporcionar las figuras de interferencia (ver Génesis, del mismo autor). Construir un ZPE quiere decir construir en laboratorio una miniatura del universo virtual, es decir, construir un toroide, en cuyo centro los vectores espacio, tiempo y energía se anulan, es decir, se anulan, en la dualidad unificada, dos campos eléctricos opuestos, dos campos magnéticos opuestos y dos campos gravitacionales opuestos. De hecho, existe sobreposición de comportamientos entre campos eléctricos y espacio, campos magnéticos y tiempo, y campos energético-potenciales y gravedad. Y entonces comprobar la teoría GEM que permite poner en acuerdo todos estos parámetros con cuatro ecuaciones fundamentales. Y ahora se comienza a comprender por qué hablamos anteriormente de eso.

Lo que se puede hacer con "dos" ZPE:

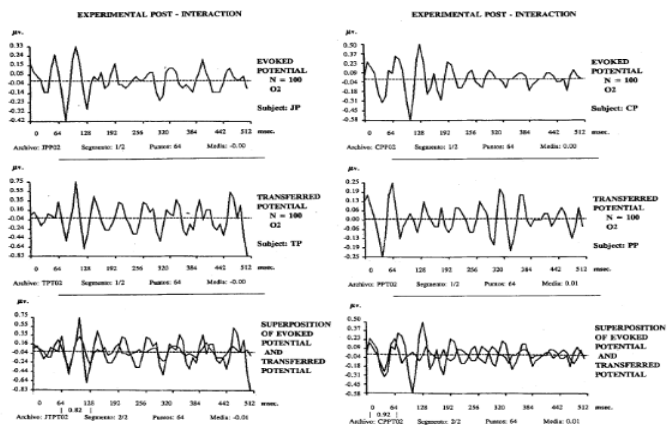
Teniendo a disposición dos dispositivos, que fabrican dos ZPE, que son el mismo ZPE, significa obtener una oscilación de la forma de onda en resonancia entre los que se nos muestran virtualmente como dos puntos del espacio-tiempo pero que en realidad son idénticos. Eso significa que la información que tengo en el primer ZPE también está en el segundo. El movimiento de esta información que convive en los dos puntos virtuales puede focalizarse sólo en uno de esos: basta desconectar uno de los dos dispositivos. En ese instante, la forma de onda de probabilidad del fenómeno se instalará solamente en el dispositivo que queda activo.

Por lo tanto, la información puede ser un grano de sal, pero también un sonido, una luz, incluso hasta un pensamiento. Así se podría mover o compartir pensamientos entre dos ZPE en fase entre sí. Los ZPE siempre están en fase entre sí, siendo que en ese punto la fase de cualquier tipo es nula. Además, este experimento ya ha sido realizado. Obviamente hasta ahora faltaba el soporte teórico, la idea de cómo eso funciona, pero en realidad nos demorábamos en constatar que funcionaba.

<https://www.google.it/url?sa=t&rct=j&q=&esrc=s&source=web&cd=1&cad=rja&uact=8&ved=0ahUKEwj1spuCpLXTAhXHLhoKHYKAAzQQFg-MAA&url=http%3A%2F%2Fwww.deanradin.com%2FFOC2014%2FGrinberg1994.pdf&usq=AFQiCNGXMTs52QslkemAdpEQQp4GqXsqw&sig2=0mVRZHIplozZTrJKw-6Xag>

En este artículo los autores tienen a disposición dos grupos de personas en dos habitaciones diferentes agrupadas en parejas, una persona en una habitación y otra en otra habitación, con dos aparatos para registrar los EEG. El primer sujeto es sometido a solicitudes visuales y auditivas y se registra su EEG, mientras al segundo sólo se le pide que se conecte, de algún modo, mentalmente con el sujeto que está recibiendo los estímulos. También se registra el EEG del segundo sujeto.

Se encuentra que, más allá de las posibles diferencias estadísticas, los dos EEG son sobreponibles.



Figures 1 (left) and 2. Figures 1 and 2 show in their upper portion the averages obtained from 100 evoked potentials. The middle portion shows the average of 100 epochs of EEG registered in Subject B synchronized to the stimuli presented to Subject A. The lower parts of the figures show both averages superimposed. These figures show the complete set of samples registered after subject interaction. The correlation index obtained in the first 132 µs for the potentials of Fig. 1 was meaningful with $p < 0.009$. The same for Fig. 2 for the first 73 µs was meaningful with $p < 0.005$. Note also the difference in the scales of the ordinate between the evoked and the transferred potentials.

Todo eso demuestra que las parejas de cerebros estaban de algún modo conectadas entre sí, de tal modo que podían crear un ZPE dentro del cual pasara toda la información que simultáneamente estaba en el cerebro de quien transmitía la información y en el de quien la recibía. La paradoja Rosen-Podolsky-Einstein era verificada a nivel de dos lugares de puntos puestos en el cerebro de las personas y no se usaban fotones sino solicitaciones corporales o mejor, ahora podemos decir, ondas toroidales que en su superficie contenían la información en escritura y lectura.

¿Dónde estaba ubicado el ZPE en el cerebro de los humanos?

El cerebro es un toroide.

¿Cómo pasa la información de un cerebro a otro?

Si dentro de un cerebro se crea un punto en el que se coloca, de algún modo, información y este punto es un ZPE, entonces esta información estará a disposición de todos los ZPE que existen en el universo.

La idea de científicos como Laszlo o Sheldrake sobre el hecho de que exista un campo morfogenético que conecta todo y a todos tendría finalmente una explicación cuántica más tangible.

Dos cerebros que en oportunas condiciones producen un estado de ZPE tienen en su interior la misma información. En realidad, no es necesario tener un ZPE donde energía, espacio y tiempo estén anulados sino dos puntos en donde estos tres valores son idénticos. Estos dos puntos del universo virtual serían, de todas maneras, la misma cosa.

Esto es lo que parece ocurrir en el experimento de arriba.

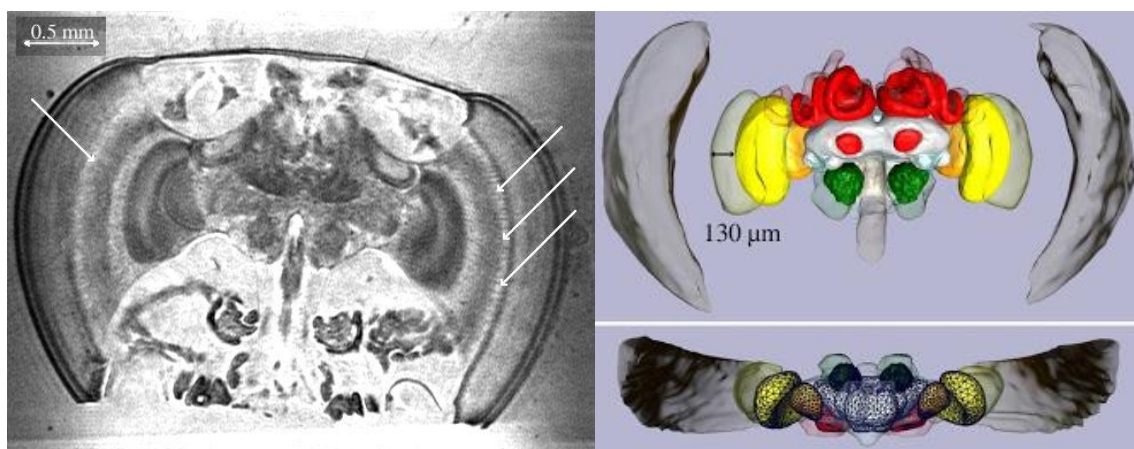
Si luego se obtuviera un verdadero ZPE, entonces nuestro cerebro estaría conectado a la totalidad del universo y en ese momento tendría la visión del todo.

Hemos destacado en otros trabajos que para obtener este resultado podría ser útil la simulación mental llamada Triade Color Test Dinámico Flash (TCTDF) (ver artículo del mismo autor). Pero desde un punto de vista virtual, debemos comprender cómo se puede obtener una estructura cerebral capaz de proporcionar un ZPE.

Además, una rama de la nueva neurofisiología considera que el cerebro tiene una estructura toroidal.

En realidad, el cerebro sería la sobreposición de tres (casualmente, N.d.A) estructuras toroidales que se compenetran de modo simétrico.

Los más interesantes trabajos parten del análisis del cerebro de las abejas y de cómo este cerebro puede analizar la realidad virtual que rodea a estos animales.



La resonancia magnética nuclear entrega una imagen del cerebro de la abeja melífera (<http://salviamolapemellifera-guglielmo.blogspot.it/2010/03/nmr-delcervello-di-apismellifera.html>).

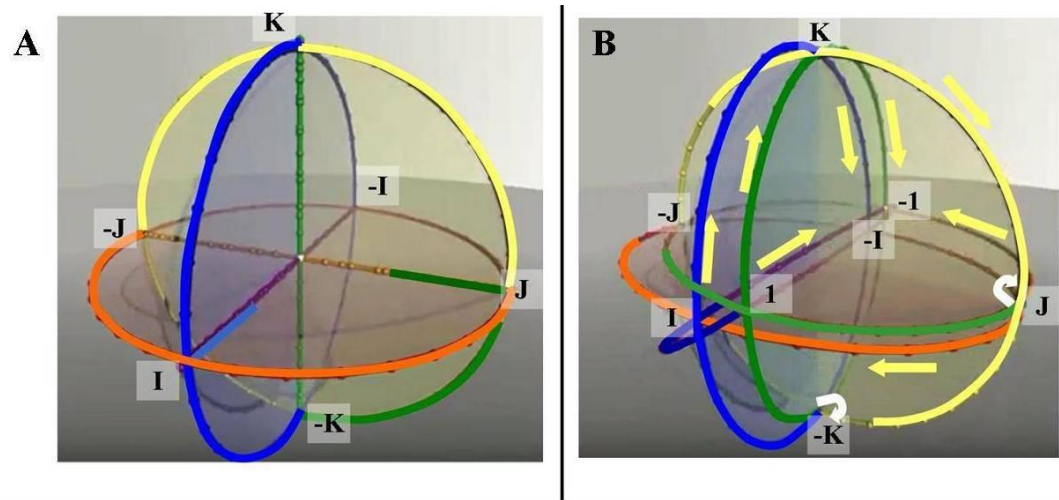
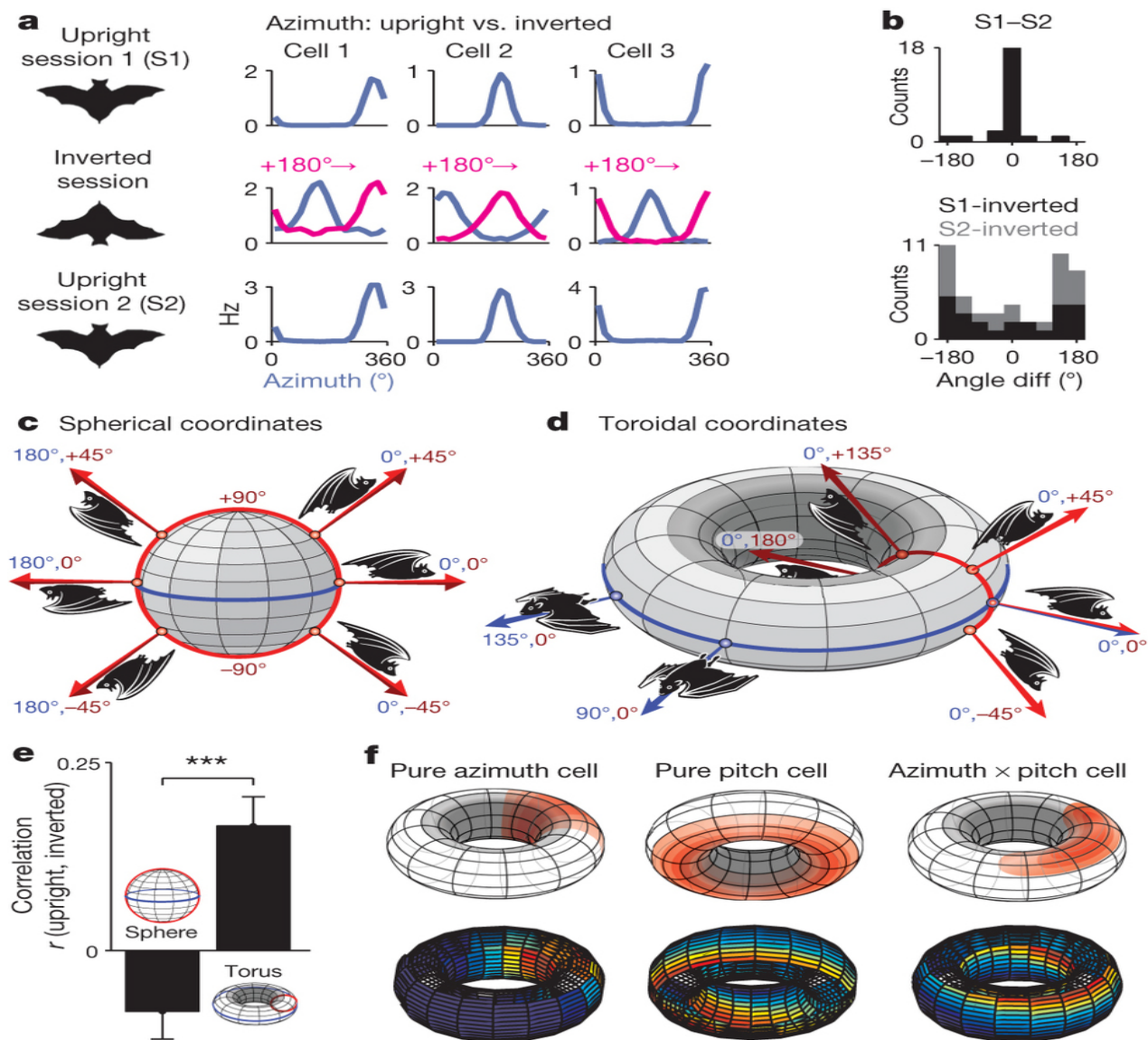
No son menos los murciélagos que teniendo una central cerebral toroidal ven el mundo externo a través de este dispositivo biológico. En esta imagen, sacada del artículo publicado en

Nature, Vol 517, 159, 2015, los autores explican cómo es el mecanismo por el cual se orienta el murciélago.

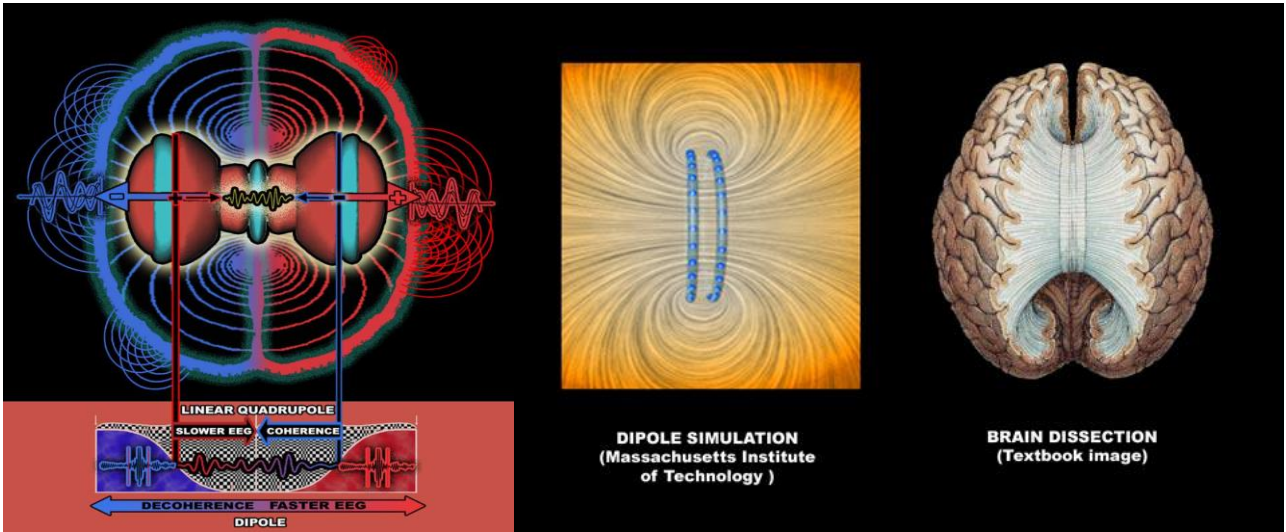
Para el hombre no parece que las cosas vayan de otra manera.

(https://www.researchgate.net/publication/285648886_Brain_activity_on_a_hypersphere
<http://www.nature.com/nature/journal/v517/n7533/full/nature14031.html>).

En el artículo publicado por dos investigadores de la Cornell University, se pone en evidencia que el cerebro humano ve el universo externo como una hiperesfera que sustancialmente en tres dimensiones imita una superficie toroidal (ver Torus: aspectos toroidales del universo virtual, del mismo autor).



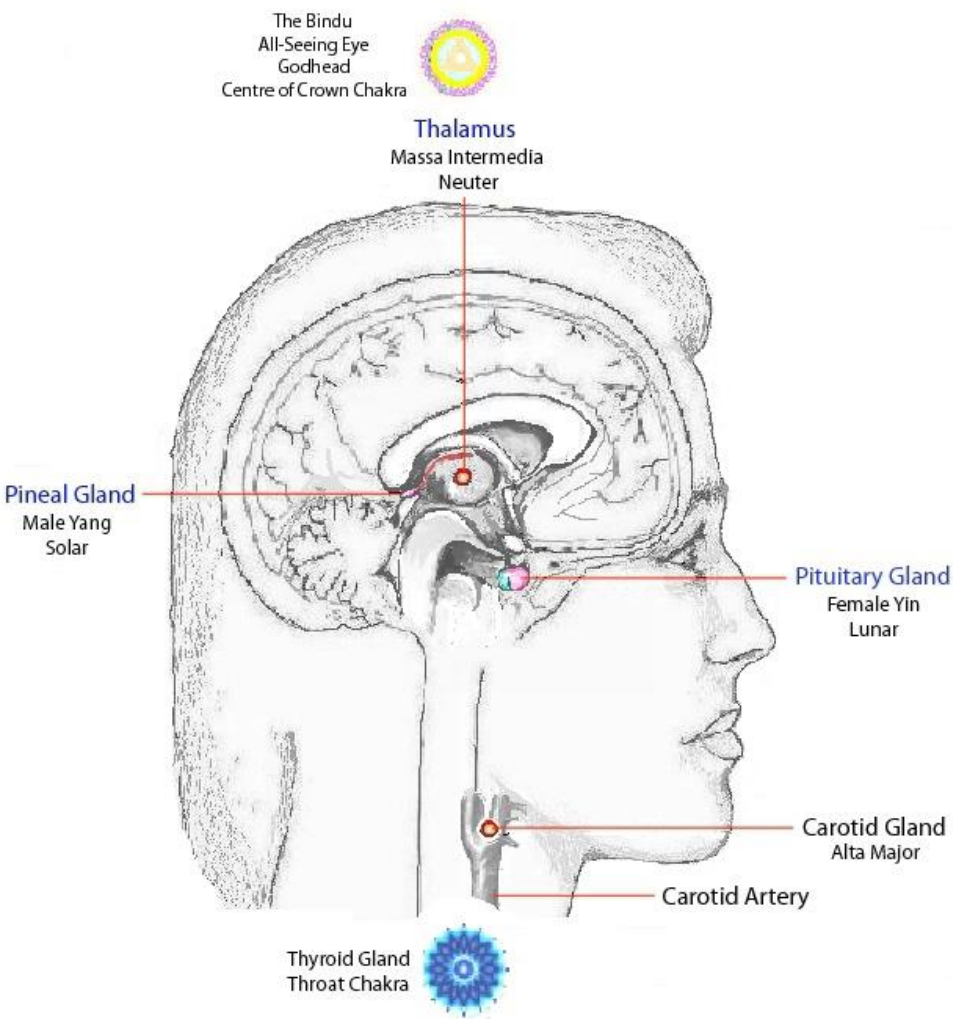
La imagen que los autores utilizan recuerda de modo sorprendente el mundo evidéonico. De acuerdo a las más modernas teorías, el cerebro ya no debería ser visto como una estructura con estratos verticales o concéntricos sino con secciones horizontales. En ese contexto, ese podría ser representado por estructuras toroidales como la siguiente:



En este trabajo se comprende que los campos electromagnéticos, dentro de la estructura toroidal del cerebro humano, pueden desarrollar actividades de recepción, pero también de transmisión.

<http://www.lanzalaco.org/2012/07/markrams-human-brain-project-will-fail.html>.

En el cerebro humano coexisten tres importantes glándulas que también son tratadas en el Mito y, ya que sabemos que en el Mito existe la realidad atemporal de la descripción del Universo (ver Génesis, del mismo autor), debemos prestar atención a estos tres importantes puntos. Las tres glándulas de las que hablamos son la Pineal, la Pituitaria y la Carotídea, dos que están puestas estratégicamente dentro del cráneo y una, la Carotídea, posicionada a la altura de la garganta.

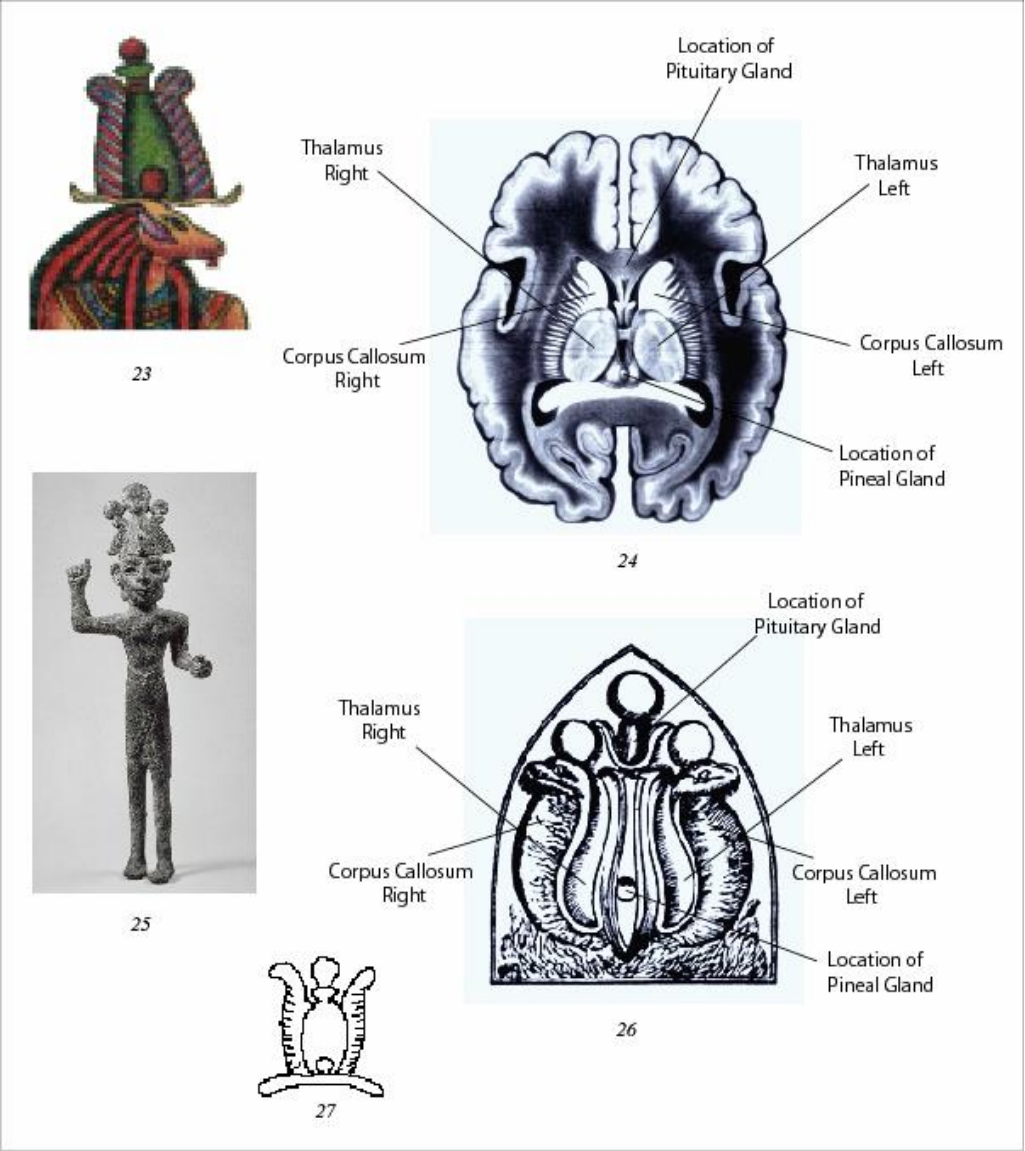


La neurofisiología parece demostrar que estos tres centros, identificables con tres chackras de la new age, son particularmente sensibles al campo magnético (pineal), al campo eléctrico (carotidea) y al campo gravitacional (pituitaria).

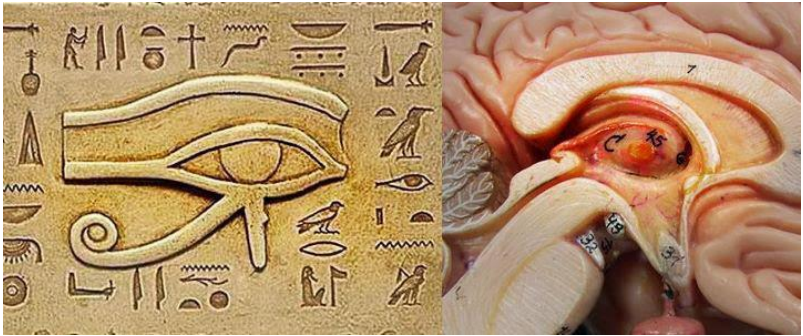
Por otro lado, los antiguos Egipcios, que entendían de cirugía craneal, amaban diseñar sombreros de los Dioses, hechos de modo que se recuerde la estructura del cerebro y de aquello que debía estar dentro de ese.

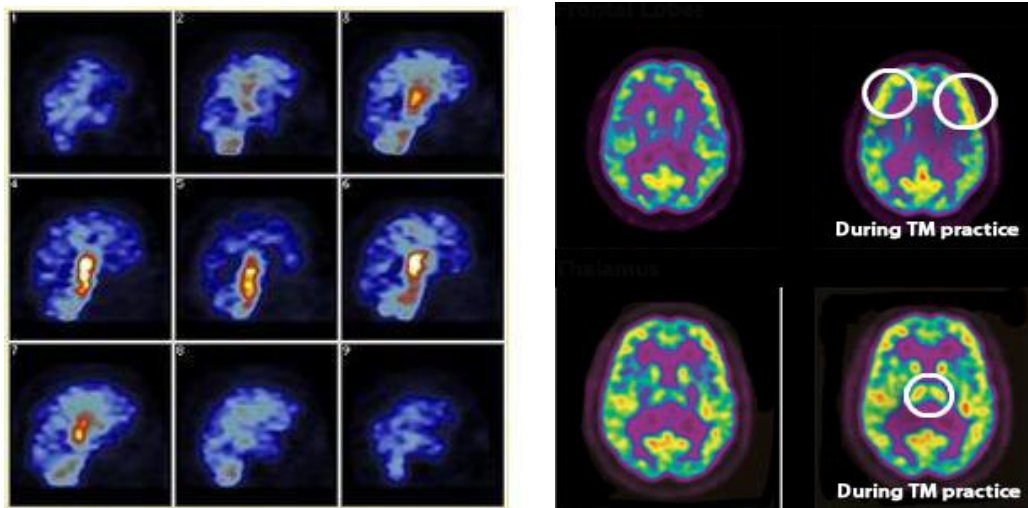
Algunos investigadores sostienen que la formación toroidal del cerebro fue puesta en evidencia por los diseños de los antiguos Egipcios, como evidenciamos en la próxima imagen.

En esta imagen se puede notar además la presencia de tres esferas que recuerdan mucho los tres componentes: ánima, mente y espíritu, así como son elaborados inconscientemente por el cerebro humano, al momento de efectuar el TCTDF, simulación mental creada justamente para identificar y para trabajar sobre las tres partes concienenciales del hombre (ver TCTDF, del mismo autor).



Los Egipcios consideraban el tálamo como el punto focal de todo el funcionamiento del cerebro y que, probablemente, era la verdadera representación del ojo de Horus, como algunos atentos estudiosos nos hacen notar:



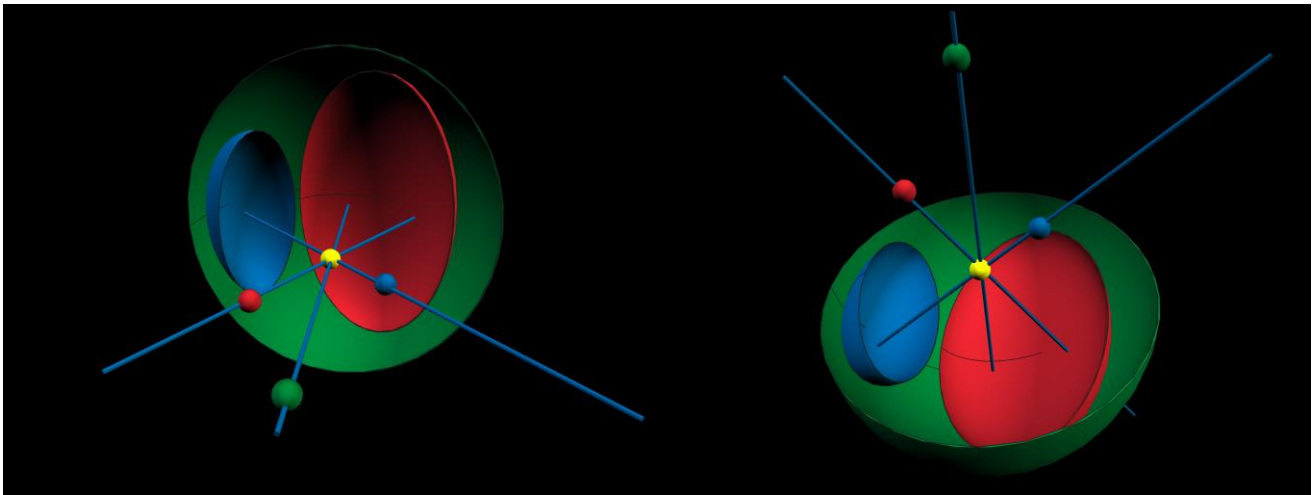


Y esta parte del cerebro presenta características particulares: por ejemplo, durante fenómenos de meditación profunda, donde con técnicas de RMN se ilumina particularmente.
<https://www.slideshare.net/ataren/brain-mechanisms-pain-modulationmindfulness-meditation>).

El cerebro como antena toroidal creadora de ZPE.

Por lo tanto, la hipótesis interesante es que nuestro cerebro, como lector de hologramas, se comporta como un creador de ZPE. En el instante en que un sujeto crea una imagen visual dentro de su cerebro, acompañando esta creación con sonidos y sensaciones, ese coloca todas estas señales dentro de la zona de ZPE y, quien crea una zona similar en su cerebro, tendrá las mismas visiones y sensaciones porque los dos cerebros crean el mismo y único ZPE.

En base a las indicaciones descritas antes, es posible postular que el cerebro se comporta como un grupo de antenas toroidales con tres "iluminadores" puestos dentro de las tres glándulas: pineal, pituitaria y carotidea. Las tres parábolas estarían constituidas por tres zonas del cerebro que registrarían los campos magnéticos, eléctricos y gravitacionales respectivamente, como resulta de la reconstrucción realizada en 3D aquí a continuación.



Como se puede notar de esta reconstrucción, las tres antenas toroidales cerebrales, tendrían un foco en común, caracterizado por el tálamo. En ese punto es donde se crearía el ZPE, que sería el responsable de todos los fenómenos de naturaleza pseudo-paranormal, descritos en la literatura.

El cerebro pudiendo construir un ZPE sería capaz de conectarse en cada instante con la Realidad Real, distinguiendo la Virtualidad holográfica del contexto de la Conciencia.

El tálamo sería el lugar físico de la realidad virtual donde se crea la habitación mental de la simulación llamada TCTDF.

En la simulación, el cerebro crea la habitación virtual que en realidad sería una representación ideico-simbólica de un lugar no lugar de puntos que realmente es el centro del universo: el único ZPE existente.

En ese contexto, por ejemplo, dos personas pueden intercambiar datos y sensaciones en su virtualidad conectándose en el único punto en común de todo el universo. Un punto que puede ser caracterizado por las dimensiones de Planck.

Un dispositivo creador de ZPE.

En este punto tenemos todos los elementos para poder realizar un dispositivo capaz de construir la partida para la creación de ZPE.

De hecho, debemos crear un punto que tenga coordenadas espaciales, temporales y energéticas nulas.

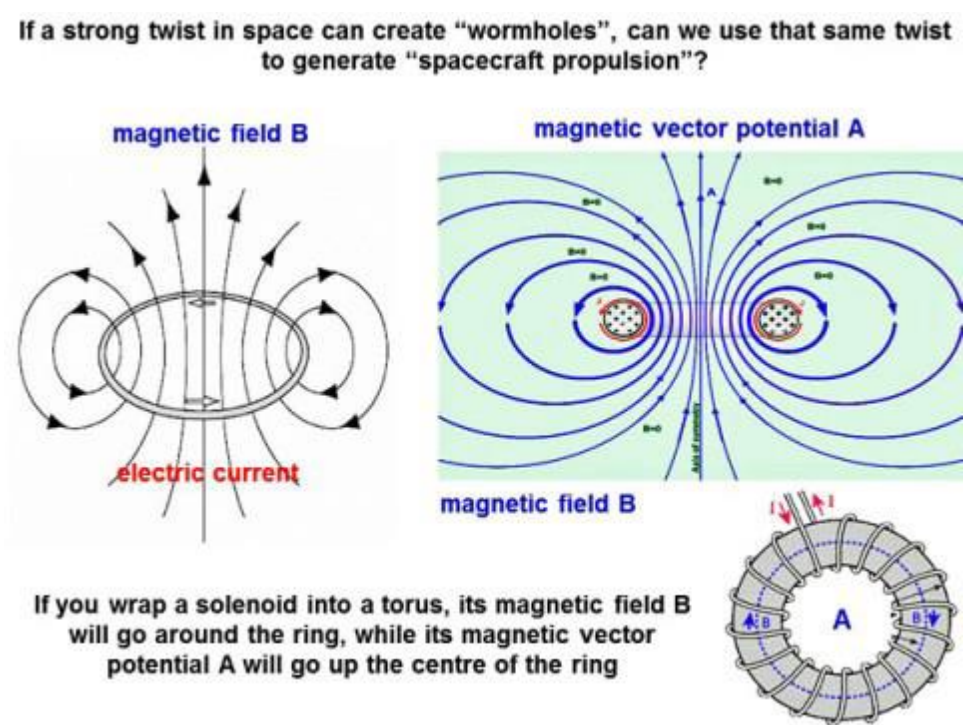
Podemos trabajar sobre el campo eléctrico, magnético y gravitacional estando estos tres vectores en relación estrecha con espacio, tiempo y energía.

En pocas palabras, debemos crear una imagen en miniatura del universo.

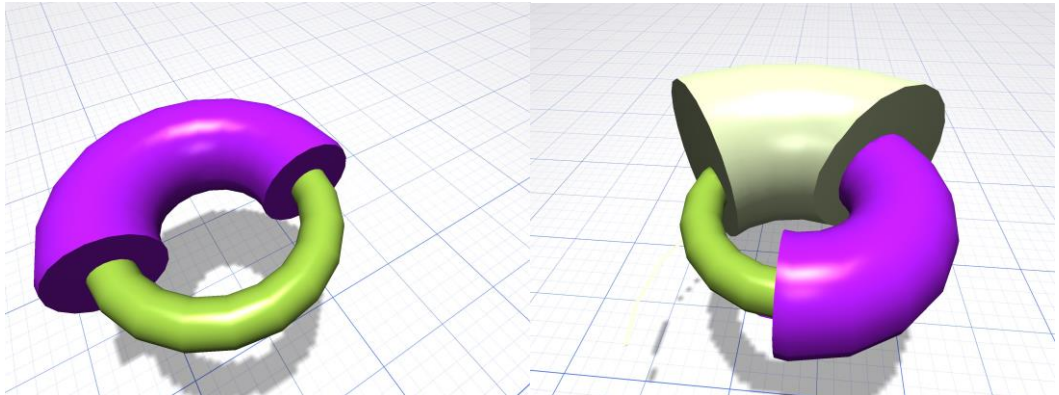
Teniendo presente que el campo electromagnético está ligado al campo espacio-temporal y uno de los dos componentes es imprescindible del otro, podemos fácilmente crear un punto en el que los vectores eléctricos y magnéticos se anulen.

Obviamente en este punto, podemos utilizar una geometría toroidal.

Si construimos un toroide alrededor al que le envolvemos una serie de spire de hilo conductor, habremos construido un campo magnético que gira al centro del toroide y no sale de ese y al mismo tiempo un campo eléctrico que, perpendicularmente al campo magnético, se dirige, con la regla de la mano derecha, hacia una dirección específica, como está ilustrado en la siguiente figura:



Por ende, basta crear dos solenoides concéntricos, que se envuelven, uno en sentido horario y otro en sentido antihorario, para crear dos campos magnéticos disrotatorios sobrepuestos, que se anulan entre sí y dos vectores de campo eléctrico, colocados al centro del toroide, entre sí divergentes que se anulan vectorialmente.



Las dos bobinas toroidales (violeta y verde) resultan concéntricas y realizados con un cable de material conductor (cobre) con oportunas dimensiones calculadas para obtener campos magnéticos y eléctricos de igual respectiva, pero de intensidad opuesta.

En este punto se debe agregar el componente gravitacional nulo.

Este componente, en las máquinas de Keshe era realizado con un fluido de naturaleza gaseosa (Helio), mientras en la máquina de Majorana se utilizaba un fluido líquido (Mercurio).

Se debe notar que, en el pasado, algunos investigadores, trataron de construir máquinas que desarrollaran energía con bobinas de tipo solenoide, de oportuna geometría, a veces, obteniendo también débiles resultados positivos.

En esos casos sospechamos que el componente gravitacional que contribuía débilmente en la construcción del ZPE, se debía definitiva e inconscientemente por parte de los diseñadores, al flujo de electrones que recorría los cables eléctricos y que, teniendo masa, producía un flujo gravitacional que, según la teoría GEM habría podido fabricar los componentes vectoriales gravitacionales que se podían anular, envolviendo oportunamente las agujas del conductor (cobre) a modo de obtener dos vectores, dos "empujones" en dos direcciones opuestas, colocadas, "casualmente" al centro de los solenoides empleados.

En este contexto, los resultados serían insignificantes porque, si bien es cierto que los electrones que recorren un conductor eléctrico tienen una masa igual a unos 10-19 gramos y los electrones que recorren un conductor son innumerables, esos tienen una velocidad muy baja, estimada en unos 30 metros por segundo.

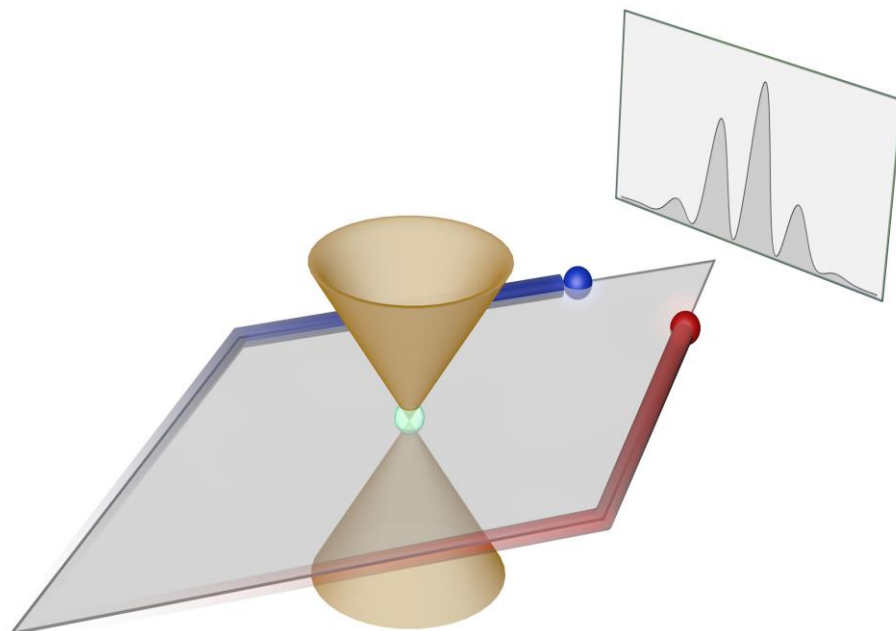
Por este motivo las máquinas de Keshe o Majorana usan cosas más pesadas, como átomos de Helio o, todavía mejor, Mercurio que, recorriendo una superficie de oportuna geometría, producirían una gravitación nula, según la teoría GEM, anteriormente mencionada. En nuestro contexto, utilizando una superficie toroidal (parte clara de la figura precedente), no se puede usar ningún fluido convencional porque ese, girando, en sentido horario o antihorario, alrededor de la sección toroidal, produciría una acumulación de presión al centro y una depresión en la corona circular del toroide, impidiendo la circulación del fluido que también habría creado el problema del cómo realizar mecánicamente ese empuje rotacional.

La idea para resolver el problema utilizando un flujo de fotones, nos ha venido estudiando el efecto Aharonov Bohm.

El efecto Aharonov Bohm.

El efecto que lleva este nombre es un efecto físico aun poco conocido, que representa una ampliación del experimento de la doble rendija.

(https://www.google.it/url?sa=t&rct=j&q=&esrc=s&source=web&cd=1&cad=rja&uact=8&ved=0ahUKEwiZ_e-Fz8TTAhVDbRQKHwUAX8QFggwMAA&url=http%3A%2F%2Fmafija.fmf.uni-lj.si%2Fseminar%2Ffiles%2F2010_2011%2Fseminar_aharonov.pdf&usq=AFQjCNG32B2Cf7vjKvDejHowYL_uXoRGWQ).



En el experimento clásico, un electrón o un fotón, es pasado al mismo tiempo (porque es onda) a través de dos rendijas produciendo, en una pantalla colocada después de las rendijas, figuras de interferencia. Así, si se coloca un toroide con una bobina eléctrica donde pasa corriente, detrás de las dos rendijas, las figuras de interferencia se mueven rompiendo la simetría del experimento o hacia la derecha o hacia la izquierda, según la dirección de la corriente eléctrica que recorre el cable eléctrico enrollado alrededor del toroide.

Eso tiene muchos significados. Uno de esos es que la probabilidad de que un electrón pase más por una rendija y probabilísticamente menos por la otra se vuelve evidente. O, una vez que el electrón pasa la rendija interactúa con el toroide que lo atrae/rechaza interfiriendo con su trayectoria virtual, disimetrizando las figuras de interferencia en la pantalla donde es proyectada la imagen de la probabilidad de existencia del electrón mismo.

Sin embargo, el problema está ligado al hecho de que este efecto no debería ocurrir.

De hecho, el campo magnético queda confinado dentro del toroide, así como el componente eléctrico, que no debería interferir con el electrón.

En cambio, la interferencia existe.

Alguien ha pensado que estando el campo magnético confinado al interior del toroide y siendo sustancialmente nulo, ese no puede interactuar con un electrón que pasa fuera de su influencia.

Algunos piensan que entonces este efecto depende, de manera misteriosa, del potencial del campo, el único tamaño que no siendo nulo sería candidato para hacer algo no nulo. Pero otros físicos piensan que el potencial del campo en realidad ni siquiera existe.

Otros, más razonablemente suponen que el toroide así construido, si es bien construido, en realidad puede ser no homogéneo y, por lo tanto, algo no nulo saldría del toroide interactuando, de algún modo, con el electrón que pasa. Otros afirman todavía más razonablemente, que siendo el electrón una onda (cuando conviene los físicos piensan esto para cuadrar las cosas: N.d.A.) ese, de todas maneras, pasaría también dentro del toroide como onda de probabilidad y entonces algo influenciaría la trayectoria del electrón.

Del resto, el electrón es algo que tiene masa y que está cargado y, por lo tanto, debemos esperar que sea atraído o rechazado por un campo electromagnético oportunamente orientado.

Desafortunadamente, se ha descubierto que, también los fotones, están misteriosamente sometidos al mismo efecto, aunque no tengan masa ni carga.

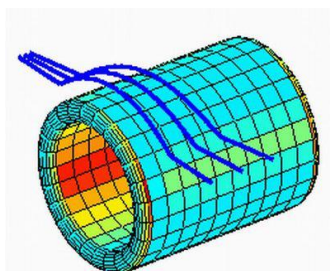
(https://www.google.it/url?sa=t&rct=j&q=&esrc=s&source=web&cd=1&cad=rja&uact=8&ved=0ahUKEwj_o5L81cTTAhVGQBQKHeSuDJQQFggwMAA&url=http%3A%2F%2Fdigitalcommons.unl.edu%2Fcgi%2Fviewcontent.cgi%3Farticle%3D1118%26context%3Dphysicsfacpub&usq=AFQjCNEE4zS_GtVYcKTVx8kesUW7kPE8JQ).

Además, se puede usar el efecto Aharonov Bohm para calcular, mediante la derivación de un rayo de fotones, la masa postulada del fotón que, según estos cálculos, operaría en un valor igual a 10^{-51} gramos contra medidas muy similares producidas por otros enfoques científicos (ver Eviden 3, del mismo autor).

(<https://journals.aps.org/pr/abstract/10.1103/PhysRevA.75.052113>).

Obviamente si los fotones fueran como afirmamos, con la idea evidenciada del universo y fueran formas resonantes de fotones y antifotones en rápida interconversión, por debajo del tiempo de Planck, el efecto Aharonov Bohm sería explicable, pero, en este lugar, no nos interesa poner las manos en este aspecto de la física moderna. En cambio, nos interesa destacar que, cualquiera que sea la causa, los fotones son desviados por un campo electromagnético producido por un oportuno solenoide toroidalmente construido.

Eso ocurre porque evidentemente el fotón, por un breve periodo de tiempo, parece poseer masa.



Por lo tanto, los fotones cambian de ruta pasando más allá de un campo magnético creado por un oportuno solenoide, pero todo eso significaba que podíamos utilizar un flujo de fotones haciéndolos circular alrededor del toroide, con oportuna geometría, forzando los fotones con fibras ópticas para que recorran geométricamente las trayectorias propuestas por nosotros. De hecho, si los fotones representaran el fluido que necesitamos para obtener dos campos gravitacionales que se anulen entre sí, podremos obtener el tercer componente para la creación del ZPE.

Es cierto que los fotones poseerían unos 10^{-51} gramos, pero esos van a la velocidad de la luz y son muchos más que los electrones en un filo eléctrico.

En una fibra óptica de 1 cm de sección, bastarían $1,6 \times 10^{33} \times 5,3 \times 10^{44}$ fotones en un segundo, es decir, unos 9×10^{77} fotones que pesan cada uno 10^{-51} gramos por un total de 9×10^{26} gramos. Si solo un fotón en un millón de millones mostrara un mínimo efecto Aharonov Bohm habremos creado un vector masivo de notable módulo. Crear dos componentes vectoriales de este tipo que se anulan entre sí al centro de nuestro toroide dependía, en este punto, sólo de la elección de la geometría de devanado de las fibras ópticas que obligan a un haz de fotones a seguir el camino impuesto por nosotros.

De la diosa Kali al toroide.

También será poco ortodoxo para ciencia oficial aferrarse al Mito para tomar ideas sobre cómo está hecho el universo, pero no lo es para mí, que he hecho recorridos interiores que me han mostrado que nosotros mismos, siendo los creadores del universo, tenemos en nuestro interior, todas las claves de lectura, si son concientemente utilizadas, para comprender el Todo.

Por lo tanto, me excuso con los físicos que se rascarán la nariz al saber de dónde he sacado la idea de obtener, con un solo enrollamiento de fibra óptica alrededor del toroide, dos campos gravitacionales por el efecto Aharonov Bohm contrastante, pero, en el fondo, lo que cuenta es el efecto final, es decir, la comprensión del Todo a través del Recuerdo de ese.

El mito hindú cuenta cómo al inicio de los tiempos había un monstruo que estaba destruyendo todo el universo creado. Shiva y Visnú no podían hacer nada contra este monstruo y llamaron a Kali como última esperanza para salvar el Mundo.



El monstruo no podía ser derrotado porque de cada gota de su sangre que caía al suelo, nacía otro monstruo. Kali logró derrotar al monstruo bebiendo, en la lucha, todas las gotas de sangre del monstruo, antes de que esas tocaran el suelo. En su furia destructora Kali ya no

comprendía nada y había perdido el juicio al seguir destruyendo todo lo que encontraba, terminando por querer matar también a los mismos Dioses que la habían llamado para salvar el mundo.

Y es por esto por lo que esa es representada mientras está pisoteando a Shiva, que logrará hacerla volver en sí, antes de que también sea eliminada.

En la versión más antigua, Kali posee cuatro brazos, luego el número de brazos aumentará en las siguientes representaciones.

Kali representa en el mito hindú el universo ordenador, aquel o aquellos que dan orden al caos de las partículas que se habrían formado y que, sin orden en la virtualidad, se habrían autodestruido en el mar de partículas virtuales, dirían los físicos. Los brazos de Kali son los ejes de espacio y de tiempo del Evidéon. Lo que Kali viste y lo que tiene en sus manos está lleno de simbolismo poderoso, tanto que pocos saben que los antiguos Romanos adoraban a esta diosa llamándola Akate, donde en el nombre queda el sufijo "ka" (que encontramos en las mitologías hebreas en el nombre Kabala, en las sumerias con el nombre Merkaba, en el mundo egipcio donde el Ka era el espíritu o en el mundo islámico donde Kaba es el nombre de la piedra caída del cielo adorada en la Meca).



Asimismo, el nombre del arcángel Mi-Ka-El (Miguel, n.d.t) es la versión hebrea de la diosa Kali donde dos brazos han sido sustituidos por dos alas. Basta comparar las iconografías de Kali con las de Miguel para darse cuenta de lo que afirmamos y que practica e inconscientemente, el hombre es traído desde los tiempos del valle del Indo hasta hoy.

Estos míticos personajes que encarnan el más moderno Evidéon, siempre están acompañados de estructuras toroidales y de particulares simbolismos que recuerdan la estructura del toroide que estamos construyendo y con eso, el *zero point energy*, como símbolo de todo el orden universal.





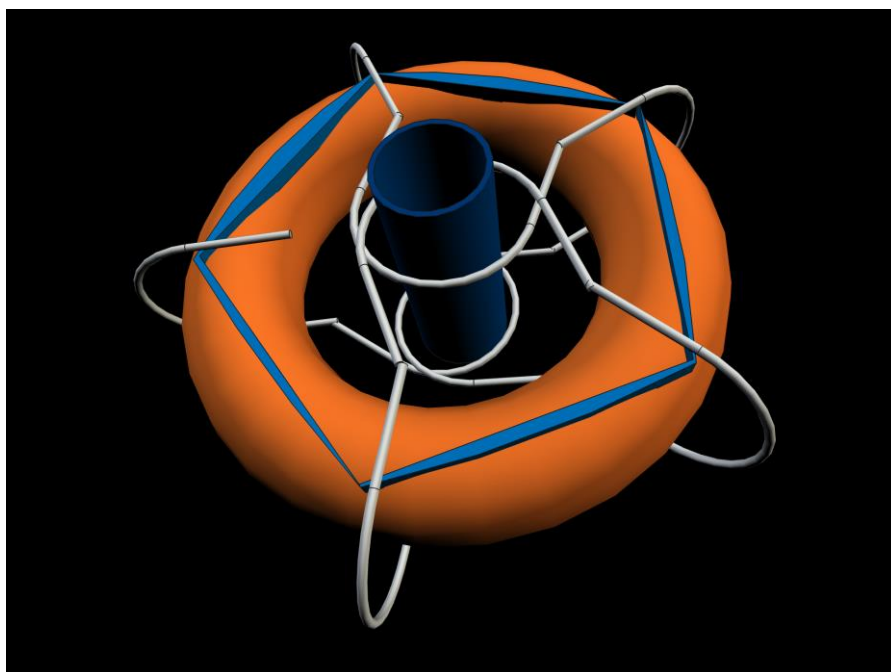
En particular, fue interesante notar el símbolo de la Diosa Akate que, si por un lado recuerda el laberinto, por el otro, recordaba justamente una geometría pentalfa que parecía imitar el enrollamiento de un cable alrededor un eje central.

Estamos acostumbrados a observar los símbolos del Mito porque esos evocan, dentro de cada uno de nosotros, arquetipos e información que, según los prerequisites culturales que cada uno tiene, pueden entregar información proporcional al grado de adquisición de conciencia que cada uno de nosotros posee. Así para algunos, observar estos símbolos puede no decir nada, mientras que otros verán comparaciones religiosas. Quien escribe ve siempre como reflejo lo que busca externamente a sí mismo, como espejo de una realidad interna difícilmente decodificable si permaneciese dentro del ser. Una vez que esta realidad es extroyectada fuera de sí, entonces toma forma y existe la posibilidad de decodificarla de acuerdo a las propias posibilidades.

Así desde ese símbolo comprendimos cómo enrollar la fibra óptica como tercer devanado del toroide.

Un solo devanado puede recorrer su trayecto en sentido horario y antihorario respecto a quien se pone al centro del toroide, creando campos gravitacionales que son dirigidos vectorialmente hacia abajo y al mismo tiempo hacia arriba.

A continuación, reproducimos cómo debería ser realizado el primer devanado para obtener el efecto deseado.



Como se puede notar de una atenta revisión del recorrido de la fibra óptica, esa parte, devanando en un sentido el toroide, llega al centro, gira alrededor del cilindro interno del toroide de 180 grados para volver a enrollarse nuevamente alrededor del toroide. De este modo se crean

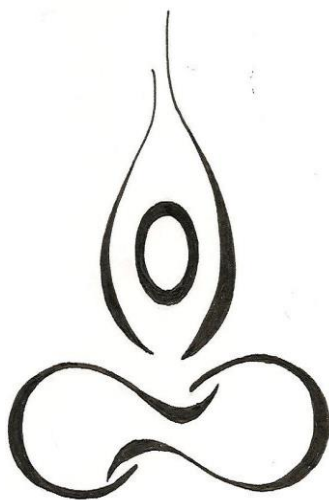
momentos en donde, al interior o al exterior del toroide, existen igual número de zonas en las que se crea un flujo horario o antihorario de fotones.

La estructura pentatónica del envolvimiento es la única posible y recuerda la geometría áurea del pentágono que contiene todos los números que hemos calculado anteriormente en este artículo.

Lo primero que se nota es que el ángulo de 108 es aquel que se reproduce dentro del pentágono con sus cinco vértices.

El mito del número 108, ahora regresa prepotentemente con todos sus mensajes mitológicos. Particularmente, el número 108 está conectado en la civilización del valle del Indo con las tres formas del número 1, cero y 8, que representan la unidad del universo, la nulidad de ese y el infinito circular del tiempo y del espacio.

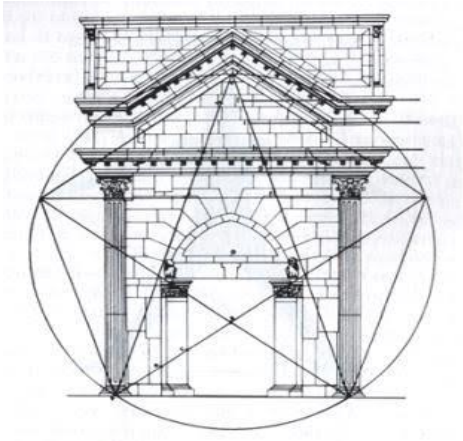
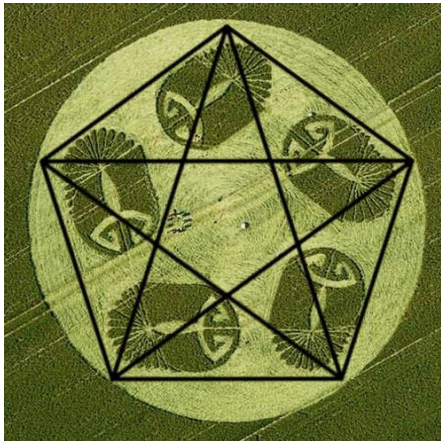
Pero observando más atentamente este símbolo nos damos cuenta de que los símbolos sánscritos para estos números adquieren un significado físico imitando perfectamente los vectores campo-magnético (el cero), el campo eléctrico (el uno) y el campo fotónico gravitacional (la cinta de Moebius, es decir, el ocho).



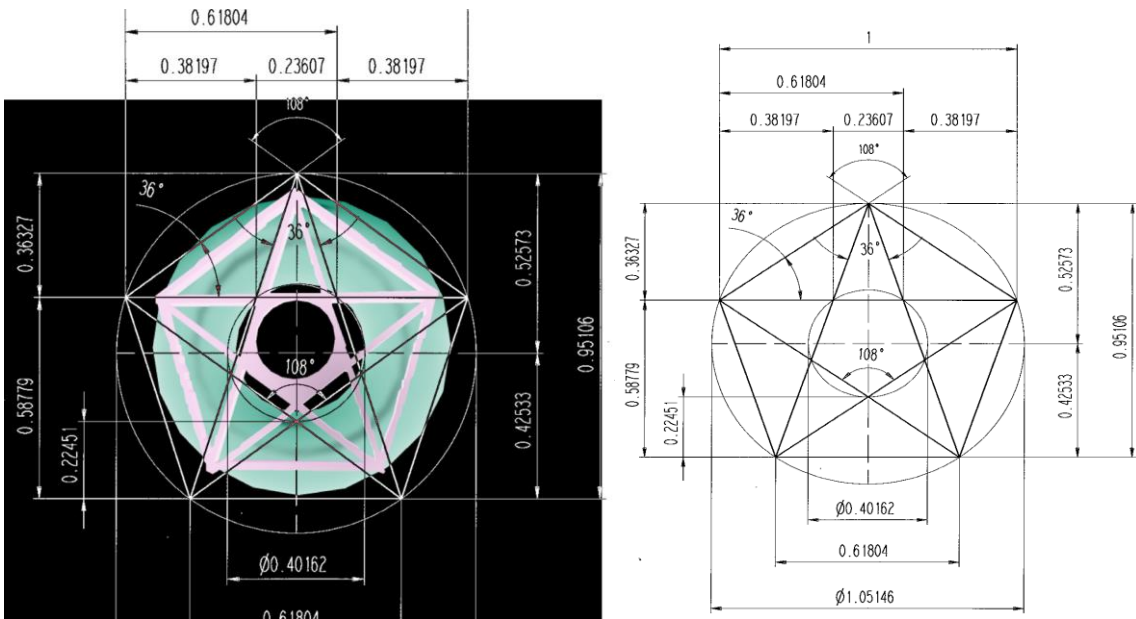
En el símbolo original (arriba a la izquierda) el número 108 es dibujado duplicando los signos, casi justificando su comportamiento dual dentro del toroide que estamos proyectando.

Dimensionamiento del dispositivo.

Este dispositivo, en nuestra opinión, puede tener todas las dimensiones que se quiera, pero, para obtener un resultado seguramente mejor, el Mito nos sugiere construir el toroide con proporciones oportunas. En otras palabras, este dispositivo, en la realidad virtual, representa la construcción de un mini-universo de bolsillo y dado que el universo es un fractal, debemos construir un pedazo de universo utilizando las mismas medidas evidencónicas basadas en la constante de estructura fina, en Pi griego y en la Sección áurea. Como se muestra en la última figura, se ha decidido utilizar una geometría pentagonal porque esta estructura es la que tiene en cuenta los números que regulan la Sección áurea.



El pentágono parece una estructura definitivamente ligada, en todas sus formas, a la Sección áurea y el resultado de esta investigación nos incitaba a crear un toroide que tuviera dimensiones relacionadas con los múltiplos de la estructura representada en la próxima imagen.



Se hace notar el valor de la relación angular

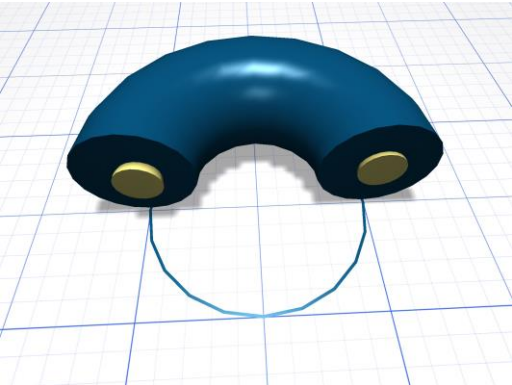
$$\text{sen}(108) / \text{sen}(36) = \phi$$

El toroide con dimensiones similares o múltiple de esto, prevé que la unidad de partida (la más pequeña posible) se distinga por el hecho de que el pentágono unido al toroide tenga como lado, el inverso de la Sección áurea.

Además, la longitud total del toroide vale 1.05146 que copia la media entre las relaciones vistas anteriormente para las frecuencias de ánima, mente y espíritu:

$f_m/f_s = 1.049519$
 $f_s/f_a = 1.056098$
 $(1.049519 + 1.056098)/2 = 1.0528085$

El modelo de base del toroide prevé que ese tenga una longitud, en sección circular, de 0.324 unidades. Multiplicando todas las medidas por 1000 obtenemos los siguientes resultados vistos en sección:



- Diámetro externo 1051.46 [teórico 1053]
- Diámetro interno 402.12 [teórico 405]
- Diámetro círculo negro 726.79 [teórico 729]
- Diámetro torus externo 324.67 [teórico 324]
- Diámetro torus interno 162.33 [teórico 162]

En estas medidas (valores teóricos) se pueden notar algunos interesantes detalles:

- el diámetro interno corresponde al valor de 250x1.62.
- el diámetro del círculo negro (distancia en sección entre los dos centros de las secciones circulares del torus) tiende a asumir valores de 9ⁿ con n= 3.

- las proporciones de este torus respetan, multiplicadas por un factor 10^3 , las proporciones áureas.

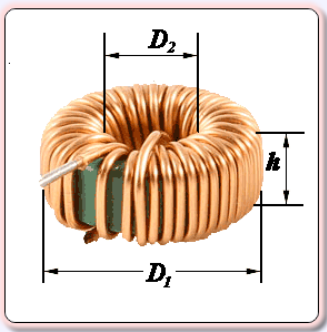
En la estructuración del dispositivo, se debe tener presente que las fibras ópticas deben poseer una capacidad de devanado suficiente.

Esto prevé que el torus no pueda ser muy reducido en dimensiones porque las fibras ópticas, al torcerse, se romperían. En este punto, se destacan todavía dos cosas fundamentales. La primera es que el costo de un dispositivo de ese tipo no supera los cien euros.

El segundo aspecto está ligado al hecho de que este dispositivo es construido sobre principios físicos incontestables y ya publicados en trabajos científicos de los últimos años. Por lo tanto, no es posible contestar sobre su funcionamiento. En cambio, lo que todavía no se puede saber está relacionado con el grado de precisión, necesario para construir tal objeto y, qué tan deseado es el efecto, será virtualmente grande, y, sólo una experimentación oportuna lo podrá aclarar.

Por ende, no se discute ni el principio en el que se basa este objeto, ni el hecho de que ese no produce ZPE, sino más bien se puede discutir sobre qué tan grande puede ser este ZPE proyectado en el plano espacio-temporal.

Con respecto al fácil dimensionamiento de las agujas del conductor que envolverá el cuerpo central del toroide, cada uno puede calcularlas por sí solo utilizando banales softwares ya disponibles en la red. (<http://coil32.net/online-calculators/ferrite-torroid-calculator.html#null>).



ENTER THE INPUT DATA:

Select units: AWG → SWG →

$L =$ – Required inductance

$D_1 =$ – Outer diameter of ring

$D_2 =$ – Inner diameter of ring

$h =$ – Height of ring

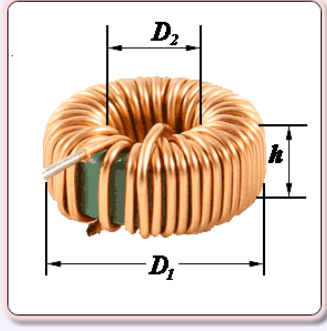
$\mu =$ – Relative magnetic permeability

$d =$ – Diameter of wire

RESULT:

$N =$ – Number of turns

$Lw =$ – Required length of wire



ENTER THE INPUT DATA:

Select units: AWG → SWG →

$L =$ – Required inductance

$D_1 =$ – Outer diameter of ring

$D_2 =$ – Inner diameter of ring

$h =$ – Height of ring

$\mu =$ – Relative magnetic permeability

$d =$ – Diameter of wire

RESULT:

$N =$ – Number of turns

$Lw =$ – Required length of wire

El ejemplo de cálculo presentado aquí arriba es sólo indicativo y puede ser modificado, por ejemplo, empleando valores teóricos, sin embargo, siempre teniendo en cuenta que el campo magnético debe ser idéntico para los dos devanados concéntricos. La dirección de los vectores del campo electromagnético se obtiene polarizando la entrada de la corriente eléctrica oportunamente en las agujas.

Evidencias ufológicas relacionadas con el funcionamiento del ZPE.

Según nosotros, por otro lado, ya existen algunas fuertes evidencias a los ojos de todos, ligadas a fenómenos físicos que pueden ser explicados con estas hipótesis de trabajo.

En este contexto, la primera observación que se hará está relacionada con el funcionamiento de los objetos voladores no identificados.

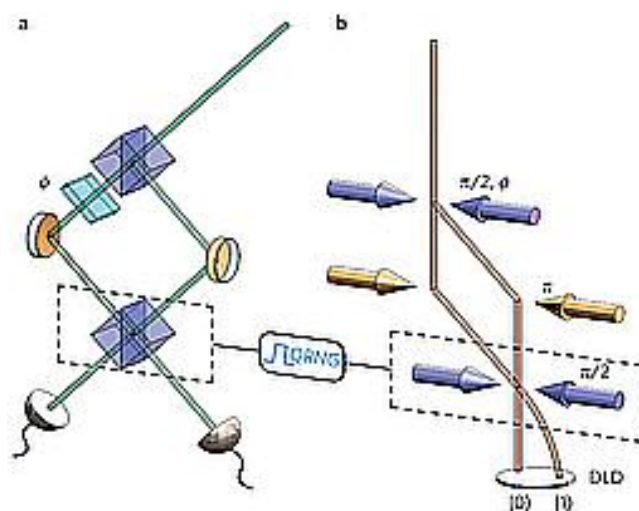
La forma de tales objetos, el hecho de que sean vistos moverse sin hacer fricción con el fluido que los rodea (sea aire o agua), junto al hecho de que se mueven sólo en línea recta (actualmente no existe un video que muestre un ovni que siga una trayectoria circular) y todavía teniendo presente los estudios reportados arriba, que muestran estructuras toroidales en presencia de tales evidencias, nos hace pensar que el ovni, así vulgarmente apelado, construye un ZPE en su centro.

Ese ZPE puede ser fácilmente manipulado.

Por ejemplo, el ZPE puede ser "movido" en el plano espacio-temporal respecto al punto donde ese se forma.

Un interesante ejemplo ha sido, en nuestra opinión, inconscientemente obtenido por esos autores, <https://actualidad.rt.com/ciencias/176533-experimento-demostrar-realidad-existemirar-medir>), (<https://www.nature.com/nphys/journal/v11/n7/pdf/nphys3343.pdf>).

En este experimento un solo átomo de Boro ha sido golpeado por dos rayos láser que se entrecruzan en el punto preciso de existencia de este átomo. Una serie de espejos luego hacía rebotar los dos rayos láser que construían una red con diferentes puntos de cruce.



Después los investigadores verificaban dónde terminaba el átomo de Boro y lo encontraban siempre en el punto de cruce donde esos observaban. En otras palabras, el átomo de boro estaba donde se le buscaba. De acuerdo a un experimento más antiguo realizado por Wheeler, se explicaba, hasta ahora, el fenómeno postulando que somos nosotros los que creamos el evento y, por lo tanto, somos nosotros los que elegimos, como creadores de un universo virtual, donde encontrar la realidad. Sin embargo, lo que ocurre realmente es lo siguiente:

Todos los puntos en los que se encuentran los dos rayos láser tienen la misma característica de campo electromagnético. Por lo tanto, en la virtualidad son representaciones del mismo punto con coordenadas espacio-temporales y energéticas idénticas, es decir, el mismo campo eléctrico, magnético y gravitacional. Entonces, los puntos en los que ocurre el fenómeno de cruce de los dos rayos láser son en realidad la manifestación en lo virtual de más localidad, pero realmente son el mismo punto en el universo no local.

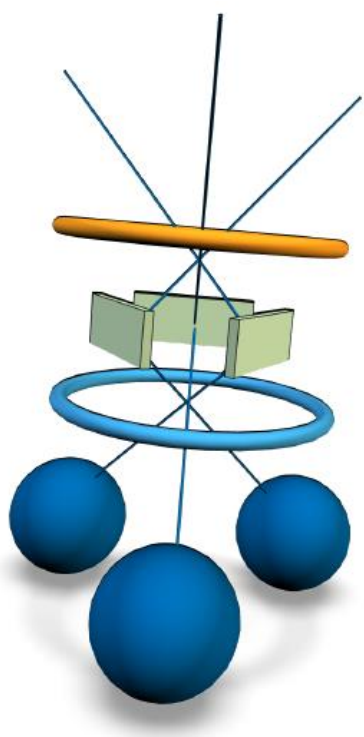
En otras palabras, el átomo de boro no se movería de ninguna parte si no que coexistiría en todos los puntos, donde cada uno de ellos tiene una consistente probabilidad de que la onda cuántica del átomo de boro exista. En el instante en el que observo el fenómeno, el conjunto de onda se destruye y el fenómeno del átomo de boro toma forma donde se le mira, es decir, donde nosotros interactuamos con ese en el espacio-tiempo. En ese instante toda la probabilidad de encontrar el átomo de boro migra a ese único punto y ese se muestra a los investigadores.

Podríamos decir en la virtualidad que el átomo de boro ha sido alejado del rayo láser.

Si es así entonces podemos construir un ZPE con nuestro dispositivo y luego moverlo con algunos rayos láser, del mismo modo como ha sido realizado ese experimento.

El ejemplo práctico está justamente en el probable movimiento del ovni, así como hoy lo conocemos.

A continuación, graficamos el sistema de propulsión del ovni basado en nuestro ZPE.



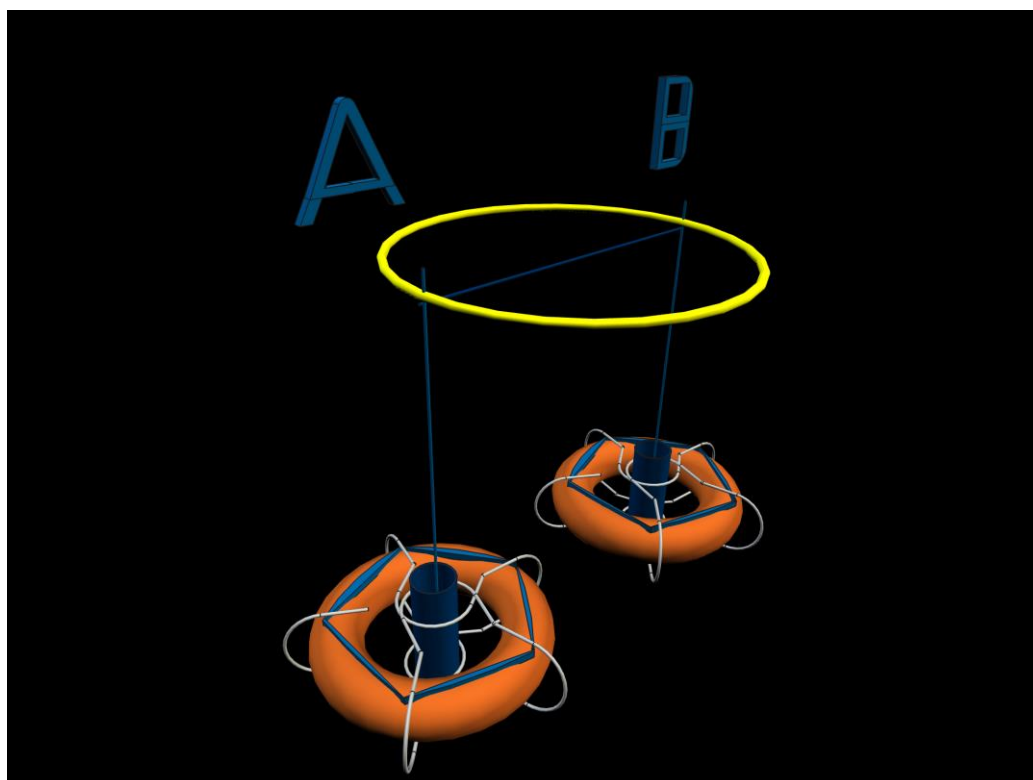
Admitamos que nuestro objeto volador no identificado se puede esquematizar con el toroide con el lado de color cian y que ese sea capaz de construir en su interior, en el centro de este toroide, un ZPE. Ese puede ser dirigido por tres rayos láser derivados de tres fuentes, estilizadas como las tres esferas puestas abajo. Los tres rayos láser golpean el ZPE, los rayos terminan interactuando con los tres espejos que vierten la imagen del ZPE en un punto más alto donde se crea la segunda posibilidad de existencia del ZPE.

Cualquier interacción del guía con el segundo cruce arriba caracteriza la creación de la información ligada al toroide que ha creado el ZPE, que se concretiza al aparecer más arriba (toroide claro). Una oportuna orientación de los tres espejos producirá el movimiento del ovni con trayectorias rigurosamente lineales. El objeto que ha creado el ZPE y que permanece conectado "informativamente" a ese (en realidad el objeto no se mueve sino

que coexiste como información en más lugares como onda, hasta el momento en que la forma de la onda de potencial que lo caracteriza se concretiza virtualmente en un lugar de puntos virtual: N.d.A) no viaja en el espacio y en el tiempo sino que desaparece de una parte para aparecer en otra, sin ser afectado por fuerzas de fricción del fluido que lo rodea. Todo eso también explicaría las extrañas formas toroidales fotografiadas junto a los ovnis (ver arriba), como imágenes de los campos que generan el objeto que se mueve.

Evidencias de campo morfogenético relacionadas con la formación de ZPE.

Un interesante efecto que se puede obtener duplicando un ZPE sería poder transportar información pasando prácticamente a través del único punto que existe en el universo, es decir, el ZPE mismo. Cuando dos dispositivos fuesen construidos para crear un ZPE, debemos recordar que esos abrirían una puerta en el mismo lugar de puntos que realmente existe. Los dos dispositivos accederían al único punto existente en el universo, e incluso si ese nos parece ubicado en dos puntos diferentes en la virtualidad, ese contendría siempre la misma información que sería accesible, sin embargo, mediante los dos dispositivos al mismo tiempo.



Los dos centros de los dos dispositivos estarían conectados por un recorrido espacio-temporal toroidal que los uniría virtualmente. Por lo tanto, el punto A y el punto B estarían caracterizados por la misma forma de onda de potencial, es decir, serían la misma información, es decir, se nos mostrarían como la misma cosa.

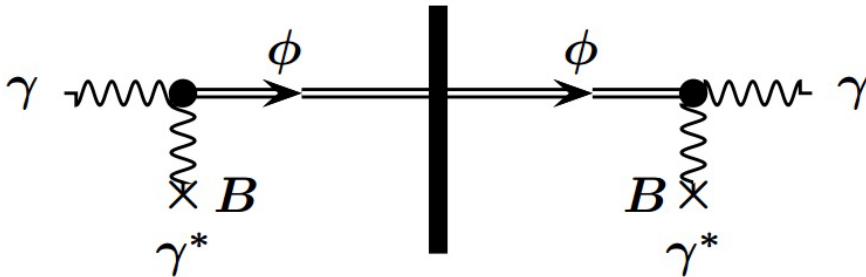
(<http://www.oxfordscholarship.com/view/10.1093/0199278245.001.0001/acprof-9780199278244>).

Cualquier información puesta al centro del primer toroide también estaría al mismo tiempo en el centro del segundo. En este punto basta desactivar el primer toroide para que toda la onda de probabilidad se concentre en el segundo punto. Esperamos que un grano de sal puesto en el primer toroide desaparezca para que reaparezca en el segundo toroide.

Otro aspecto de la cuestión ufológica está ligado a la presunta invisibilidad de los objetos voladores no identificados de origen alienígena. Los testigos oculares, a menudo relataban testimonios de los que se podía evidenciar que, si se observaba el ovni de abajo hacia arriba perpendicularmente, ese era visible, pero cuando se observaba el ovni de lado, ese desaparecía. Este aspecto particular jamás ha sido analizado en profundidad y ni siquiera se ha destacado en las crónicas reportadas en la literatura, pero cuando nos interesábamos por el problema ufológico y recogíamos los testimonios oculares, a menudo se nos hacía notar este detalle.

Para nosotros, la explicación podría ser investigada en el hecho de que, al interior del ovni, funciona un ZPE construido con un toroide similar al nuestro.

¿Qué ocurre cuando un fotón atraviesa un cable eléctrico que lleva corriente?



En la imagen anterior se puede notar que un fotón que interactúa con un fuerte campo magnético, (un cable conductor donde pasa corriente eléctrica), desaparece. El volverse invisible es puesto en evidencia porque este "fotón invisible" es capaz de pasar a través de una pared. Después de pasar por la pared, el "fotón invisible" interactúa, por segunda vez, con otro conductor idéntico al primero y se vuelve visible.

Los físicos, en un intento desgarrado por explicarse el extraño comportamiento del fotón se inventaron una nueva partícula llamada Axión. Según los físicos, esa se habría formado de la conversión del fotón en axión por la interacción reversible con el campo magnético del cable eléctrico. (<https://es.wikipedia.org/wiki/Axión>)

El axión tomaba este molesto nombre de un conocido detergente americano capaz de "pulir" la realidad virtual incluso de los fotones (¡señor! N.d.A).



Después de algunos intentos desesperados por promover la idea de que existiera esta nueva entidad subatómica, finalmente en la actualidad se llegó a comprender su inexistencia.

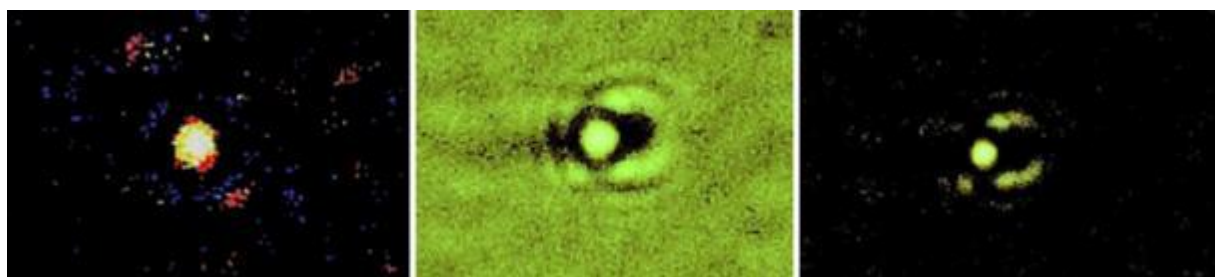
<https://briankoberlein.com/2016/04/26/dark-matter-still-not-axions/>.

Recordemos que la invisibilidad del ovni está ligada a un efecto fotónico y no a otras fuentes de energía.

Por ejemplo, el ovni invisible ópticamente puede ser evidenciado por el telescopio Santilli, que según nosotros, (<http://www.santilli-foundation.org/docs/telescopio-santilliano.pdf>) no evidenciaría la antimateria, como sostiene erróneamente su creador sino que evidenciaría en el infrarrojo, sólo las emisiones de cuerpos calientes.

En una de las tantas imágenes puestas a disposición por Santilli se puede notar que el ovni no perceptible en el espectro de lo visible muestra su verdadera esencia en el infrarrojo, siempre mostrando su subestructura toroidal.

<http://mistero.me/scienza/astronomia/telescopio-santilli-osserva-entit-terrestri-invisibili/>.



Lo que ocurriría es que nuestro fotón pasaría a través del toroide como se muestra en las imágenes sucesivas, lo que demostraría dos cosas.

La primera es que dentro del ovni se confirmaría la presencia de un toroide para la creación de un ZPE y la segunda es que la desaparición de los fotones y la reaparición por el lado opuesto del toroide no se debería a la interacción axiónica sino a la presencia misma del ZPE. El ZPE tiene la característica de parecer más o menos largo en la realidad virtual que es no local, según la intensidad del campo electromagnético gravitacional. En efecto, el ZPE nunca cambia de dimensiones, teniendo siempre las dimensiones de Planck, pero nos parece más o menos difuso, así, a menudo englobando el mismo ovni que desaparece de la vista de los testigos porque es engullido por ese. O en algunos casos el sujeto testigo percibe el ovni con dimensiones variables de acuerdo al instante en el que se observe o cuando se ingresa. Desde afuera parece pequeño, pero por dentro es grande (N.d.A). El fotón sería absorbido por el ZPE y por razones termodinámicas es reemitido con la conservación del espín por la parte opuesta.

En algunos videos es posible evidenciar la expansión del ZPE como una esfera luminosa.

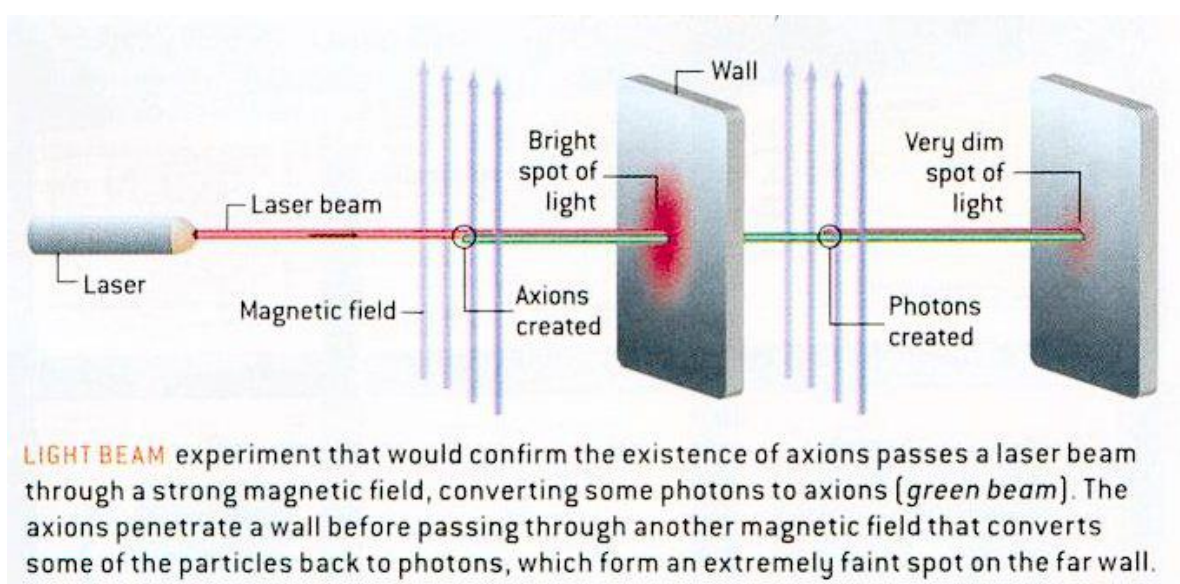


<https://www.youtube.com/watch?v=Ja5Q1k6Yimg>.

En el caso del cable eléctrico golpeado por un fotón en un punto preciso, se crearían en ese punto las mismas coordenadas espacio-tiempo-energéticas que se suscitarían en el punto de emisión del fotón.



Los dos puntos tendrían las mismas características volviéndose idénticos y, por lo tanto, serían el mismo punto: no un verdadero ZPE sino un XPE, es decir, un punto en el que, de todas maneras, existe un valor no nulo de los tres componentes, pero los tres valores de los tres componentes serían idénticos en el punto de desaparición y aparición del fotón.



Si los axiones existieran, el esquema anterior identificaría su comportamiento. Es un pecado que esos no existan, según los investigadores que han demostrado su inexistencia.

Otras confirmaciones de la hipótesis del ZPE.

Aunque todo eso pueda parecer ciencia-ficción en una primera revisión, se debe notar que la realidad virtual ya pone en acción procesos que, según nosotros, siguen justamente este mecanismo. Ya enfatizamos anteriormente que el traspaso de información fluye de un cerebro a otro y vimos que nuestro cerebro es capaz de crear, en nuestra opinión, un ZPE. Este sería el primer y verdadero modo de afirmar la existencia del campo morfogenético de Sheldrake y de Laszlo, porque hasta ahora ese había sido hipotetizado en bases filosóficas y definitivamente poco matemáticas. Así se explicaría la famosa teoría "del centésimo mono" que sostiene, por ejemplo, que, si algún ser vivo, en cualquier parte del universo, adquiere conciencia de algo, potencialmente todos aquellos que se conectan con su mente, serían capaces de compartir esa toma de conciencia. Los antiguos llamaban Akasha al campo morfogenético, pero ahora hemos recuperado su verdadero significado virtual.

Esta sería la verdadera experiencia que Luc Montagnier realiza al transferir información desde una probeta con material genético organizado a otra probeta con material genético no informado, obteniendo su informatización.

Así funcionarían los experimentos del doctor Massimo Citro, que trata de usar campos electromagnéticos informados y esta sería finalmente la hipótesis de que exista una verdadera memoria del agua, a pesar de que durante todos estos años faltara una teoría o un enfoque que hiciera comprender su realidad (ver Torus: aspectos toroidales del universo virtual, del mismo autor).

Pero veamos esto en detalle.

El hecho de que, si sumerjo un cilindro en agua y luego lo retiro, esto hace pensar que, de algún modo, la información permanece dentro de las moléculas que son puestas en contacto con la superficie del cilindro, básicamente podría ser correcta. En el fondo, la información es una impresión que un objeto provoca en lugares de puntos del espacio-tiempo virtual.

Pero hay que tomar dos consideraciones:

A primera vista no se puede copiar una información porque si la información es entropía, esa se duplicaría. Esta es la motivación trivial del porqué cuando haces fotocopias esas siempre salen más feas (menos definidas) que la original.

Este es el motivo de porqué la clonación de la oveja Dolly terminó en un animal decisivamente más débil desde un punto de vista biológico.

Por otro lado, se descubre que cuando se hacen experimentos de laboratorio y se trata de traspasar información de una parte a otra construyendo una copia, por ejemplo, construyendo un holograma, como sostenía el profesor Emilio Del Giudice, ¡el láser se enfría!

El enfriamiento inesperado del láser produce la idea de que la información no ha sido creada y la entropía del sistema sigue siendo la misma.

La segunda observación prevé pensar que, dado que el agua es una molécula muy móvil y es fácil de separar y unir, con enlaces con puentes de hidrógeno, tantas moléculas entre sí, la energía necesaria para destruir un eventual clúster de moléculas que mantuviesen la memoria del objeto introducido en la solución acuosa, sería mínima.

Todo eso nos hace pensar que, incluso si desde un punto de vista teórico, la memoria del agua pudiera existir, esa sería de hecho inexistente.

(<https://link.springer.com/article/10.1134/S0030400X15100057>).

En realidad, las cosas son así sólo a primera vista. (http://www1.lsbu.ac.uk/water/water_models.html)

Los trabajos publicados, en cambio, parecen hacer creer lo contrario.

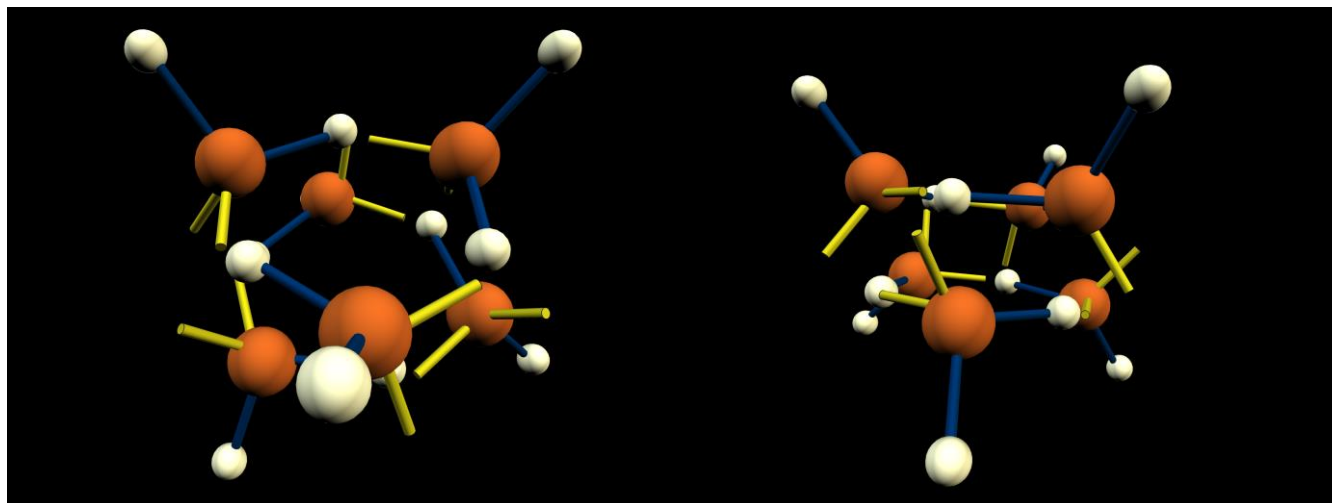
Si es cierto que las moléculas de agua tienen una energía baja que no puede bloquearlas entre sí en conformaciones rígidas, pero esto sólo porque eliminar una molécula de agua en un litro de agua, mientras otra molécula se conecta al conjunto de moléculas, parece energéticamente poco importante.

Pero desconectar dos moléculas de agua aisladas entre sí mientras crean dos enlaces con puente de hidrógeno, cuesta una pila de kilocalorías.

Es decir, si se examina el conjunto de moléculas de agua, desde un punto de vista energético, parece fácil sacar una sin mucho esfuerzo, pero sólo porque la energía del sistema está distribuida en muchas moléculas en solución.

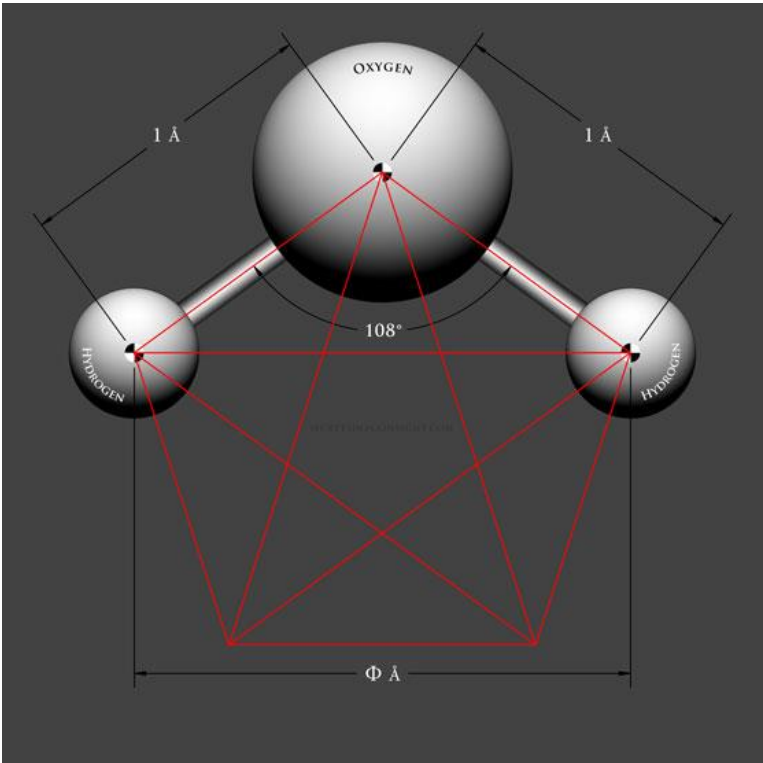
Por lo tanto, existen cálculos teóricos que muestran como algunas estructuras llamadas clúster de agua pueden existir con energías notables.

En particular, podemos diseñar clúster también formados por pocos elementos, para darnos cuenta de algunas interesantes propiedades geométricas de estas moléculas que, casualmente, son la base de la vida en todo el cosmos.



Aquí vemos seis moléculas de agua que acoplándose entre sí producen, con enlaces con puente de hidrógeno, un doble toroide sobre dos planos paralelos, imitando el doble triángulo

de los colores del Evideon construyendo un infierno en el medio del que sería posible postular la creación de ZPE. No se debe excluir que tales estructuras sustancialmente estables estén a la base del fenómeno de transferencia de información en solventes acuosos, a la base del fenómeno de la hiperdilución dinamizada a través de una serie de choques, de manera que se transfiera mecánicamente la información (impresión) a altas estructuras rígidas que copiarían su entropía (tomando la energía de la mecánica de los choques: N.d.A). Una de las estructuras tomadas en consideración por el químico físico, considera cinco moléculas de agua conectadas entre sí para formar un pentágono que entre los cuatro y los cero grados centígrados, asumiría un ángulo interno de 108 grados. De hecho, pocos saben que el ángulo que los dos átomos de hidrógeno forman con el oxígeno en el medio, es de 104.5 grados a temperatura ambiente, pero a cero grados se transforma en un ángulo evidéonico de 108 grados.



El universo es un fractal virtual.

El universo es un fractal virtual y todo esto se ve si se le da crédito a los números que resultan del análisis del modelo evidéonico.

En el primer artículo de la serie (Evideon, del mismo autor) pusimos en evidencia la relación existente entre la constante de estructura fina del universo y el valor de π.

Al final de nuestro recorrido sabemos perfectamente porqué $2\pi R = 137.0356$ pero sabemos comprender por qué, por ejemplo, si quisiéramos calcular la frecuencia de rotación del fotón/antifotón sobre sí mismo debemos establecer los siguientes cálculos:

$$2\pi R = 137.0356$$

$$2R/(29)^{1/2} = 5\phi$$

donde la raíz cuadrada de 29 representa el tiempo de Planck y 2R es la amplitud de la oscilación. También en este caso, la relación entre un espacio y un tiempo está representado perfectamente por un múltiplo de la Sección áurea, y eso, en este punto, ya no puede ser interpretado como un caso numérico.

Otra, entre las infinitas observaciones que podemos realizar, está ligada a la observación que hace un tal Hans Cousto, músico y matemático, en 1978.

http://www.planetware.de/ottava_cosmica/index.html.

Él creía poder relacionar las frecuencias de los planetas con las notas musicales a nivel de valores de frecuencias, así calculó, a su modo, las frecuencias de la Tierra y de los demás planetas en base a un simple algoritmo.

Por ejemplo, para calcular la frecuencia de la Tierra en referencia a un año, él multiplico el número de segundos en un día, 86.400 (notar el múltiplo de 432: N.d.A), por 365 días.

El inverso de este número multiplicado 32 veces por 2 es:

$$86400 \times 365 = 31536000$$

$$1/31536000 = 3.170979 \times 10^{-8}$$

$$3.170979 \times 10^{-8} \times 232 = 136.19$$

Según el autor, este número tendría que estar relacionado con el Do# en la escala musical temperada que, en cambio, cae a 136.05 Hz (ver tabla anterior).

Pero el mismo autor, en su obra original, afirma que Hz en más o en menos (http://www.planetware.de/octave/The_CoOc_Tuning.pdf), la diferencia está, de todas maneras, en el error experimental.

Desafortunadamente, esto no tiene ningún sentido físico porque si fuese cierto, la Tierra, como los demás planetas, tendrían frecuencias variables en el tiempo y eso no tiene sentido físico.

En cambio, se puede establecer una cuenta levemente diferente pero significativa.

Primero que todo, se utiliza la hora sideral y no la hora solar, es decir, la cantidad de tiempo que pasa entre el ver una estrella cualquiera y volver a verla en la misma posición al día siguiente. Se descubre que el día no dura 24 horas sino menos. Se multiplican el número de segundos en un día por 360 grados de rotación (la rotación de la Tierra en un día) y se descubre de inmediato que este número tiene una raíz cúbica que es exactamente el valor de 100π

$$[23.92459620_h \times 60_{sec} \times 60_{min} \times 360]^{1/3} = [86128.54 \times 360]^{1/3} = 100\pi$$

Pero se descubre que:

$$2^{32}/[100\pi]^3 = 138.52 \text{ Hz}$$

cuya mitad vale 69.26, es decir, el valor que calculamos cuya frecuencia se usa para acordar la parte anímica, la mental y la espiritual que nuestro cerebro alberga (ver arriba), con óptimo acuerdo.

Así se descubre que en nuestro calculo, la aproximación en el día sideral que resulta de 23.93 (6) contra nuestros 23.924596..., está relacionada con una aproximación astronómica, siendo el valor conocido, un valor en realidad medio. Después de eso se comprende que no existe ninguna previsión que nos hiciese pensar que el valor de Pi griego, calculado con nuestro enfoque, partiendo del valor de la frecuencia de 69.11 calculada anteriormente por nosotros, fuese preciso al más del 99.999%.

¿Qué significado puede tener este cálculo?

Los números y las fórmulas deben ser interpretados racionalmente, de lo contrario, se pueden tener algoritmos que describen un universo que no se entiende para nada. En realidad, multiplicar por 360 grados un tiempo significa que ese, a nivel de plano espacio-tiempo, se expande en todas las direcciones en el holograma virtual; pero sacar la raíz cúbica significa considerar esta medida como un vector espacio-temporal construido por tres vectores a lo largo de los tres ejes X, Y, Z del holograma espacio-temporal donde, la raíz cúbica, asume el significado de tensor, producto vectorial de los tres tensores originarios a lo largo de los tres ejes (un volumen del universo con forma cubica: N.d.A).

Otra visión interpretativa, que tiende a facilitar la comprensión de estos números, es dada por la idea de que el universo es una hiperesfera de 6 dimensiones (los seis semiejes del Evi-deon).

El volumen de una esfera hexadimensional y de radio R unitario vale 5.1677128.

Escribir las fórmulas que evidenciamos equivale a escribir una fórmula del volumen de la hiperesfera como sigue:

$$[1/6]\pi^3 = (1/6) \times (86128.54 \times 360) / 100^3 = 5.1677124$$

contra el valor teórico de 5.16771218.

<https://it.wikipedia.org/wiki/lpersfera>.

Es evidente que la perfecta sobreposición entre estos datos indica que se puede recalcular nuevamente el valor exacto de π , o que, de todas maneras, estas fórmulas posean un significado que va más allá de la formula misma.

Todo eso ocurre numéricamente porque dentro del número que representa el número de segundos que hay en un día está contenida la información de π como se puede ver en esta ecuación:

$$\pi^3 / \cotg(2\pi 10^{-x}) = 86128.5463$$

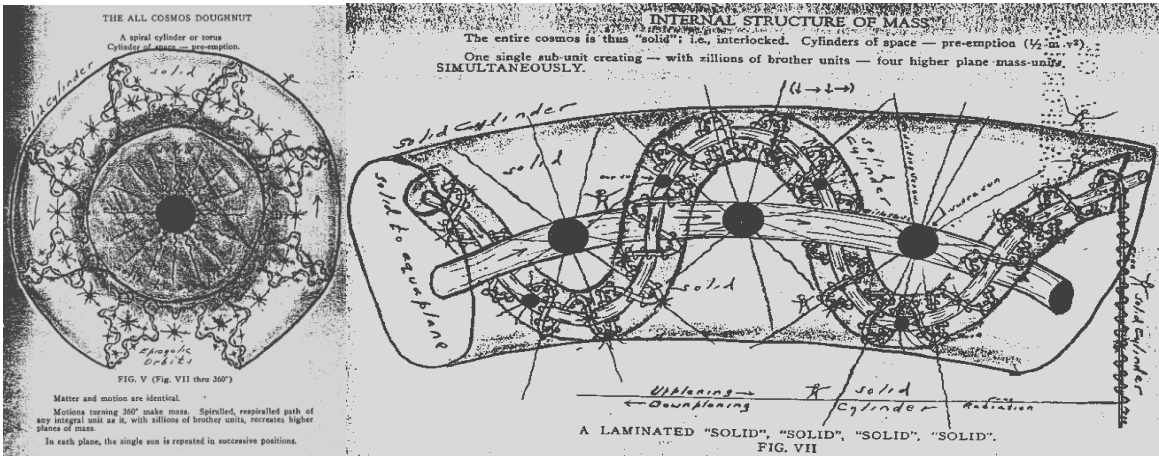
con valores de x tendiendo al infinito, pero en nuestro caso específico, igual a 6.

Pero si por un lado este resultado era totalmente inesperado, así como era inesperada la constatación de que nuestra Tierra vibra exactamente a la frecuencia de resonancia de la Tríada, todo eso podía tener una simple explicación.

El universo es un holograma y los mismos números evideónicos están a la raíz de la descripción de la partícula en la caja y de todo el universo. No por casualidad, por ejemplo, la velocidad de toda la galaxia es estimada en unos 3.600.000 Km/h.

http://www.splash.it/curiosando/velocita_della_terra.htm.

La estructura del universo parece evidenciarse con geometrías toroidales que usan hiperesferas, (<https://arxiv.org/abs/1010.5740>), o como se evidencia también del mito y de viejos tratados filosóficos, en los cuales quien escribía, probablemente también había, con sus prerrequisitos, visto más allá.



<http://harmoniouspalette.com/AssortedInsightsRegardingNature.html> (George F. Gillette "Ortho Oxen of Science ~ Synoptic conspectus of author's Unitary Theory". 1936 Blackstone Publishers).

Conclusiones.

Al escribir este trabajo nos dimos cuenta de la necesidad de delinear algunos puntos que, si los hubiéramos tratado en el texto, lo habría hecho inútilmente agotador.

Los puntos son los siguientes:

- Construir un dispositivo que emule un ZPE pierde significado en el instante en que se comprende que nuestro cerebro, mediante la Tríada, es capaz de hacerlo por sí solo.
- Detrás de los intereses del desarrollo de la energía libre hay fuerzas masónico-alienígenas que ocultan bien otros objetivos que no son el salvar a la humanidad.
- El universo es un holograma fractálico sin ninguna duda o, de todos modos, puede ser matemáticamente bien descrito por este tipo de enfoque.

Con respecto al primer punto, se destaca que seguramente será útil construir de manera manual el dispositivo que emula el ZPE, pero sólo para tomar conciencia de ese y comprender que por dentro somos aquello que construimos por fuera, especialmente para los aspectos todavía no comprendidos por nuestra interioridad.

Se enfatiza que nuestro ZPE cerebral es capaz de pilotar el ZPE que construimos en forma de dispositivo.

Y en este sentido Pelizza se expresa claramente sobre este punto haciendo entender que es su mente la que tiene las claves para el funcionamiento del dispositivo. Pelizza probablemente no tiene conciencia de que el alienígena que lo pilota para otros objetivos utiliza la conciencia del abducido para sus tortuosos fines y el abducido de turno no entiende que él mismo es quien produce los fenómenos que, mediante una máquina externa, su conciencia manipula, al menos esta ha sido nuestra impresión.

Quien es conciencia integrada puede manipular el ZPE en *remote*, sea ese construido con un dispositivo virtual o utilizando sólo la propia adquisición de conciencia interior. Quien no posee la conciencia integrada, para hacer funcionar el dispositivo necesita de alguien que lo haga en su lugar, de modo más o menos consciente.

Desde este punto de vista, el dispositivo propuesto por nosotros funcionaría como el espejo de la bruja en la fábula de la bruja mala. De hecho, nosotros creamos como espejo la realidad que somos. La bruja se ve a sí misma en el espejo, así como Blancanieves. Blancanieves cree que es un personaje positivo, puro e ingenuo y así se nos muestra (porque nosotros lo creemos). La bruja cree que es malvada y ella misma se manifiesta así. El dispositivo en las manos de una persona consciente dará efectos que serán el espejo de su adquisición de conciencia.

Entonces podríamos preguntarnos si el ZPE es peligroso si es puesto en las manos de personajes inconscientes.

La respuesta es únicamente ¡NO! Porque si por un lado es cierto que un inoportuno uso del ZPE podría ser el punto de partida para la construcción de armas para hacer guerras, podría ser la construcción del portal que le permite a los alienígenas sin cuerpo venir a nuestra dimensión, modificando su antimateria en materia, podría ser un medio para modificar la materia y, como en el mito, transformar el plomo en oro.

Pero todo eso disminuiría inevitable y drásticamente la entropía del sistema y siendo que eso, en un contexto espacio-temporal global no puede ocurrir, al final, quien hiciera un uso impropio del ZPE terminaría por acelerar el proceso de toma de conciencia de la raza humana.

Este aspecto es históricamente verificable.

Por ejemplo, internet nace para fines militares, luego se permite su uso gratuito sólo para poder espiar lo que los humanos se dicen entre sí pero inevitablemente se vuelve fuente de intercambio de información a velocidades antes impensables.

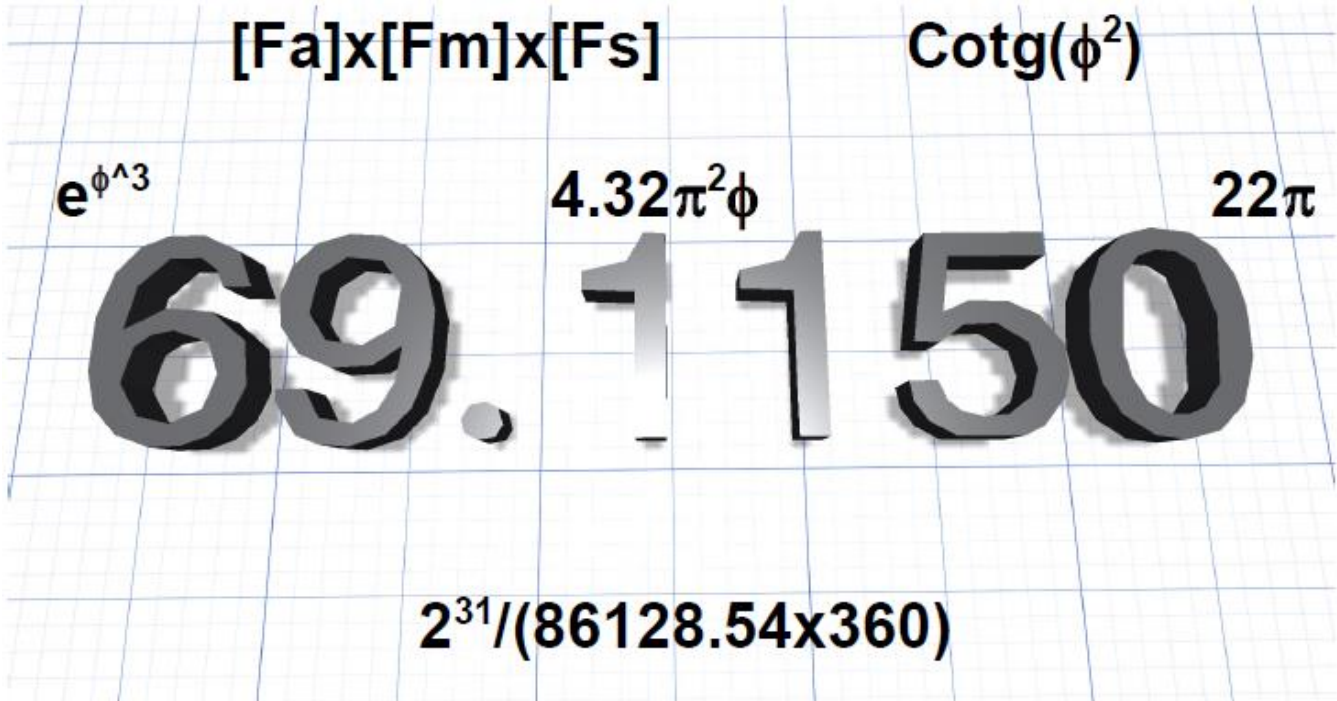
Las guerras sirven para los intereses de pocos, pero inevitablemente producen fuertes burbujas de conciencia y de reflexión que habrían sido alcanzadas sólo cientos de años después si tales eventos nefastos no hubieran ocurrido realmente.

Cuanto más fuerte se vuelve el poder, más gente comprende y se rebela. Cuanta más ignorancia se nos presenta como modelo de vida, por la Iglesia y por la Política, más cosas ocurren por las cuales los seres humanos toman caminos alternativos que siempre producen un aumento de la entropía.

Cuanto más poder trate de mantener el gobernante, más rápido y de manera inexorable lo perderá.

Por lo tanto, dejamos que cualquiera use el ZPE porque ese como otras cosas, no son más que instrumentos mediante los cuales se construye la propia experiencia, que siempre tiende a llegar al valor máximo de conciencia o, como alternativa, se obtendrá la desaparición de quien se obstina a creer lo contrario.

En el instante en que se tiene plena toma de conciencia del holograma, se comprende también que Nosotros somos la Conciencia integrada y, en ese instante, ya no tiene sentido hablar.



Bibliografía en profundidad

Estructura fractálica del Universo

- M. Eingorn, A. Zhuk, Kaluza-Klein models: can we construct a viable example?, arXiv: 1010.5740v2 [gr-qc], 7 Dec 2010.
- L. Nottale, Scale relativity and fractal space-time: theory and applications arXiv:0812.3857v1 [physics.gen-ph]
- A. T. Patrascu, Entanglement, spacetime and Mayer-Vietoris theorem, arXiv:1703.09610v1 [physics.gen-ph]
- P. Osmera, Vortex-ring-fractal structure of hydrogen atom, Proceedings of the World Congress on Engineering and computer science, WCECS, 22 Oct., 2009, Vol 1, San Francisco, USA
- M. Kozlowsky, J. Marciak, The mirror universes, arXiv:gr-qc/0505116v1, Cornell University.
- V. P. Oleinik, Informational field and superluminal communication, <https://inspirehep.net/record/620798?ln=it>
- D. F. Roscoe, Gravitation in the fractal D = "inertial universe: New phenomenology in siral discs and a theoretical basis for MOND, arXiv:astro-ph/0306228v1, 11jul 2003

Estructura del agua

- M. V. Arkhinov, Y. M. Artem'ev, S. E. Belov, On observation of so called "Water Rhythms", by absorption spectroscopy methods, Condensed-matter spectroscopy, 638, 119, 2015
- http://www1.lsbu.ac.uk/water/clusters_overview.html

Efecto Aharonov Bohm

- G. Sparvieri, M Rodriguez, Photon mass and quantum effects of the Aharonov-Bohm type, Phys. Rev., A75, 052113, 2007.
- H. Batelaan, A. Tonomura, The Aharonov-Bohm effects: Variations on a subtle theme, Physic today, 62, 2009
- A. Kregar, Aharonov Bohm effect, Seminar 4 letnik, Univerza u Liubljani, Marek 2001.

Sonidos y geometría

- C. Callender et al. Generalized voice-leading spaces, Science, 346, 320, 2008
- F van den Bovenkamp, The geometric origin of selective sound perception, <http://www.trigunamedia.com/geosound/index.htm>
- D. Tymoczko, The geometry of musical chords, Science, 72, 313, 2004
- H. Purwins, B. Blankertz, K. Obermayer, Toroidal models in tonal theory and pitchclass analysis Computing in musicology, 73, 15, 2007
- <http://www.marcostefanelli.com/subliminale/mantrasuono.htm>

No localidad y Conciencia

- D. J. Bierman, Consciousness induced restoration of the time-symmetry (CIRTS), a physicophysical theoretical oersoective, http://www.uniamsterdam.nl/D.J.Bierman/PUBS/2008/Bierman%20PA2008_revised.doc
- E. E. Klingman Fundamental physics of consciousness, <http://fqxi.org/community/forum/topic/561>

Resonancia de Shumann

- V. D. Rusov et al., Can resonant oscillations of the Earth ionosphere influence the human brain byorithm?, arXiv:1208.4970v1[physics.gen-ph]23 Aug 2012
- M. F. Ciappina, M. Fabbo, Shumann's resonances: A particular example of a spherical resonant cavity, Am., J., Phys., 72, 5, 2004
- R. A. Miller, I. Miller The Shumann's Resonances, http://www.bibliotecapleyades.net/esp_ondas_shumann_2htm#Implications%20And%20Directions

Naturaleza de los fotones en relación a la teoría evideónica

- Q. Q. Ho, The spin-spin interaction and the new concept of photon, J. Electromag. Anal. And App., 447, 4, 2012
- G. W. Gibbons, C. M. Warnick, Aspherical photons and anti-photon surfaces, Physics Lett., B, 763(C), 2016
- L-C Tu J. Luo, G. T. Gillies, The mass of the Photon, Rep., 77, 68, 2005
- E. Megidish, A. Halevy, T. Shacham, T. Dvir, et al., Entanglement between photons that have never coexisted, Phys., Rev., Letters, 110, 21, 2010
- W. A. Perkins, On the matter_antimatter asymmetry, mod., Phys., Lett., A, 30, 2015
- B. C. Sanctuary, Disentanglement as particles, separate, Proceedings of the Vaxio, Sweden Conference on the foundations of quantum Mechanics, June 2003
- A. Fedrizzi, Entangling photons with mismatched colors, Physiscs, 7, 25, 2014
- A. Mair, A. Vaziri, G. Weihs A. Zeilinger, Entanglement of orbital angular momentum states of photons, Nature, 313, 6, 2001

Zero point energy

- T. Valone, Practical conversion of zero point energy, ISBN 0-9641070-8-2, Integrity Search Institute Ed, 2005
- U. W. Massie, Gravity and Zero Point Energy, Physics Procedia 280, 38, 2012
- <http://www.cogitamus.it/blog/index.php?/archives/173-Gravitomagnetismo-esorprese.html>
- <http://www.free-energy-info.tuks.nl/Italian/Chapter11I2.html>

Las constantes del Universo

- R. L. Oldershaw, The hidden meaning of Planck's constant, Universal. J., Phys., and App., 88, I(2), 2013
- la página di Sheldrake, <http://www.transaction.net/science/seven/constant.html>

Neutrino

- S. Antush, J. P. Baumann, E. Fernandez-Martinez, Non-standard neutrino interactons with matter. From physics beyond the standard model, Nuclear Physics, B,, 369, 10, 2009
- W. A. Perkins, The antiparticles of neutral bosons, J.of Modern Phys., 12, 4, 2013
- S. A. Alavi, T. Ebrahimi, Interaction of MeV and GeV sterile neutrinos with matter, https://www.researchgate.net/publication/48174656_Interactions_of_MeV_and_GeV_sterile_neutrinos_with_matter (20010)
- R. Mignani, E. Recami, How to interpret advanced solutions, Lettere al Nuovo Cimento, 5, 18, 1977
- <http://www.cs.unc.edu/~plaisted/ce/neutrino2.html>

Matemática isodual

- P. M. Phujbal, Santilli's isodual mathematics and physics of antimatter, American journal of modern physics online issn2326-8867
- R. Maria Santilli, Apparent detection via new telescopes with concave lenses of otherwise invisible terrestrial entities (ITE) ISSN 2326-8867 ibidem
- idem, Apparent detection of antimatter galaxies via a refractive telescope with concave lenses, CACAA, 1, 3, 2014
- R. Anderson, A. A. Bhalekar et al., An introduction to Santilli's isodual theory of antimatter and open problem of detecting antimatter asteroids, Numta Bulletin, 1, 6, 2012-13

Además

- Trabajos anteriores del mismo autor a quien el autor mismo hace referencia, pueden ser encontrados en su sitio <http://www.corradomalangaexperience.com> (o el sitio en español: www.corradomalanga.wordpress.com, N.d.A).